



دانشگاه صنعتی شریف  
دانشکده مهندسی کامپیوتر

رساله‌ی دکتری

مهندسی کامپیوتر

عنوان

# الگوریتم‌های کارا برای آزمون دیدپذیری اشیا و شمارش آنها

نگارش  
شراره علیپور

استاد راهنما  
دکتر محمد قدسی

شهریور ۱۳۹۵

بِسْمِ اللَّهِ الرَّحْمَنِ الرَّحِيمِ

## چکیده

محاسبه‌ی دیدپذیری در صفحه به معنای تعیین نقاطی از صفحه است که از یک ناظر واقع در صفحه دیدپذیر هستند. این مسأله کاربردهای فراوانی در گرافیک کامپیوتری، رباتیک و بازی‌های کامپیوتری دارد. در برخی از مسایل مربوط به دیدپذیری، شمارش تعداد اشیا دیدپذیر در زمان مناسب مورد نظر است که برای دسترسی به سرعت پاسخ مناسب، الگوریتم‌های فعلی به صورت تقریبی این شمارش را انجام می‌دهند. در این رساله مسأله‌ی آزمون دیدپذیری اشیا و شمارش تعداد اشیا دیدپذیر بررسی و مطالعه شده‌اند.

مجموعه‌ی  $S = \{s_1, s_2, \dots, s_n\}$  متشکل از  $n$  پاره‌خط دو به دو نامتقاطع و یک نقطه‌ی پرس‌وجوی  $p$  در صفحه داده شده‌اند. در مسأله‌ی دیدپذیری هدف تعیین دیدپذیری  $p$  و یک پاره‌خط  $s_i \in S$  است. در مسأله‌ی شمارش نیز هدف تعیین تعداد پاره‌خط‌های دیدپذیر از  $p$  است. برای حل مسأله‌ی شمارش، دو الگوریتم تقریبی ارائه داده‌ایم. در الگوریتم اول بین حافظه و زمان پرس‌وجو و همچنین بین ضریب تقریب و زمان پرس‌وجو مصالحه ایجاد کرده‌ایم. در الگوریتم دوم روش انتخاب تصادفی به کار گرفته شده‌است. امید ریاضی زمان پرس‌وجو در بعضی حالت‌ها بهتر از الگوریتم اول است. سپس الگوریتمی تصادفی برای بدست آوردن جواب دقیق مسأله‌ی شمارش با حافظه و زمان پرس‌وجوی مشابه [۲۵] ارائه داده‌ایم. در ادامه، مسأله‌ها را در فضای ۳ بعدی در نظر گرفته‌ایم و الگوریتم‌هایی برای حل مسأله‌ها بیان کرده‌ایم. این الگوریتم‌ها را بر روی داده‌های واقعی اجرا کرده‌ایم. نتایج بدست آمده نشان داده‌اند که در عمل زمان اجرای الگوریتم‌های بیان شده و همچنین ضریب تقریب آنها کاربردی و قابل قبول است. در انتها مدل احتمالاتی از ۲ مسأله را بیان کرده‌ایم و روش‌هایی برای حل در این حالت ارائه داده‌ایم. در برخی حالت‌ها در مدل احتمالاتی ثابت کرده‌ایم که مسأله‌ی دیدپذیری احتمالاتی  $\#P$ -complete است. همچنین الگوریتم‌های تقریبی برای مسأله‌ی شمارش احتمالاتی نیز ارائه داده‌ایم.

کلمات کلیدی: ۱- هندسه محاسباتی، ۲- دیدپذیر، ۳- الگوریتم‌های تقریبی، ۴- الگوریتم‌های تصادفی.

# فهرست مطالب

۱	مقدمه	۱
۲	۱.۱ تعریف مسأله و نمادگذاری‌ها	۲
۶	۲.۱ اهمیت موضوع	۶
۸	۳.۱ نتایج به دست آمده	۸
۹	۴.۱ ساختار پایان‌نامه	۹
۱۱	۲ مروری بر ادبیات موضوع و داده‌ساختارهای موجود	۱۱
۱۱	۱.۲ مروری بر روش‌های پیشین	۱۱
۱۱	۱.۱.۲ مروری بر روش‌های پیشین در ۲ بعد	۱۱
۱۳	۲.۱.۲ مروری بر روش‌های پیشین در فضاها با بعد بزرگتر از ۲	۱۳
۱۴	۲.۲ کاربرد درخت افراز در مسأله‌ی شمارش	۱۴
۱۴	۱.۲.۲ داده‌ساختار برای شمارش مثلث‌ها	۱۴
۱۵	۲.۲.۲ جستجوی بازه‌ی نیم‌فضا و درخت‌افراز	۱۵
۱۷	۳.۲.۲ درخت افراز چند لایه و شمارش مثلث‌ها	۱۷
۱۹	۳ الگوریتم تصادفی اول برای مسأله‌ی شمارش	۱۹
۱۹	۱.۳ گراف نقطه‌ی پرس‌وجو و نتیجه‌ی اصلی	۱۹
۲۴	۲.۳ الگوریتم تقریبی برای محاسبه‌ی تعداد نقاط انتهایی دیدپذیر	۲۴
۲۴	۱.۲.۳ الگوریتم	۲۴
۲۵	۲.۲.۳ تحلیل ضریب تقریب	۲۵

۲۶	تحلیل زمان و حافظه	۳.۲.۳
۲۷	الگوریتم تقریبی برای محاسبه تعداد مولفه‌های همبندی $G(p)$ و اثبات قضیه‌ی ۴.۳	۳.۳
۲۹	الگوریتم	۱.۳.۳
۳۰	تحلیل ضریب تقریب	۲.۳.۳
۳۰	تحلیل زمان و حافظه‌ی مورد نیاز	۳.۳.۳
۳۱	اثبات قضیه ۴.۳	۴.۳.۳
۳۲	نتیجه‌گیری	۴.۳
۳۴	<b>الگوریتم تصادفی دوم و یک الگوریتم دقیق برای مسأله‌ی شمارش</b>	<b>۴</b>
۳۴	الگوریتم تصادفی	۱.۴
۳۵	تحلیل	۲.۴
۳۶	نتایج تجربی	۳.۴
۳۸	شمارش دقیق	۴.۴
۳۸	الگوریتم	۵.۴
۳۹	تحلیل حافظه و زمان	۶.۴
۴۰	نتیجه‌گیری	۷.۴
۴۲	<b>مسأله‌ی شمارش و نتایج تجربی در ۳ بعد</b>	<b>۵</b>
۴۲	بیان مسأله‌ها در فضای ۳ بعدی	۱.۵
۴۳	مسأله‌ی دیدپذیری	۲.۵
۴۴	الگوریتم ارائه شده برای مسأله‌ی دیدپذیری	۱.۲.۵
۴۴	نتایج تجربی برای مسأله‌ی قابلیت دید	۲.۲.۵
۴۵	مسأله‌ی شمارش	۳.۵
۴۶	الگوریتم تقریبی برای مسأله‌ی شمارش	۱.۳.۵
۴۶	پیچیدگی زمانی	۲.۳.۵

۴۷	الگوریتم تقریبی تصادفی برای مسأله‌ی شمارش	۳.۳.۵
۴۷	الگوریتم دقیق مسأله‌ی شمارش	۴.۳.۵
۴۸	نتایج تجربی مسأله‌ی شمارش	۴.۵
۵۰	نتیجه‌گیری	۵.۵
۵۲	<b>۶ مدل احتمالاتی</b>	
۵۳	مسأله‌ی دید احتمالاتی	۱.۶
۵۵	مسأله‌ی شمارش احتمالاتی	۲.۶
۵۶	الگوریتم تقریبی برای مسأله‌ی شمارش احتمالاتی	۱.۲.۶
۵۷	نتیجه‌گیری	۳.۶
۵۹	<b>۷ نتیجه‌گیری و کارهای آینده</b>	
۵۹	خلاصه‌ای از نتایج بدست آمده	۱.۷
۶۰	ایده‌های استفاده شده	۲.۷
۶۱	پیشنهادها برای ادامه‌ی کار	۳.۷
۶۲	ادامه‌ی پروژه براساس تکمیل و بهبود نتایج به‌دست آمده	۱.۳.۷
۶۲	حل مسأله در حالت‌های خاص	۲.۳.۷
۶۳	بررسی مسأله در فضاها با بعد بزرگ‌تر از ۲	۳.۳.۷
۶۳	مدل احتمالاتی	۴.۳.۷

# فهرست جدول‌ها

- ۱.۴ . . . . . مقادیر  $m_p$  و  $m'_p$  برای مقادیر مختلف  $n$ ،  $\delta$  و  $t$ . . . . . ۳۷
- ۱.۵ میانگین تعداد مثلث‌هایی که یک مثلث را می‌پوشانند برای یک نقطه‌ی تصادفی . . . . .
- ۴۵ . . . . . برای هر کدام از مجموعه داده‌ها. . . . .
- ۴.۵ مقایسه‌ی سیستم‌ها . . . . . ۴۹
- ۲.۵ میانگین زمان اجرای الگوریتم به ازای هر کدام از مجموعه داده‌ها. . . . . ۵۰
- ۳.۵ نتایج [۴۴]. آنها تابع خطایی برای تقریب منطقه‌ی دیدپذیر یک نقطه‌ی داده شده ارائه داده‌اند. زمان اجرای الگوریتم آنها برای هر مقدار خطا داده شده است. بهترین الگوریتم، الگوریتم *Radar – like* است. . . . . ۵۰
- ۱.۷ مقایسه‌ی نتایج ارائه شده در این تحقیق برای مسأله‌ی شمارش با روش‌های پیشین . . . . . ۶۰

# فهرست شکل‌ها

- ۱.۱ ناحیه‌ی دیدپذیر توسط یک نقطه در شکل سمت چپ و ناحیه‌ی دیدپذیر توسط  
۲ یک پاره‌خط در شکل سمت راست نشان داده شده است. . . . .
- ۲.۱ حالتی که در آن پیچیدگی ناحیه‌ی دیدپذیر پاره‌خط  $s$  از  $O(n^4)$  است. . . . .
- ۳.۱ در شکل سمت چپ، گراف دید و در شکل سمت راست، گراف دید توسعه‌یافته  
۴ مربوط به دو پاره‌خط نشان داده شده است. . . . .
- ۴.۱  $VSP$  مربوط به سه پاره‌خط  $S = \{s_1, s_2, s_3\}$  [۳۰]. . . . .
- ۱.۲ مثلث‌هایی که هرکدام از آنها تعداد معینی از نقاط را در بردارند و هر خط دلخواه  
 $l$  تعداد مشخصی از آنها را قطع می‌کند. دقت شود که مثلث‌ها ممکن است که  
۱۶ اشتراک نیز داشته باشند. . . . .
- ۲.۲ یک درخت افراز و درخت جستجوی معادل آن. جستجو در درخت به ازای نیم‌صفحه‌ی  
۱۷  $h$ ، نشان داده شده است [۲۷]. . . . .



- ۱.۳ مراحل رسم نشانیدن مسطح گراف  $G(p)$ ، (الف) پاره‌خط‌های  $s_1, \dots, s_5$  و نقاط انتهایی سمت راست و چپ پاره‌خط‌ها نشان داده شده‌اند. (ب) برای هر نقطه‌ی انتهایی  $a \in s_i$  که توسط  $p$  دیدپذیر نیست، اگر  $a' \in s_j$  وجود داشته باشد طوری که  $pr(a') = a$ ، خط  $\overline{aa'}$  را رسم می‌کنیم. (ج) برای هر پاره‌خط  $s_i$ ، راس  $v_i$  را در فاصله‌ی خیلی کوتاه از وسط  $s_i$  قرار می‌دهیم. برای هر  $a$  و  $a'$  (که در (ب) توضیح داده شد)،  $a$  را به  $v_i$  و  $a'$  را به  $v_j$  وصل می‌کنیم. به این ترتیب یالی بین  $v_j$  و  $v_i$  ایجاد می‌شود. (د) پاره‌خط‌های اولیه را حذف می‌کنیم. چیزی که باقی می‌ماند گراف مسطح  $G(p)$  است. توجه کنید که ۵ راس و ۵ یال داریم و هر یالی به صورت ۳ پاره‌خط که به‌طور متوالی به هم وصلند، رسم شده است. . . . . ۲۰
- ۲.۳  $s_i$  توسط  $p$  دیده نمی‌شود و می‌تواند به ۵ قسمت  $\overline{q_1q_2}, \overline{q_2q_3}, \overline{q_3q_4}, \overline{q_4q_5}$  تقسیم شود طوری که هر بخش با پاره‌خط‌هایی از  $s'_1, s'_2, s'_3, s'_4, s'_5$  پوشیده شده‌اند. . . . . ۲۳
- ۳.۳  $\overline{aa'}$  و  $\overline{bb'}$  بخش‌های دیدپذیر از پاره‌خط  $s_1$  هستند.  $B$  نیز یک بخش دیدپذیر از  $c$  تا  $c'$  دارد.  $G(p)$  دارای ۳ مولفه‌ی  $\{s_1, s_2, s_6\}$ ،  $\{s_3, s_4\}$  و  $\{s_5\}$  است.  $l(s_2)$ ،  $l(s_3)$  و  $l(s_5)$  به ترتیب نقاط انتهایی چپ این پاره‌خط‌ها و  $r(s_6)$ ،  $r(s_4)$  و  $r(s_5)$  هم به ترتیب نقاط انتهایی سمت راست این پاره‌خط‌ها هستند. . . . . ۲۸
- ۱.۵ میانگین زمان اجرا و میانگین خطا برای الگوریتم‌های تصادفی و تقریبی. . . . . ۴۶
- ۲.۵ منطقه‌ی دیدپذیر نقطه‌ی پرس‌وجوی  $(p(3/3, 242/5, 2089/5))$  (الف) تقریبی و (ب) دقیق. نقطه‌ی پرس‌وجو با رنگ قرمز نشان داده شده‌است. . . . . ۴۶
- ۳.۵ منطقه‌ی دیدپذیر نقطه‌ی پرس‌وجوی  $(p(468/8, 232/5, 3228/6))$  (الف) تقریبی و (ب) دقیق. نقطه‌ی پرس‌وجو با رنگ قرمز نشان داده شده‌است. . . . . ۴۸

# فصل ۱

## مقدمه

محاسبه‌ی دیدپذیری<sup>۱</sup> به معنای تعیین نقاطی است که توسط یک ناظر دیدپذیر باشند. این مسأله از مباحث مهم تحقیقاتی هندسه‌ی محاسباتی<sup>۲</sup> در سال‌های گذشته بوده‌است. دیدپذیری در زمینه‌ی گرافیک کامپیوتری، رباتیک، بازی‌های کامپیوتری و مباحث مرتبط دیگر کاربرد دارد.

در زمینه‌ی گرافیک کامپیوتری، مسأله‌ی حذف مناطق پنهان<sup>۳</sup> و محاسبه‌ی سطوح دیدپذیر به‌ازای یک صحنه‌ی مجازی و یک ناظر و تعیین مناطقی که به‌طور کامل یا جزئی توسط ناظر دیدپذیر هستند، بررسی شده‌اند [۳۰].

ناحیه‌ی دیدپذیر توسط یک نقطه و یا یک پاره‌خط در زمینه‌ی رباتیک، همانند عبور از موانع، برنامه‌ریزی مسیر<sup>۴</sup> و مکان‌یابی<sup>۵</sup> به‌کار می‌رود. قدرت و توانایی تعیین دیدپذیری در این است که اطلاعات مختلفی را می‌توان مستقیماً از نقشه داده‌شده به‌دست‌آورد [۴۳].

تعیین دیدپذیری در صفحه، در زمینه‌ی بازی‌های کامپیوتری نیز کاربرد دارد و بدون پیشرفت در این زمینه، بازی‌های کامپیوتری مدرن گیرایی لازم را ندارند [۴۹].

به‌دلیل اهمیت موضوع، توجه ویژه‌ای به این مسأله شده‌است و راه‌حل‌های ترکیبیاتی و الگوریتم‌های هندسی کارا برای حل اینگونه مسأله‌ها ارائه شده‌اند.

در برخی از مسایل مربوط به دیدپذیری، شمارش تعداد اشیا دیدپذیر در زمان مناسب موردنظر است که برای دسترسی سریع به پاسخ مناسب، الگوریتم‌های فعلی به‌صورت تقریبی این شمارش را انجام

---

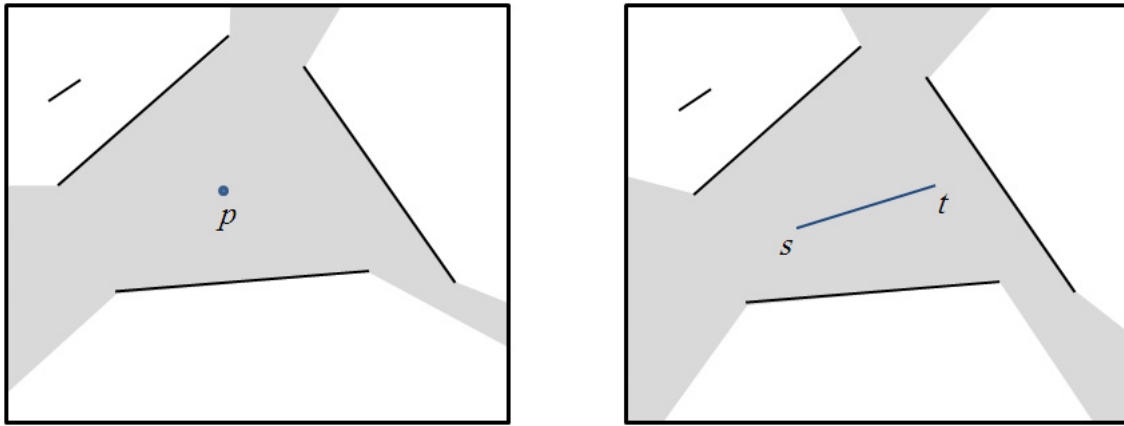
<sup>۱</sup>Visibility

<sup>۲</sup>Computational Geometry

<sup>۳</sup>Hidden Surface Removal

<sup>۴</sup>Path Planning

<sup>۵</sup>Localization



شکل ۱.۱: ناحیه‌ی دیدپذیر توسط یک نقطه در شکل سمت چپ و ناحیه‌ی دیدپذیر توسط یک پاره‌خط در شکل سمت راست نشان داده شده‌است.

می‌دهند. در این تحقیق مسأله‌ی شمارش و دیدپذیری اشیا را بررسی کرده‌ایم.

## ۱.۱ تعریف مسأله و نمادگذاری‌ها

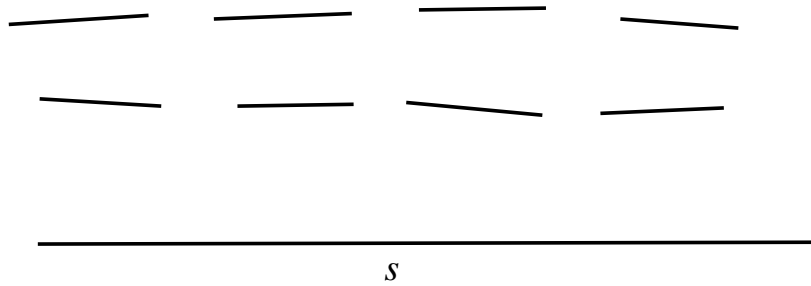
در این بخش تعریف‌ها، نمادهای مورد استفاده و همچنین مسأله‌هایی که بررسی خواهند شد، توضیح داده می‌شوند.

مجموعه‌ی  $S = \{s_1, s_2, \dots, s_n\}$  شامل  $n$  پاره‌خط دوبه‌دو نامتقاطع را در فضای ۲ بعدی در نظر بگیرید. دو نقطه در صفحه را نسبت به  $S$  دیدپذیر می‌گوییم اگر پاره‌خط واصل بین آن دو هیچکدام از اعضای  $S$  را قطع نکند. همچنین نقطه‌ی  $p$  و پاره‌خط  $s$  را دیدپذیر می‌گوییم اگر نقطه‌ای مثل  $t$  عضو  $s$  وجود داشته باشد که  $t$  و  $p$  دیدپذیر باشند.

همچنین فرض می‌کنیم که مربع  $B$  وجود دارد که شامل تمامی پاره‌خط‌ها است. بنابراین تمامی نقاط مورد بررسی تنها داخل  $B$  در نظر گرفته می‌شوند.

با توجه به این تعریف‌ها، ناحیه‌ی دیدپذیر توسط نقطه‌ی  $p$  را مجموعه‌ی تمام نقاطی تعریف می‌کنیم که توسط  $p$  دیدپذیر هستند و ناحیه‌ی دیدپذیر توسط پاره‌خط  $s$  را مجموعه‌ی تمام نقاطی تعریف می‌کنیم که توسط حداقل یکی از نقاط پاره‌خط  $s$  دیدپذیر باشند.

ناحیه‌ی دیدپذیر توسط نقطه‌ی  $p$  را با  $V_S(p)$  و ناحیه‌ی دیدپذیر توسط پاره‌خط  $s$  را با  $V_S(s)$  نشان می‌دهیم. در شکل ۱.۱ ناحیه‌ی دیدپذیر توسط یک نقطه و همچنین ناحیه‌ی دیدپذیر توسط یک پاره‌خط نشان داده شده‌است. واضح است که این تعاریف را می‌توان به اشیا دیگری جز نقطه و پاره‌خط نیز تعمیم داد.



شکل ۲.۱: حالتی که در آن پیچیدگی ناحیه‌ی دیدپذیر پاره‌خط  $s$  از  $O(n^4)$  است.

همان‌طور که در شکل ۱.۱ دیده می‌شود، ناحیه‌ی دیدپذیر توسط نقطه‌ی  $p$  به صورت چندضلعی ستاره‌ای شکل است که نقطه‌ی  $p$  در مرکز آن قرار دارد و تعداد یال‌ها و راس‌های آن از  $O(n)$  است. برای به دست آوردن ناحیه‌ی دیدپذیر توسط یک نقطه‌ی  $p$ ، نقاط انتهایی پاره‌خط‌ها را به صورت شعاعی<sup>۶</sup> حول نقطه‌ی  $p$  مرتب می‌کنیم. سپس با استفاده از یک درخت جستجوی دودویی که در آن پاره‌خط‌ها به ترتیب برخورد آن‌ها با شعاعی که از  $p$  شروع می‌شود، ذخیره شده‌اند، ناحیه‌ی دیدپذیر که به صورت مجموعه‌ای از  $O(n)$  مثلث است به دست می‌آید. در [۱۴، ۵۱] الگوریتم محاسبه‌ی چندضلعی دیدپذیر یک نقطه توضیح داده شده است. چون  $V_S(p)$  به شکل ستاره‌ای است، برای تشخیص این که یک نقطه پرس‌وجوی  $q$  در  $V_S(p)$  قرار دارد یا نه، کافی است جستجوی دودویی انجام دهیم. در این حالت  $V_S(p)$  به صورت داده‌ساختاری با اندازه‌ی  $O(n)$  در نظر گرفته می‌شود. این داده‌ساختار می‌تواند در زمان  $O(\log n)$  به این سوال پاسخ دهد که آیا  $q$  در  $V_S(p)$  قرار دارد یا نه.

برخلاف ناحیه‌ی دیدپذیر یک نقطه که ساده است، ناحیه‌ی دیدپذیر یک پاره‌خط  $s$  پیچیده است و در بدترین حالت پیچیدگی آن از اندازه‌ی  $\Omega(n^4)$  است. در شکل ۲.۱ این حالت نشان داده شده است. بنابراین فضا و زمان پیش‌پردازش زیادی برای تعیین  $V_S(s)$  مورد نیاز است.

همچنین حالت‌هایی وجود دارد که برای بسیاری از اعضای  $s \in S$  پیچیدگی  $V_S(s)$  از  $\Omega(n^2)$  است، بنابراین محاسبه‌ی جداگانه‌ی  $V_S(s)$  و پیش‌پردازش آن برای مکان‌یابی<sup>۷</sup> نمی‌تواند داده‌ساختاری با حافظه‌ی مناسب برای پاسخ‌گویی به این سوال که آیا  $s$  و  $p$  دیدپذیر هستند یا نه، به دست بدهد. از این رو محاسبه‌ی چندضلعی دیدپذیر پاره‌خط در این حالت نیز به فضا و زمان ساخت زیادی نیاز خواهد داشت.

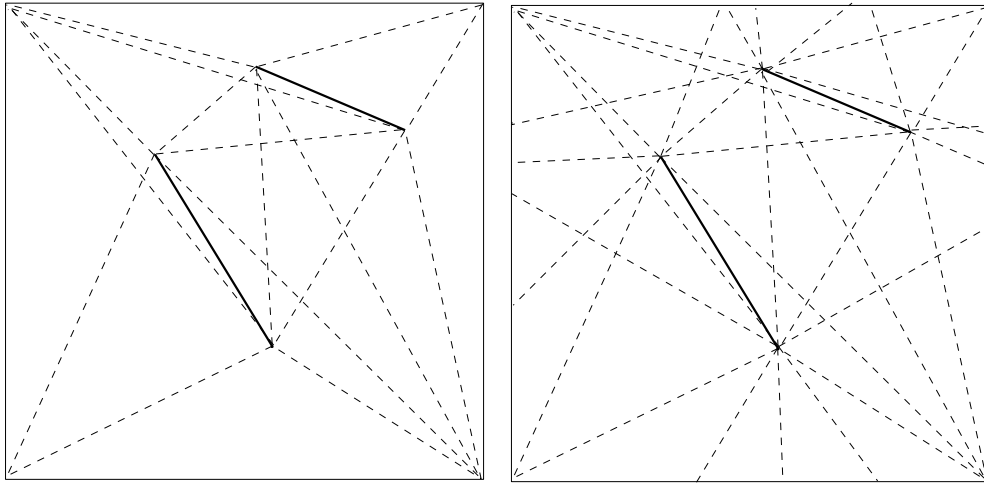
در ادامه مفهوم گراف دید<sup>۸</sup> و گراف دید توسعه‌یافته<sup>۹</sup> بیان می‌شوند.

<sup>۶</sup>Radial

<sup>۷</sup>Point Location

<sup>۸</sup>Visibility Graph

<sup>۹</sup>Extended Visibility Graph



شکل ۳.۱: در شکل سمت چپ، گراف دید و در شکل سمت راست، گراف دید توسعه یافته مربوط به دو پاره خط نشان داده شده است.

**تعریف ۱.۱** گراف دید: گرافی است که راس های آن نقاط انتهایی پاره خط های  $S$  هستند و بین دو راس یال وجود خواهد داشت اگر و تنها اگر دو راس دید پذیر باشند و آن را با  $VG(S)$  نمایش می دهیم. واضح است که تعداد یال های  $VG(S)$  که با  $m$  نشان می دهیم، از مرتبه  $O(n^2)$  است. بدون از دست دادن کلیت مسأله می توان فرض کرد که تعداد پاره خط ها از تعداد ثابتی بیشتر است. در [۳۲] الگوریتم بهینه با زمان  $O(n \log n + m)$  برای محاسبه ی گراف دید مجموعه ای از  $n$  پاره خط که با یکدیگر برخوردی ندارند، ارائه شده است.

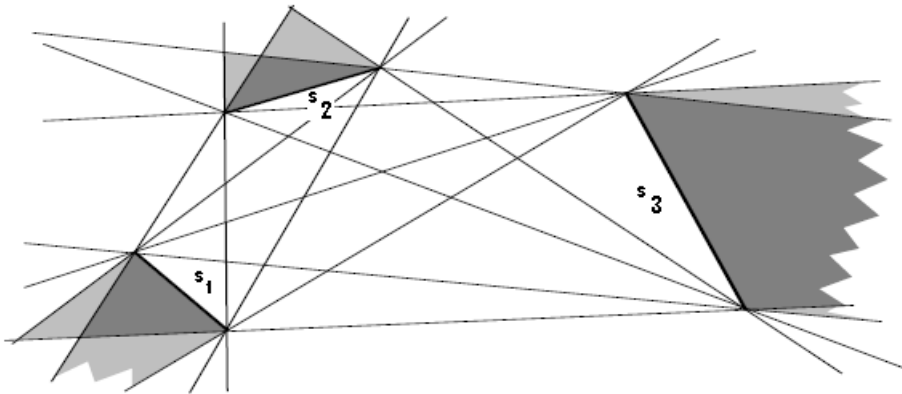
**تعریف ۲.۱** گراف دید توسعه یافته: از روی گراف دید به این صورت به دست می آید که به ازای هر یال  $uv$  در  $VG(S)$  پاره خط  $e_{uv}$  را در دو جهت امتداد می دهیم تا زمانی که یکی از اعضای  $S$  و یا  $B$  (مربع شامل مجموعه  $S$ ) را قطع کند. به این ترتیب یال ها و راس های جدیدی به گراف دید اضافه می شوند. گراف حاصل را گراف دید توسعه یافته می نامیم و با  $EVG(S)$  نمایش می دهیم.

$EVG(S)$  را نیز می توانیم در زمان  $O(n \log n + m)$  با استفاده از الگوریتمی که در [۳۲] ارائه شده است، به دست آوریم.

در شکل ۳.۱ گراف دید و گراف دید توسعه یافته ی دو پاره خط نشان داده شده است.

**تعریف ۳.۱** افرازهای هم دید فضا<sup>۱</sup>: مجموعه ی یال های  $EVG(S)$  و مجموعه ی پاره خط های  $S$  صفحه را به ناحیه هایی تجزیه می کنند که افرازهای هم دید فضا  $VSP(S)$  نامیده می شود.

<sup>۱</sup> Visibility Space Partition



شکل ۴.۱:  $VSP$  مربوط به سه پاره خط  $S = \{s_1, s_2, s_3\}$  [۳۰].

به ازای هر دو نقطه‌ای که در یک ناحیه از  $VSP$  قرار دارند، مجموعه پاره‌خط‌هایی که برای آن دو پاره خط دیدپذیر هستند یکسان است. ناحیه‌ای از  $VSP$  که شامل نقطه‌ی  $p$  است، کلیه‌ی اطلاعات مربوط به دید در نقطه  $p$  را در بردارد. به این ترتیب که به ازای تمامی نقاط موجود در یک ناحیه از  $VSP$  ترتیب پاره‌خط‌های دیدپذیر که به صورت ساعتگرد حول هر نقطه‌ی دلخواه از آن ناحیه جاروب می‌شوند یکسان است. در شکل ۴.۱،  $VSP$  مربوط به سه پاره خط نشان داده شده است.

از آنجایی که  $VSP(S)$  از برخورد  $O(n^2)$  خط و پاره خط به دست آمده است، در بدترین حالت پیچیدگی آن از  $O(n^4)$  است.

با انجام پیش‌پردازش بر روی پاره‌خط‌های مجموعه‌ی  $S$  می‌خواهیم به سوال‌های زیر در زمینه‌ی دیدپذیری پاسخ دهیم:

**سؤال ۴.۱** مسأله‌ی دیدپذیری<sup>۱۱</sup>: به ازای نقطه‌ی پرس‌وجوی  $p$  و پاره خط  $s \in S$ ، آیا  $p$  و  $s$  همدیگر را می‌بینند؟

**سؤال ۵.۱** مسأله‌ی شمارش<sup>۱۲</sup>: به ازای نقطه‌ی پرس‌وجوی  $p$ ، تعداد پاره‌خط‌های دیدپذیر توسط  $p$  را به دست آورید.

حل این سوال‌ها به حل سوال‌های مشابه دیگری نیز کمک خواهد کرد. تعداد پاره‌خط‌های دیدپذیر توسط نقطه‌ی  $p$  را با  $m_p$  نشان می‌دهیم. با توجه به مطالبی که گفته شد مسأله‌ی شمارش را می‌توانیم در زمان  $O(n \log n)$  و با حافظه‌ی  $O(n)$  پاسخ دهیم. برای این منظور

<sup>۱۱</sup>Visibility Testing

<sup>۱۲</sup>Visibility Counting

کافی است  $V_S(p)$  را به دست آوریم و تعداد پاره‌خط‌های مجزایی را که ناحیه‌هایی از آن‌ها به عنوان اضلاع  $V_S(p)$  تعیین شده‌اند، محاسبه کنیم.

همچنین می‌توانیم در مرحله‌ی پیش‌پردازش به‌ازای هر ناحیه از  $VSP(S)$  تعداد پاره‌خط‌های دیدپذیر در آن ناحیه را محاسبه و ذخیره کنیم. سپس در مرحله‌ی پرس‌وجو در زمان لگاریتمی ناحیه‌ای را که نقطه‌ی داده‌شده در آن قرار دارد تعیین و تعداد پاره‌خط‌های دیدپذیر از آن ناحیه را گزارش کنیم. زمان پیش‌پردازش از مرتبه‌ی  $O(n^4 \log n)$  و حافظه‌ی موردنیاز در این روش از  $O(n^4)$  خواهد بود. به‌همین ترتیب می‌توان به مسأله‌ی ۴.۱ نیز پاسخ داد.

اشکال روش اول زمان پرس‌وجوی بالا و اشکال روش دوم حافظه و زمان پیش‌پردازش زیاد است. بنابراین به دنبال یافتن روش‌هایی هستیم که از حافظه و زمان پیش‌پردازش کمتری استفاده‌کند و یا بین زمان پیش‌پردازش و زمان پاسخ‌گویی مصالحه<sup>۱۳</sup> ایجاد کند. استفاده از این روش‌ها منجر به یافتن پاسخ‌هایی با مقادیر تقریبی شده‌است. در روش‌های تقریبی پیچیدگی مسأله را کم می‌کنند و به این ترتیب زمان پرس‌وجو و حافظه‌ی مصرفی را بهبود می‌بخشند. ولی جوابی که به دست می‌آید، جواب دقیق مسأله نیست. در بسیاری از موارد نیازی به داشتن جواب دقیق مسأله نداریم و بنابراین استفاده از روش‌های تقریبی می‌تواند مفید باشد.

## ۲.۱ اهمیت موضوع

در این گزارش مسأله‌ی بررسی دیدپذیری بین اشیا و شمارش اشیا دیدپذیر مدنظر قرار گرفته‌اند. در ادامه خواهیم دید که روش‌های ارائه شده برای حل این مسأله‌ها منجر به حل مسأله‌های مشابه بسیاری هم در زمینه‌ی دیدپذیری و هم در زمینه‌ی شمارش اشیا، تعداد مولفه‌ها و تعداد برجسب‌ها می‌شوند. از این رو اهمیت و کاربرد حل مسأله‌هایی را که بررسی خواهند شد، بیان می‌کنیم.

یکی از کاربردهای دیدپذیری در زمینه‌ی روباتیک است. تعیین مناطق دیدپذیر پاره‌خط‌های تشکیل دهنده‌ی نقشه و همچنین استفاده از این روش‌ها به جای تکنیک ری کستینگ<sup>۱۴</sup> برای شبیه‌سازی خواندن حسگر<sup>۱۵</sup> از کاربردهای دیدپذیری در روباتیک است.

شمارش اشیا دیدپذیر در زمینه‌ی برنامه‌ریزی مسیر<sup>۱۶</sup> کاربرد دارد. برای مثال هنگامی که هدف تعیین اطلاعات بخصوصی در رابطه با دیدپذیری در یک نقشه است، مثلاً به دست آوردن مناطقی که

<sup>۱۳</sup>Trade off

<sup>۱۴</sup> Ray Casting

<sup>۱۵</sup> Sensor Reading

<sup>۱۶</sup> Path planning

بیشترین تعداد اشیا را می‌بینند و یا تعیین مناطقی که یک مجموعه‌ی اشیا بخصوصی را می‌بینند. با حل این مسایل می‌توان نقشه‌های دیدپذیری با جزئیات دقیق به‌دست آورد [۳۸].

کاربرد بعدی در رابطه با تعیین مسیر حرکت روبات به‌نحوی است که روبات حین حرکت با اشیا یا دیواره‌های نقشه برخورد نداشته باشد. در این حالت حرکت روبات بر مبنای اطلاعاتی که از حسگر می‌گیرد، انجام می‌پذیرد. این مسأله برخلاف برنامه‌ریزی مسیر که در آن پردازش بر روی کل نقشه انجام می‌گیرد به‌صورت محلی است و نیاز به کلیه اطلاعات محیط ندارد [۵۰].

در زمینه‌ی گرافیک کامپیوتری یکی از روش‌های نمایش اشیا ۳ بعدی برای تشخیص شی<sup>۱۷</sup>، محاسبه‌ی مناطق دیدپذیر شی از نقاط مختلف به‌صورت مجموعه‌ای از ناحیه‌های ۲ بعدی است که با استفاده از این مجموعه، شی مورد نظر نمایش داده می‌شود [۳۴].

به هنگام ارائه‌ی مدل‌های بزرگ و پیچیده، سخت‌افزار گرافیکی با مشکل محدودیت حافظه روبرو می‌شود. از آنجایی که در بسیاری از موارد نیازی به ارائه‌ی همه‌ی اطلاعات نداریم و تنها کافی است نواحی را در نظر بگیریم که دیده می‌شوند با استفاده از روش‌های ارائه شده در زمینه‌ی دیدپذیری، می‌توانیم مناطقی را که دیده نمی‌شوند، تشخیص دهیم و از پایپ لاین<sup>۱۸</sup> نمایش خارج و سرعت را بیشتر کنیم. به‌عنوان مثال در بازی‌های کامپیوتری این شیوه پیاده‌سازی شده‌است [۴۹].

دیدپذیری در زمینه‌های دیگری همچون رادیوزیتی<sup>۱۹</sup>، نورهای حجمی<sup>۲۰</sup> و محاسبه‌ی سایه<sup>۲۱</sup> نیز کاربرد دارد [۴۹].

با توجه به مطالبی که گفته شد بهبود در زمان ساخت و حافظه‌ی روش‌های موجود اهمیت دارند. همچنین ارائه‌ی الگوریتم‌هایی که به‌راحتی قابل پیاده‌سازی باشند نیز مهم است. در فصل‌های آینده‌ی، الگوریتم‌های تقریبی و تصادفی نیز برای حل این مسأله‌ها بیان شده‌اند. از آنجایی که جواب‌های تقریبی نیز کاربردی هستند، ارائه‌ی این روش‌ها در صورتی که بتوان زمان و حافظه‌ی الگوریتم را بهبود بخشند، دارای اهمیت خواهد بود.

مسأله‌های مربوط به دیدپذیری در فضاها بزرگتر از ۲ بعد کاربردی‌تر هستند و ارائه‌ی روش‌های کارا در این فضاها، در زمینه‌های عنوان شده کمک بسیاری خواهد کرد. به‌عنوان مثال دیدپذیری در تین‌ها<sup>۲۲</sup>، در مباحث جغرافیایی کاربرد دارد.

در ادامه خواهیم دید روش‌هایی که برای حل مسایل شمارش اشیا دیدپذیر عنوان می‌شوند رابطه‌ی

<sup>۱۷</sup> Object Recognition

<sup>۱۸</sup> Pipeline

<sup>۱۹</sup> Radiosity

<sup>۲۰</sup> Volumetric lights

<sup>۲۱</sup> Shadow recognition

<sup>۲۲</sup> Triangulated Irregular Networks (TINs)



مستقیمی با مسایلی در زمینه‌ی شمارش تعداد مولفه‌ها، تعیین تعداد برچسب‌ها و داده‌ساختارهایی همچون درخت‌افراز دارند. مفاهیم عنوان شده نیز کاربردهای فراوانی در گرافیک کامپیوتری دارند.

### ۳.۱ نتایج به‌دست آمده

در این تحقیق به بررسی روش‌های حل مسأله‌های عنوان‌شده پرداخته‌ایم و الگوریتم‌های جدیدی ارائه کرده‌ایم. همچنین روش‌های مختلفی را که به‌کار برده‌ایم، توضیح داده‌ایم و مسایل متعددی را که حل آنها منجر به حل مسأله‌ی ما و مسایل مشابه دیگر می‌شود، بیان کرده‌ایم.

برای حل مسأله‌ی شمارش، ابتدا الگوریتمی تقریبی ارائه داده‌ایم به‌طوری‌که به ازای هر  $0 < \delta \leq 1$  و  $0 \leq \beta \leq \frac{1}{2}$  مسأله‌ی شمارش را در زمان مورد انتظار<sup>۲۳</sup> پرس‌وجوی  $O(\frac{1}{\delta^\beta} m^{\beta/2} \log m)$ ، با استفاده از زمان پیش‌پردازش  $O(m^{2-2\beta/2} \log m)$  و حافظه‌ی مورد انتظار  $O(m^{2-2\beta/2})$  حل می‌کند. این الگوریتم مقدار  $m'_p$  را به عنوان خروجی برمی‌گرداند به‌طوری‌که اگر  $m_p \geq \frac{1}{\delta^\beta} m^{\beta/2} \log m$ ، با احتمال حداقل  $1 - \frac{1}{\log m}$  خواهیم داشت:  $m_p \leq m'_p \leq (1 + \delta)m_p$  و در صورتی‌که  $m_p < \frac{1}{\delta^\beta} m^{\beta/2} \log m$ ، مقدار دقیق  $m_p$  برگردانده می‌شود. دقت شود که هرچه تعداد پاره‌خط‌های مجموعه‌ی  $S$  بیشتر شود،  $1 - \frac{1}{\log m}$  به یک نزدیکتر می‌شود. نتایج بدست آمده در [۸] به چاپ رسیده است. سپس الگوریتم تقریبی تصادفی دیگری ارائه داده‌ایم که با امید ریاضی زمان پیش‌پردازش و حافظه‌ی  $O_\epsilon(n^2)$  و  $O(n^2)$  می‌تواند مسأله‌ی شمارش را در زمان مورد انتظار  $O_\epsilon(\frac{1}{\delta^\epsilon} \sqrt{n})$  پاسخ دهد. این الگوریتم در صورتی‌که  $m_p < \sqrt{n}$  باشد مقدار دقیق جواب مسأله را بدست می‌آورد و در غیر این صورت  $m'_p$  را برمی‌گرداند به‌طوری‌که با احتمال نزدیک به ۱ خواهیم داشت:

$$(1 - \delta)m_p \leq m'_p \leq (1 + \delta)m_p.$$

در این جا و در ادامه‌ی پایان‌نامه  $\epsilon > 0$  و  $\delta > 0$  ثابت‌هایی هستند که می‌توان به‌اندازه‌ی دلخواه کوچک انتخاب کرد و همچنین داریم:

$$O_\epsilon(f(n)) = O(f(n)n^\epsilon).$$

نتایج بدست آمده در [۹] به چاپ رسیده است. سپس الگوریتمی تصادفی برای بدست آوردن جواب دقیق مسأله با حافظه و زمان پرس‌وجوی مشابه [۳۵] ارائه داده‌ایم. در ادامه مسأله را در فضای ۳ بعدی در نظر گرفته‌ایم و الگوریتم‌هایی برای حل مسأله‌ها بیان کرده‌ایم. این الگوریتم‌ها را بر روی

<sup>۲۳</sup>Expected time

داده‌های واقعی اجرا کرده‌ایم و نتایج بدست آمده نشان داده‌اند که در عمل زمان اجرای الگوریتم‌های بیان شده و همچنین ضریب تقریب آنها کاربردی و قابل قبول است. نتایج این بخش در [۱۰] به چاپ رسیده است. در انتها مدل احتمالاتی از ۲ مسأله را بیان کرده‌ایم و روش‌های برای حل در این حالت ارائه داده‌ایم. در برخی حالت‌ها در مدل احتمالاتی ثابت کرده‌ایم که مسأله  $\#P - complete$  است. همچنین الگوریتم‌های تقریبی نیز ارائه داده‌ایم. نتایج این قسمت نیز در [۱] به چاپ رسیده است. ایده‌های استفاده شده در [۸] و [۹] در حل مسایل مشابه نیز به کار رفته است (مراجعه شود به [۴۶]).

## ۴.۱ ساختار پایان‌نامه

در فصل ۲ کارها و نتیجه‌های پیشین و داده‌ساختارهایی که در روش‌های پیشین استفاده شده‌اند، توضیح داده می‌شوند. این فصل شامل مطالبی در رابطه با ادبیات موضوع و نتایج مرتبط با مسأله‌های مطرح شده در این پایان‌نامه است. قسمتی از این نتایج در فصل‌های آینده استفاده خواهند شد. همچنین در رابطه با داده‌ساختار درخت افراز نیز مطالبی عنوان شده‌است. این داده‌ساختار کاربردهای فراوانی در رابطه با مسأله‌های مورد بررسی ما دارند. مطالعه‌ی دقیق این داده‌ساختار در ادامه به حل مسأله‌ها کمک می‌کند.

در فصل‌های ۳ و ۴ نتیجه‌های جدید به دست آمده را برای حالت ۲ بعدی مسأله بیان می‌کنیم. در فصل ۳ ابتدا مسأله را به صورت مدل ریاضی گرافی تعریف کرده ایم. به این ترتیب که به ازای هر نقطه‌ی پرسوجو ابتدا گراف مسطحی نسبت می‌دهیم، سپس ثابت می‌کنیم که تعداد وجه‌های گراف منهای ۱ یا ۲ مساوی تعداد پاره خط‌هایی هستند که دید نمی‌شوند. با استفاده از فرمول اویلر برای گراف‌های مسطح روشی برای محاسبه‌ی تعداد وجه‌ها ارائه داده ایم. برای این منظور تعداد وجه‌ها و یال‌های گراف را با الگوریتم تصادفی به طور تقریبی محاسبه می‌کنیم.

در فصل ۴ ابتدا الگوریتم تصادفی دیگری برای مسأله‌ی شمارش ارائه می‌دهیم. اساس این الگوریتم مشابه فصل پیشین است ولی تفاوت‌هایی نیز دارد. سپس در ادامه الگوریتم دقیقی برای مسأله‌ی شمارش ارائه می‌کنیم. در این الگوریتم از داده‌ساختار درخت افراز نیز با اعمال تغییراتی استفاده می‌کنیم.

در فصل ۵ مسأله را در فضای ۳ بعدی بیان می‌کنیم. برخی قضیه‌ها که در فضای ۲ بعدی بیان شده بودند را به فضای ۳ بعدی تعمیم می‌دهیم. الگوریتم‌های بیان شده در این فصل مشابه فصل‌های گذشته، تصادفی یا تقریبی هستند. همچنین برای بررسی کارایی این الگوریتم‌ها، آنها را بر روی داده‌های واقعی اجرا می‌کنیم. نتایج تجربی نشان می‌دهند که کارایی این الگوریتم مناسب است.

فصل ۶ نیز در رابطه با مدل احتمالاتی مسأله است. در این فصل با کاهش مسأله‌ی شمارش تعداد تطابق‌های کامل گراف ۲ بخشی به مسأله‌ی دید احتمالاتی ثابت می‌کنیم که این مسأله نیز  $\#P$ -complete است. سپس در حالت خاصی، الگوریتمی بازگشتی برای حل مسأله‌ی دید احتمالاتی ارائه می‌دهیم. در این روش از درخت جستجوی دودویی برای بهبود زمان و حافظه‌ی الگوریتم بازگشتی استفاده می‌کنیم. در ادامه الگوریتمی بیان می‌کنیم که مسأله‌ی شمارش احتمالاتی را با ضریب تقریب ۲ حل می‌کند.

در هر کدام از این فصل‌ها روش ارائه‌شده برای حل مسأله را توضیح می‌دهیم. سپس نتیجه‌های به‌دست آمده را بیان می‌کنیم و در انتهای هر فصل ایده‌ها، مسأله‌ها و روش‌های پیشنهادی در رابطه با ادامه‌ی تحقیق را بر مبنای روش جدید بیان می‌کنیم. فصل ۷ نیز شامل نتیجه‌گیری کلی و پیشنهادهایی برای ادامه‌ی تحقیق است.

## فصل ۲

# مروری بر ادبیات موضوع و داده‌ساختارهای موجود

در این فصل نتیجه‌های مقاله‌های مختلف در رابطه با مسایل مطرح شده را توضیح می‌دهیم. همچنین داده‌ساختارهای مورد استفاده و قضیه‌های پایه‌ای را که در فصل‌های بعدی استفاده می‌شوند، بیان می‌کنیم.

### ۱.۲ مروری بر روش‌های پیشین

در این قسمت ادبیات موضوع و نتایج پیشین در ۲ بعد و سپس نتایجی در رابطه با دیدپذیری در فضاها با بعد بزرگتر از ۲ را بیان می‌کنیم.

#### ۱.۱.۲ مروری بر روش‌های پیشین در ۲ بعد

تحقیقات فراوانی در رابطه با مسأله‌ی دیدپذیری در صفحه انجام شده‌است و مقاله‌های بسیاری در این زمینه وجود دارند [۱۲، ۱۳، ۱۸، ۱۹، ۴۷، ۵۶]. همچنین مروری اجمالی در رابطه با مسأله‌ی دیدپذیری در [۳۳] جمع‌آوری شده‌است. در این بخش تعدادی از نتیجه‌های مرتبط با مسأله‌ی مورد بحث در این تحقیق بیان می‌شود.

برای حل مسأله در حالت‌های خاص روش‌هایی ارائه شده‌است. در [۳۲] نشان داده‌اند اگر پاره‌خط‌های مجموعه‌ی  $S$  تشکیل یک چندضلعی بدهند در این صورت پیچیدگی  $VSP(S)$  از  $O(n^3)$  خواهد بود. در این حالت مسأله را می‌توان با زمان پیش‌پردازش  $O(n^3)$  و حافظه‌ی  $O(n^3)$  در زمان

$O(\log n)$  پاسخ داد. همچنین در [۱۲] برای این حالت خاص، الگوریتمی با حافظه‌ی موردنیاز  $O(n^2)$  و زمان پرس‌وجوی  $O(\log^2 n)$  ارائه شده‌است.

در [۱۵] نیز با زمان پیش‌پردازش و حافظه‌ی  $O(n^2)$  می‌توان  $V_S(p)$  را در زمان  $O(n)$  گزارش کرد. در [۵۳] با زمان پیش‌پردازش  $O(n^2 \log n)$  و حافظه‌ی  $O(n^2)$  الگوریتمی ارائه شده‌است که  $V_S(p)$  را در زمان  $O(|V_S(p)| \log(n/|V_S(p)|))$  گزارش می‌کند.  $|A|$  نشان دهنده‌ی تعداد اعضای مجموعه‌ی  $A$  است.

در [۴۷] الگوریتمی با فضای  $O(m)$  ارائه شده‌است که  $V_S(p)$  را در زمان  $O(|V_S(p)| \log n)$  محاسبه می‌کند.

هنگامی که پاره‌خط‌های  $S$  به شکل یک چندضلعی با  $h$  حفره هستند، در [۵۶] الگوریتمی با فضای  $O(n^3)$  ارائه شده‌است که می‌تواند  $V_S(p)$  را با زمان پیش‌پردازش  $O(m_p \log n)$  محاسبه کند و زمان پرس‌وجو از  $O(\min\{h, m_p\} \log n + m_p)$  است.

در [۳۰، ۳۱] برای مسأله‌ی ۵.۱ دو الگوریتم ارائه کرده‌اند. اولین الگوریتم از داده ساختاری با اندازه‌ی  $O((m/r)^2)$  استفاده می‌کند که در زمان  $O(\log n)$  جواب تقریبی مسأله را با خطای  $r$  به دست می‌آورد و  $1 \leq r \leq m$ . همچنین با الگوریتمی دیگر با داده ساختاری با اندازه‌ی  $O((m^2 \log^{O(1)} n)/l)$  و زمان پرس‌وجوی  $O(l \log^{O(1)} n)$  جواب تقریبی مسأله را با مقدار خطای  $\delta n$  به ازای هر  $\delta > 0$  به دست می‌آورند که  $1 \leq l \leq n$ .

در [۳۵] برای حل مسأله‌ی شمارش الگوریتمی تقریبی با زمان پیش‌پردازش و حافظه‌ی  $O_\epsilon(m^{1+\alpha}) = O_\epsilon(n^{2(1+\alpha)})$  و زمان پرس‌وجوی  $O_\epsilon(m^{(1/2)(1-\alpha)}) = O_\epsilon(n^{1-\alpha})$  ارائه شده‌است. ضریب تقریب این الگوریتم ۲ است.

ایده‌ای که در [۳۵] به‌کارگرفته شده‌است محاسبه‌ی  $V_S(s)$  به‌صورت اجتماعی از مثلث‌ها است. حل مسأله در این حالت معادل تعیین مثلث‌های شامل یک نقطه‌ی داده شده‌است. از آنجایی که مثلث‌های مربوط به  $V_S(s)$  اشتراک دارند بنابراین در برخی حالت‌ها مثلث‌های شامل نقطه‌ی داده شده مربوط به یک پاره‌خط بیش از یک‌بار شمرده می‌شوند. اثبات شده‌است که تعداد مثلث‌های شامل یک نقطه حداکثر ۲ برابر مقدار اصلی جواب است و بنابراین الگوریتمی تقریبی با ضریب تقریب ۲ ارائه داده‌اند.

در [۴۵] الگوریتمی ارائه شده‌است که با حافظه‌ی  $O(m)$  و زمان پیش‌پردازش  $O(m \log(\sqrt{m}/n))$  که  $n^2 \leq m \leq n^4$  می‌توان  $V_S(p)$  را در زمان  $O(n^2 \log(\sqrt{m}/n)/\sqrt{m})$  به دست آورد و اگر بخواهیم  $V_S(p)$  را گزارش کنیم،  $|V_S(p)|$  نیز به زمان پرس‌وجو اضافه می‌شود. با استفاده از این الگوریتم هم می‌توان به مسأله‌ی شمارش با ضریب تقریب ۲ پاسخ داد.

در [۱۱] نیز اثبات شده‌است که تعداد نقاط انتهایی دیدپذیر پاره‌خط‌ها که با  $ve_p$  نشان می‌دهیم، حداکثر ۲ برابر تعداد پاره‌خط‌های دیدپذیر است. پس کافی است به جای محاسبه‌ی منطقه‌ی دیدپذیر یک پاره‌خط، منطقه‌ی دیدپذیر نقطه‌های انتهایی پاره‌خط‌ها را به دست آوریم. به این ترتیب می‌توانیم جواب مسأله را با ضریب تقریب ۲ به دست آوریم. با استفاده از این روش، پیچیدگی راه حل ارائه شده در [۳۵] کاسته می‌شود.

## ۲۰۱.۲ مروری بر روش‌های پیشین در فضاهای با بعد بزرگتر از ۲

در این قسمت نتایجی در رابطه با دیدپذیری در فضاهای با بعد بزرگتر از ۲ ارائه می‌شوند. در [۴۸] نتایجی در رابطه با دیدپذیری در حالتی که هدف بررسی دیدپذیری یک نقطه بر روی یک زمینه<sup>۱</sup> است، بیان شده‌است. زمینه، سطحی چندوجهی است که با تعیین ارتفاع برای راس‌های یک سطح مثلث‌بندی شده به وجود آمده است. حالت‌های مختلفی از مسأله در نظر گرفته شده‌است. روشی ارائه شده‌است که با زمان و حافظه‌ی  $O(n\alpha(n) \log n)$  می‌توان تعیین کرد که آیا ۲ نقطه‌ی  $p$  و  $q$  بر روی زمینه دیدپذیر هستند یا نه (که  $\alpha(n)$  عکس تابع آکرمن<sup>۲</sup> است). همچنین مسأله را برای حالتی که  $p$  بر روی یک خط راست حرکت می‌کند در نظر گرفته‌اند.

در [۵۴] به‌ازای مجموعه‌ای از  $n$  مثلث دو به دو نامتقاطع در فضای ۳ بعدی، ثابت شده‌است پیچیدگی منطقه‌ی دیدپذیر یک مثلث از مثلث دیگر از مرتبه‌ی  $O(n^6)$  است و همچنین در صورتی که مجموعه‌ی مثلث‌ها تشکیل یک زمینه بدهند از مرتبه‌ی  $O(n^4)$  خواهد بود.

در [۴۲] نتایج به دست آمده در [۵۴] بهبود داده شده‌اند. آنها ثابت کرده‌اند که پیچیدگی منطقه‌ی دیدپذیر یک پاره‌خط برای حالت اول از  $O(n^5)$  و برای یک مثلث از  $\Theta(n^7)$  است و در حالت دوم، برای یک پاره‌خط و یک مثلث از  $\Omega(n^4)$  و  $O(n^5)$  است. در [۱۶] نیز روشی تقریبی برای محاسبه‌ی منطقه‌ی دیدپذیر یک نقطه بر روی یک زمینه ارائه شده‌است که به سوالاتی همانند تعیین دیدپذیری ۲ نقطه بر روی زمینه پاسخ می‌دهد. در این مقاله الگوریتم ارائه شده با روش‌های پیشین مقایسه شده است.

در [۲۸] نیز حالت خاصی از مسأله بررسی و ثابت شده‌است که اگر مثلث‌های تشکیل‌دهنده‌ی زمینه دارای خصوصیات زیر باشند:

۱. اندازه‌ی کوچکترین زاویه‌ی هر مثلث در یک بازه‌ی تعیین شده باشد.

<sup>۱</sup>Terrain

<sup>۲</sup>Inverse Ackermann Function

۲. اندازه‌ی زاویه بین هر مثلث و خط افقی در یک بازه‌ی تعیین‌شده باشد.

۳. حاصل تقسیم طول بلندترین یال مثلث‌ها بر طول کوتاهترین یال مثلث‌ها در یک بازه‌ی تعیین‌شده باشد.

در این صورت پیچیدگی نقشه‌ی دید<sup>۳</sup> زمینه در بدترین حالت از مرتبه‌ی  $O(n^2)$  و امید ریاضی پیچیدگی زمینه از  $\Theta(n)$  خواهد بود. نقشه‌ی دید زمینه نسبت به نقطه‌ی  $p$ ، تصویر قسمت‌های دیدپذیر مثلث‌های زمینه بروی صفحه‌ی دید است.

## ۲.۲ کاربرد درخت افراز در مسأله‌ی شمارش

همان‌طور که در بخش قبلی عنوان کردیم با استفاده از روش ارائه شده در [۳۵] حل مسأله‌ی شمارش معادل خواهد بود با انجام پیش‌پردازش بروی تعدادی مثلث و به‌دست آوردن تعداد مثلث‌های شامل نقطه‌ی پرس‌وجو. برای این منظور از داده‌ساختاری به نام درخت افراز<sup>۴</sup> استفاده می‌شود. در ادامه، نحوه‌ی استفاده از این داده‌ساختار توضیح داده می‌شود.

### ۱.۲.۲ داده‌ساختار برای شمارش مثلث‌ها

مجموعه‌ی  $T$  از مثلث‌ها در صفحه داده شده‌است. می‌خواهیم بر روی این مثلث‌ها پیش‌پردازش انجام دهیم به‌طوری‌که تعداد مثلث‌های شامل یک نقطه‌ی داده‌شده را به‌دست آوریم.

فرض کنید  $\Delta$  یک مثلث باشد، در این صورت  $\Delta$  از برخورد چهار خط  $h(\Delta) = (u_1, u_2, d_1, d_2)$  تشکیل شده‌است که این چهار خط،  $u_1$  و  $u_2$  از بالا و  $d_1$  و  $d_2$  از پایین  $\Delta$  را احاطه می‌کنند و در این حالت  $u_1 = u_2$  یا  $d_1 = d_2$  خواهد بود.

با استفاده از نگاشت استاندارد دوگان [۲۷]، چهار خط  $h(\Delta)$  به چهار نقطه‌ی  $u_1^*, u_2^*, d_1^*, d_2^*$  نگاشت می‌شوند و نقطه‌ی  $p$  نیز به خط  $p^*$  نگاشت می‌شود.

نقطه‌ی  $p$  داخل  $\Delta$  خواهد بود اگر و تنها اگر خط  $p^*$  بالای  $u_1^*$  و  $u_2^*$  و زیر  $d_1^*$  و  $d_2^*$  باشد. قرار

می‌دهیم:

$$h^*(\Delta) = (u_1^*, u_2^*, d_1^*, d_2^*)$$

<sup>۳</sup>Visibility Map

<sup>۴</sup>Partition Tree

ساختاری که برای شمارش مثلث‌های  $T$  به کار می‌رود نقاط هشت بعدی به صورت:

$$h^*(T) = \{h^*(\Delta) : \Delta \in T\}$$

را ذخیره می‌کند. به ازای نقطه‌ی پرس‌وجوی  $p$  می‌خواهیم تعداد نقاط  $(a, b, c, d) \in h^*(T)$  را که در شرایط زیر صدق می‌کنند، به دست آوریم.

۱.  $a$  بالای  $p^*$

۲.  $b$  بالای  $p^*$

۳.  $c$  پایین  $p^*$

۴.  $d$  پایین  $p^*$

شمارش تعداد نقاطی که هریک از شرایط را بررسی می‌کند معادل خواهد بود با حل مسأله‌ی جستجوی بازه‌ی نیم‌فضا<sup>۵</sup>. داده‌ساختارهای مختلفی برای حل این مسأله وجود دارند. در مسأله‌ی شمارش تعداد مثلث‌ها، می‌توان از داده‌ساختاری به نام درخت‌افراز چهار لایه با زمان پیش‌پردازش و فضای  $O_\epsilon(k)$  و زمان پرس‌وجوی  $O_\epsilon(n/\sqrt{k})$  استفاده کرد. این داده‌ساختار می‌تواند تعداد اعضای  $h^*(T)$  را که در شرط‌های بالا صدق می‌کنند، برای هر  $p^*$  به دست آورد.

## ۲.۲.۲ جستجوی بازه‌ی نیم‌فضا و درخت‌افراز

مسأله‌ی جستجوی بازه‌ی نیم‌فضا به این صورت بیان می‌شود.

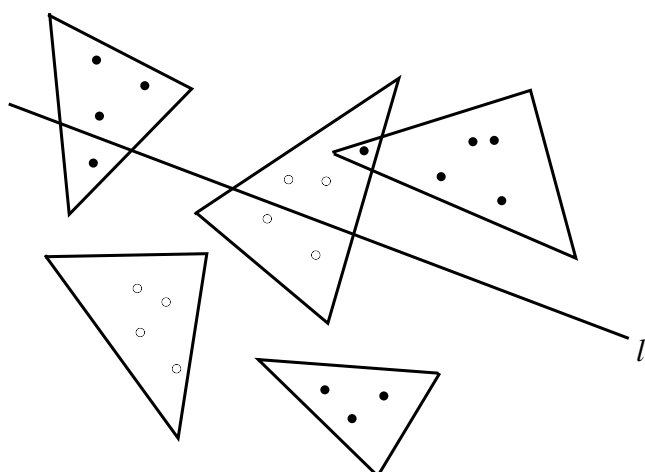
**سؤال ۱.۲** تعداد  $n$  نقطه در فضا داده شده است. می‌خواهیم بر روی این نقاط پیش‌پردازش انجام دهیم به طوری که به ازای یک صفحه‌ی داده‌شده تعداد نقاط بالای آن صفحه را به دست آوریم.

این مسأله در مقاله‌های بسیاری بررسی شده است [۶، ۴، ۲، ۲۵]. در این جا از درخت‌افراز برای پاسخ‌گویی به این مسأله استفاده می‌کنیم.

**تعریف ۲.۲** به ازای  $n$  نقطه‌ی داده‌شده در صفحه می‌خواهیم صفحه را به مناطق مختلف تقسیم کنیم به طوری که هر کدام از مناطق حداکثر شامل تعدادی معین از نقاط باشند و همچنین هر خطی تعداد مشخصی از این مناطق را قطع کند (شکل ۱.۲). در این صورت به ازای یک خط داده‌شده، تعدادی از مناطق به طور کامل بالا و یا پایین آن خط خواهند بود و بقیه توسط آن خط قطع می‌شوند. به ازای

<sup>۵</sup>Halfspace Range Searching





شکل ۱.۲: مثلث‌هایی که هرکدام از آنها تعداد معینی از نقاط را در بردارند و هر خط دلخواه  $l$  تعداد مشخصی از آنها را قطع می‌کند. دقت شود که مثلث‌ها ممکن است که اشتراک نیز داشته باشند.

مناطق که به‌طور کامل بالای آن خط قرار دارند نقاط داخل آن مناطق نیز بالای آن خط خواهند بود. و به ازای مناطقی که توسط آن خط قطع می‌شوند، الگوریتم را به‌صورت بازگشتی اجرا می‌کنیم (شکل ۲.۲). داده ساختاری با خصوصیات گفته شده را **درخت افراز** می‌نامیم.

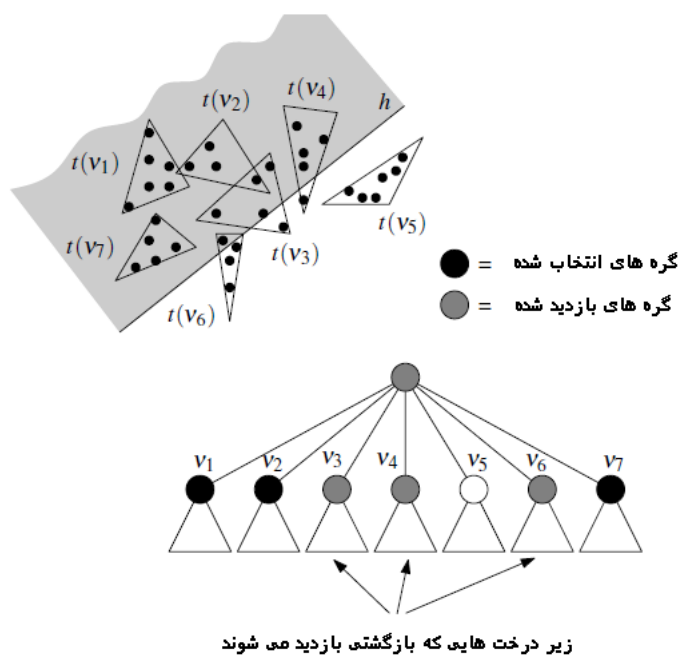
کارایی این روش به پارامترهای استفاده شده در ساخت درخت افراز بستگی دارد. برای جزییات بیشتر در رابطه با نحوه‌ی ساخت درخت افراز به [۲۶، ۲۳، ۴۰، ۵۵] مراجعه شود. با استفاده از درخت افراز خواهیم داشت:

**قضیه ۳.۲** ([۴۰]) به ازای  $n$  نقطه‌ی داده‌شده در فضای  $d$  بعدی می‌توان با پیش‌پردازش در زمان  $O(n \log n)$  و حافظه‌ی  $O(n)$  در زمان  $O(n^{1-1/d}(\log n)^{O(1)})$  به مسأله‌ی جستجوی بازه‌ی نیم‌فضا پاسخ داد.

همچنین با استفاده از  $cutting - (1/r)$  که در ادامه بیان می‌شود، می‌توانیم بین حافظه‌ی مصرفی و زمان پرس‌وجو مصالحه ایجاد کنیم. فرض کنید  $L$  مجموعه‌ای از  $n$  خط در صفحه باشد و  $r \leq n$  یک پارامتر داده شده باشد. یک  $cutting - (1/r)$  برای  $L$ ، مجموعه‌ای از مثلث‌هایی است که نقاط داخلشان با یکدیگر اشتراک ندارند، به طوری‌که تمام صفحه پوشش داده می‌شود و هر مثلث حداکثر از  $\frac{n}{r}$  از خط‌های مجموعه‌ی  $L$  را قطع می‌کند.

**قضیه ۴.۲** ([۴۱]) با زمان پیش‌پردازش  $O(nr)$  و حافظه‌ی  $O(r^2)$  می‌توان یک  $cutting - (1/r)$  به دست آورد.

در این صورت خواهیم داشت:



شکل ۲.۲: یک درخت افراز و درخت جستجوی معادل آن. جستجو در درخت به ازای نیم‌صفحه‌ی  $h$ ، نشان داده شده‌است [۲۷].

قضیه ۵.۲ ([۴۰]) به ازای  $n$  نقطه‌ی داده شده در فضای  $d$  بعدی و پارامتر  $m$ ،  $n \leq m \leq n^d$ ، می‌توان با زمان پیش‌پردازش  $O_\epsilon(m)$  و حافظه‌ی  $O_\epsilon(m)$ ، در زمان  $O(n(\log n)^{O(1)}/m^{1/d})$  به مسأله‌ی جستجوی بازه‌ی نیم‌فضا پاسخ داد.

### ۳.۲.۲ درخت افراز چند لایه و شمارش مثلث‌ها

برای یافتن تعداد مثلث‌های شامل نقطه‌ی پرس‌وجوی  $p$ ، چهار شرط در نظر گرفته شده‌است و هر مثلثی که در آن چهار شرط صدق کند شامل نقطه‌ی داده شده خواهد بود. برای این منظور از درخت افراز چندلایه استفاده می‌کنیم. در لایه‌ی اول درخت افراز ابتدا نقاطی را که در شرط اول صدق می‌کنند، به دست می‌آوریم، سپس در لایه‌ی دوم به ازای نقاطی که در شرط اول صدق می‌کنند نقاطی را در نظر می‌گیریم که در شرط دوم صدق کنند. به همین ترتیب برای نقاط به دست آمده در این مرحله، نقاطی را انتخاب می‌کنیم که در شرط سوم صدق کنند و در مرحله‌ی آخر از بین نقاطی که در این سه شرط صدق می‌کنند نقاطی را که در شرط چهارم نیز صدق می‌کنند، به دست می‌آوریم. به این ترتیب تعداد مثلث‌ها را می‌توان به دست آورد و همچنین آنها را گزارش کرد. دقت شود که اگر بخواهیم مثلث‌ها را گزارش کنیم به اندازه‌ی تعداد مثلث‌ها به زمان پرس‌وجو اضافه می‌شود. داده‌ساختار درخت افراز

برای پاسخگویی به سوالات مشابهی نیز به کار می‌رود. به‌عنوان مثال ورودی مجموعه‌ای از پاره‌خطها و هدف بدست آوردن تعداد پاره‌خطهایی است که توسط خط پرس و جوی دلخواهی قطع می‌شود، است. یا به ازای یک نیم‌خط داده شده بدست آوردن اولین پاره‌خطی که توسط این نیم‌خط قطع می‌شود. تمامی این مسایل مرتبط هستند و کاربردهای بسیاری در هندسه‌ی محاسباتی دارند. برای اطلاعات بیشتر علاوه بر مراجع اشاره شده می‌توان به [۳، ۵، ۷، ۲۴، ۳۹] مراجعه کرد.

داده‌ساختارهای مطرح شده در فصل‌های بعدی تحقیق مورد استفاده قرارخواهند گرفت. در ادامه الگوریتم‌های جدید برای حل مسایل عنوان شده را بیان می‌کنیم.

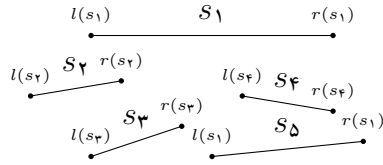
## فصل ۳

# الگوریتم تصادفی اول برای مسأله‌ی شمارش

در این فصل الگوریتمی تصادفی برای به دست آوردن جواب تقریبی مسأله‌ی شمارش ارائه می‌شود. ابتدا برای هر نقطه‌ی پرس و جو یک گراف نسبت می‌دهیم. سپس ثابت می‌کنیم که این گراف مسطح است و تعداد وجه‌های این گراف منهای یک یا دو مساوی تعداد پاره‌خط‌هایی است که دیده نمی‌شوند. از فرمول اویلر برای گراف‌های مسطح استفاده می‌کنیم و الگوریتمی تقریبی برای محاسبه‌ی تعداد وجه‌ها ارائه می‌دهیم. همچنین ضریب تقریب و زمان اجرای الگوریتم را محاسبه می‌کنیم. در این الگوریتم، ضریب تقریب و زمان اجرا را در مقایسه با روش‌های پیشین بهبود داده‌ایم.

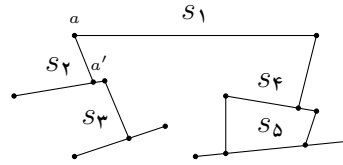
### ۱.۳ گراف نقطه‌ی پرس و جو و نتیجه‌ی اصلی

به ازای هر نقطه‌ی  $a' \in s_i$ ، شعاع ساطع شده از  $p$  به  $a'$  را با  $pa'$  نشان می‌دهیم. نقطه‌ی  $a = pr(a')$  را محل برخورد  $pa'$  و اولین پاره‌خط در  $S$  یا مربع  $B$  در نظر بگیرید. در این حالت می‌گوییم  $a = pr(a)$  توسط  $a'$  پوشیده شده است و تصویر  $a'$  نقطه‌ی  $a$  است. همچنین فرض کنید که  $\overline{x'y'}$  قسمتی از  $s_i$  و  $\overline{xy}$  قسمتی از  $s_j$  است به طوری که  $pr(x') = x$  و  $pr(y') = y$  و به ازای هر نقطه‌ی  $z' \in \overline{x'y'}$  داریم  $pr(z') \in \overline{xy}$ . در این صورت می‌گوییم  $\overline{xy}$  توسط  $\overline{x'y'}$  پوشیده شده است. برای هر نقطه‌ی  $p$  گرافی با نام  $G(p)$  به این صورت می‌سازیم که به ازای هر پاره‌خط  $s_i \in S$  راس  $v_i$  را در نظر می‌گیریم. به ازای هر دو راس  $v_i$  و  $v_j$  اگر  $s_j$  یک نقطه‌ی انتهایی  $s_i$  را بپوشاند (و یا برعکس،  $s_i$  یک نقطه‌ی انتهایی  $s_j$  را بپوشاند) بین  $v_j$  و  $v_i$  یک یال قرار می‌دهیم. و در صورتی که هر دو نقطه‌ی انتهایی  $s_i$  توسط  $s_j$  پوشیده شوند (و یا برعکس، هر دو نقطه‌ی انتهایی  $s_j$  توسط  $s_i$  پوشیده شود) دو یال بین  $v_j$  و  $v_i$  قرار می‌دهیم (شکل ۱.۳).



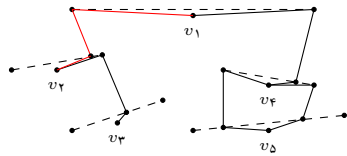
$p \cdot$

(الف)



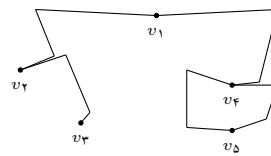
$p \cdot$

(ب)



$p \cdot$

(ج)



$p \cdot$

(د)

شکل ۱.۳: مراحل رسم نشانیدن مسطح گراف  $G(p)$ ، (الف) پاره‌خط‌های  $s_1, \dots, s_5$  و نقاط انتهایی سمت راست و چپ پاره‌خط‌ها نشان داده شده‌اند. (ب) برای هر نقطه‌ی انتهایی  $a \in s_i$  که توسط  $p$  دیدپذیر نیست، اگر  $a' \in s_j$  وجود داشته باشد طوری که  $pr(a') = a$ ، خط  $\overline{aa'}$  را رسم می‌کنیم. (ج) برای هر پاره‌خط  $s_i$ ، راس  $v_i$  را در فاصله‌ی خیلی کوتاه از وسط  $s_i$  قرار می‌دهیم. برای هر  $a$  و  $a'$  (که در (ب) توضیح داده شد)،  $a$  را به  $v_i$  و  $a'$  را به  $v_j$  وصل می‌کنیم. به این ترتیب یالی بین  $v_i$  و  $v_j$  ایجاد می‌شود. (د) پاره‌خط‌های اولیه را حذف می‌کنیم. چیزی که باقی می‌ماند گراف مسطح  $G(p)$  است. توجه کنید که ۵ راس و ۵ یال داریم و هر یالی به‌صورت ۳ پاره‌خط که به‌طور متوالی به‌هم وصلند، رسم شده است.

به ازای هر پاره‌خط  $s \in S$  نقطه‌های  $l(s)$  و  $r(s)$  اولین و دومین نقطه‌ی انتهایی  $s$  هستند که توسط شعاعی که حول  $p$  به صورت ساعت‌گرد حرکت می‌کند جاروب می‌شوند (شکل ۱.۳.۱). (a).

لم ۱.۳.۱  $G(p)$  را می‌توان به صورت مسطح در صفحه رسم کرد.

**اثبات.** برای هر نقطه‌ی انتهایی  $a \in s_i$  که توسط  $p$  دید نمی‌شود، فرض کنید داریم  $a' \in s_j$  طوری که  $pr(a') = a$ . خط راست  $\overline{aa'}$  را رسم می‌کنیم. در این صورت مجموعه‌ای از پاره‌خط‌هایی خواهیم داشت که هیچ دو تایی همدیگر را قطع نمی‌کنند. به ازای هر پاره‌خط  $s_i$ ، راس  $v_i$  را در نقطه‌ای نزدیک به نقطه‌ی میانی پاره‌خط  $s_i$  قرار می‌دهیم. همچنین برای هر پاره‌خط  $\overline{aa'}$  نقطه‌ی  $a$  را به  $v_i$  و  $a'$  را به  $v_j$  وصل می‌کنیم. در این حالت یالی شامل ۳ پاره‌خط راست  $\overline{v_i a}$ ،  $\overline{aa'}$  و  $\overline{a' v_j}$  ایجاد می‌شود که  $v_i$  را به  $v_j$  وصل می‌کند. واضح است که هیچ‌کدام از این یال‌ها همدیگر را قطع نمی‌کنند. در پایان تمامی پاره‌خط‌های اولیه را حذف می‌کنیم. باقیمانده‌ی پاره‌خط‌ها و نقطه‌ها، گراف مسطح  $G(p)$  را می‌سازند. این مراحل در شکل ۱.۳.۱ آمده‌است. ■

در ادامه‌ی این بخش  $G(p)$  را به عنوان گراف مسطح  $G(p)$  در نظر می‌گیریم. می‌دانیم که فرمول اویلر برای گراف‌های مسطح به این شکل است [۱۷]:

$$V(G) - E(G) + F(G) = 1 + C(G).$$

که  $E(G)$ ،  $V(G)$ ،  $F(G)$  و  $C(G)$  به ترتیب تعداد یال‌ها، راس‌ها، وجه‌ها و تعداد مولفه‌های همبندی  $G$  هستند. قضیه‌ی زیر روشی را برای محاسبه‌ی  $m_p$  توسط  $G(p)$  ارائه می‌دهد.

**قضیه ۲.۳.** تعداد پاره‌خط‌هایی که توسط  $p$  دیده نمی‌شوند، در صورتی که  $p$  داخل یکی از وجه‌های درونی  $G(p)$  باشد مساوی  $2 - F(G(p))$  و در غیر این صورت مساوی  $1 - F(G(p))$  خواهد بود.

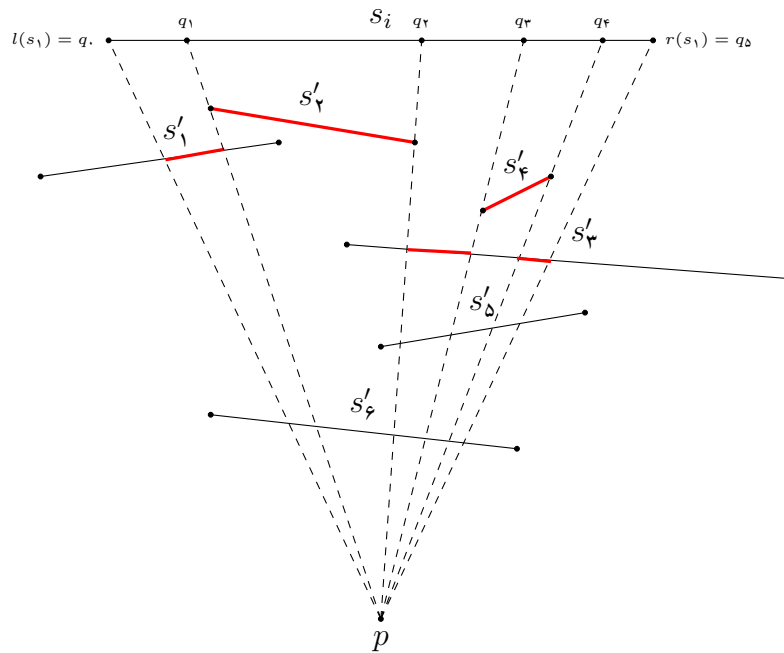
**اثبات.** برای اثبات یک تابع یک به یک و پوشا  $\phi$  بین پاره‌خط‌های غیردیدپذیر از  $p$  و وجه‌های  $G(p)$  به جز وجه بیرونی و وجه شامل  $p$  تعریف می‌کنیم. فرض کنید که  $s_i$  پاره‌خطی است که توسط  $p$  دیده نمی‌شود. در این صورت می‌توانیم  $s_i$  را به  $k$  بخش  $\overline{q_1 q_2}, \overline{q_2 q_3}, \dots, \overline{q_k q_{k+1}}$  افراز کنیم به طوری که  $q_k = l(s_i)$ ،  $q_1 = r(s_i)$  و برای هر  $\overline{q_i q_{i+1}}$  یک بخش  $q'_i q'_{i+1} \in s_j$  وجود دارد که  $\overline{q_i q_{i+1}}$  را پوشش می‌دهد. فرض کنید  $s'_1, s'_2, \dots, s'_k$  مجموعه‌ی پاره‌خط‌هایی باشند که  $\overline{xy} \in s'_{i+1}$  بخش  $\overline{q_i q_{i+1}}$  را می‌پوشاند. توجه کنید که برخی از پاره‌خط‌ها بیش از یک بار در این سری ظاهر می‌شوند (شکل ۲.۳). ادعا می‌کنیم که راس‌های  $v'_1, v'_2, \dots, v'_k$  و  $v_i$  یک وجه داخلی از  $G(p)$  را می‌سازند که شامل  $p$  نیست. این وجه را به  $s_i$  نسبت می‌دهیم. از آنجایی که  $v'_1$  راسی است که به اولین پاره‌خطی نسبت داده شده‌است که  $\overline{q_1 q_2}$  را

می‌پوشاند، در این صورت  $s'_1$  نقطه‌ی  $l(s_i)$  را پوشش می‌دهد. به‌طور مشابه،  $s'_k$  نقطه‌ی  $r(s_i)$  را پوشش می‌دهد و بنابراین  $v_i$  با  $v'_1$  و  $v'_k$  مجاور است. بخش بعدی که قسمتی از  $s_i$  را می‌پوشاند از  $s'_1$  است. بنابراین  $r(s'_1)$  توسط  $s'_1$  و یا  $l(s'_1)$  پوشیده می‌شود. بنابراین  $v'_1$  و  $v'_k$  مجاور خواهند بود. به‌طور مشابه می‌توانیم نشان دهیم که برای هر  $1 \leq i < k$ ،  $v'_i$  و  $v'_{i+1}$  مجاور هستند. برای تکمیل اثبات باید نشان دهیم که مسیر بسته‌ی ایجاد شده توسط  $v_i \rightarrow v'_k \rightarrow v'_1 \rightarrow v'_2 \rightarrow \dots \rightarrow v'_i \rightarrow v_i$  شامل  $p$  نیست. شعاع ساطع شده از  $p$  را در نظر بگیرید. ناحیه‌ای که زیر  $s_i$  و بالای  $s'_k$  قرار دارد توسط راس‌های  $v_i$  و  $v'_1, v'_2, \dots, v'_k$  محصور شده است. واضح است که  $p$  داخل این ناحیه نیست و بنابراین  $p$  داخل مسیر بسته‌ی ایجاد شده نیز قرار ندارد. حال نشان می‌دهیم که تابع  $\phi$  یک به یک و پوشا است. ابتدا یک به یک بودن را ثابت می‌کنیم. اگر  $\phi(s_i) = \phi(s_j)$  در این صورت طبق تعریف  $\phi$ ، قسمتی از پاره‌خط  $s_i$  قسمتی از پاره‌خط  $s_j$  را می‌پوشاند و همچنین قسمتی از پاره‌خط  $s_j$  قسمتی از پاره‌خط  $s_i$  می‌پوشاند. از آنجایی که پاره‌خط‌ها یکدیگر را قطع نمی‌کنند به تناقض می‌رسیم. برای اثبات پوشا بودن باید نشان دهیم که برای هر وجه داخلی  $f$  که شامل  $p$  نیست، راس  $v_i$  متناظر با پاره‌خط  $s_i$  وجود دارد که توسط  $p$  دیده نمی‌شود و  $\phi(s_i) = f$ .

برای بدست آوردن  $s_i$  از نیم‌خط شعاعی حول  $p$  استفاده می‌کنیم. از آنجایی که  $f$  وجه داخلی است و شامل  $p$  نیست، وجه  $f$  بین دو شعاعی که از  $p$  ساطع می‌شوند خواهد بود. یکی از این شعاع‌ها از سمت راست و دیگری از سمت چپ است. اگر از سمت چپ به راست شروع به جاروب کنیم پاره‌خطی متناظر با یکی از راس‌های  $f$  وجود خواهد داشت که نقطه‌ی انتهایی آن اولین نقطه‌ای خواهد بود که توسط دیگر پاره‌خط‌های متناظر با راس‌های  $f$  پوشیده می‌شود. حال ادعا می‌کنیم که  $s_i$  توسط  $p$  دیده نمی‌شود و  $\phi(s_i) = f$ . برای مثال در شکل ۲.۳ مسیر بسته‌ی  $v_i \rightarrow v'_k \rightarrow v'_1 \rightarrow v'_2 \rightarrow \dots \rightarrow v'_i \rightarrow v_i$  یکی از وجه‌های  $G(p)$  را تشکیل می‌دهد و  $s_i$  اولین پاره‌خط بین  $\{s_i, s'_1, s'_2, s'_3, s'_4\}$  است که  $l(s_i)$  توسط یکی از پاره‌خط‌های  $\{s_i, s'_1, s'_2, s'_3, s'_4\}$  پوشیده می‌شود.

واضح است که  $l(s_i)$  توسط  $p$  دیده نمی‌شود.  $v_i$  و  $v'_1$  مجاور هستند و بنابراین قسمتی از  $s'_1$  قسمتی از  $s_i$  را می‌پوشاند. از آنجایی که  $v'_1$  و  $v'_2$  مجاور هستند بنابراین قسمتی از  $s'_2$  قسمتی از  $s_i$  را درست بعد از  $s'_1$  می‌پوشاند. با ادامه‌ی این استدلال نتیجه می‌گیریم قسمتی از هر  $s'_i$  بخشی از  $s_i$  را به صورت ممتد می‌پوشاند.  $v_i$  و  $v'_k$  نیز مجاور هستند بنابراین  $r(s_i)$  توسط  $p$  دیده نمی‌شود. پس نتیجه می‌گیریم که قسمت‌هایی از  $s_k, \dots, s'_1, s'_2$  به‌طور کامل  $s_i$  را می‌پوشانند و در نتیجه  $s_i$  توسط  $p$  دیده نمی‌شود. بنابراین اگر  $p$  در وجه بیرونی  $G(p)$  باشد، تعداد پاره‌خط‌هایی که توسط  $p$  دیده نمی‌شوند مساوی

$$1 - F(G(p)) \text{ و در غیراین صورت مساوی } 2 - F(G(p)) \text{ است.} \blacksquare$$



شکل ۲.۳:  $s_i$  توسط  $p$  دیده نمی‌شود و می‌تواند به ۵ قسمت  $\overline{q_1 q_2}, \overline{q_2 q_3}, \overline{q_3 q_4}, \overline{q_4 q_5}$  تقسیم شود طوری که هر بخش با پاره‌خط‌هایی از  $s'_1, s'_2, s'_3, s'_4, s'_5$  پوشیده شده‌اند.

از فرمول اویلر برای محاسبه‌ی  $F(G(p))$  استفاده می‌کنیم. واضح است که  $V(G(p))$  مساوی  $n$  است. برای هر نقطه‌ی انتهایی که توسط  $p$  دید نمی‌شود یک یال به  $G(p)$  اضافه می‌کنیم. بنابراین  $E(G(p))$  مساوی  $2n - ve_p$  خواهد بود (برای یاد آوری اشاره می‌کنیم که  $ve_p$  تعداد نقاط انتهایی دیدپذیر است). فرمول اویلر و قضیه‌ی ۲.۳ لم زیر را نتیجه می‌دهد.

**لم ۳.۳** اگر  $p$  داخل یک وجه درونی  $G(p)$  باشد در این صورت  $1 + C(G(p)) - ve_p = m_p$  و در غیراین صورت  $m_p = ve_p - C(G(p))$ .

در ادامه‌ی این فصل ۲ الگوریتم یکی برای تقریب مقدار  $ve_p$  و دیگری برای تقریب  $C(G(p))$  بیان می‌کنیم و یک مقدار تقریبی از  $m_p$  را محاسبه می‌کنیم. نتیجه‌ی اصلی این بخش را در قضیه‌ی زیر بیان و در پایان فصل این قضیه را ثابت می‌کنیم.

**قضیه ۴.۳** الگوریتمی وجود دارد که به ازای هر  $0 < \delta \leq 1$  و  $0 \leq \beta \leq \frac{1}{2}$  مسأله‌ی شمارش را در زمان مورد انتظار پرس‌وجوی  $O(\frac{1}{\delta^{\frac{1}{2}}} m^{\beta/2} \log m)$ ، با استفاده از زمان پیش‌پردازش  $O(m^{2-3\beta/2} \log m)$  و حافظه‌ی مورد انتظار  $O(m^{2-3\beta/2})$  به‌طور تقریبی حل می‌کند. این الگوریتم مقدار  $m'_p$  را به عنوان خروجی برمی‌گرداند به طوری که اگر  $m_p \geq \frac{1}{\delta^{\frac{1}{2}}} m^{\beta/2} \log m$ ، با احتمال حداقل  $1 - \frac{1}{\log m}$  خواهیم داشت:  $m_p \leq m'_p \leq (1 + \delta)m_p$  و در صورتی که  $m_p < \frac{1}{\delta^{\frac{1}{2}}} m^{\beta/2} \log m$ ، مقدار دقیق  $m_p$  برگردانده می‌شود.



## ۲.۳ الگوریتم تقریبی برای محاسبه‌ی تعداد نقاط انتهایی دیدپذیر

در این بخش الگوریتمی برای به دست آوردن مقدار تقریبی  $ve_p$  ارائه می‌دهیم. در زمان پیش‌پردازش داده‌ساختار الگوریتم معرفی شده در [۵۳] را می‌سازیم. این الگوریتم  $VP_S(p)$  را در زمان  $O(|VP_S(p)| \log(n/|VP_S(p)|))$  محاسبه می‌کند که  $|VP_S(p)|$  تعداد راس‌های  $VP_S(p)$  است. الگوریتم ارائه شده در [۵۳] از یک نیم‌خط شعاعی جاروب حول  $p$  استفاده می‌کند. در طی جاروب، قسمت‌هایی از پاره‌خط‌ها که توسط  $p$  دیدپذیر هستند، محاسبه می‌شوند. در زمان پیش‌پردازش، یک پارامتر ثابت  $\beta$  که  $0 \leq \beta \leq \frac{1}{2}$  انتخاب می‌کنیم. در زمان پرس‌وجو نیز یک پارامتر  $1 \geq \delta > 0$  که مقدار ضریب تقریب الگوریتم هست را تعیین می‌کنیم. ما از الگوریتم [۵۳] برای محاسبه‌ی نقاط انتهایی دیدپذیر استفاده می‌کنیم. اگر خط جاروب قبل از شمارش  $VP_S(p)$  از نقاط انتهایی دیدپذیر به‌طور کامل حول  $p$  جاروب شود در این صورت  $VP_S(p)$  به‌طور کامل محاسبه شده‌است و خواهیم داشت  $|VP_S(p)| \leq \frac{1}{\delta} m^{\beta/2} \log m$ . در این حالت تعداد دقیق پاره‌خط‌های دیدپذیر را می‌توانیم در زمان  $O(\frac{1}{\delta} m^{\beta/2} \log m)$  محاسبه کنیم. در غیر این صورت  $ve_p > \frac{1}{\delta} m^{\beta/2} \log m$  و جواب در مرحله‌ی بعدی الگوریتم به دست می‌آید که در ادامه توضیح می‌دهیم. منطقه‌ی دیدپذیر یک نقطه‌ی انتهایی  $a$  به‌صورت ستاره‌ای، شامل  $m_a = O(n)$  مثلث دوه‌دو نامتقاطع است که مثلث‌های دید  $a$  نامیده و با  $VT_S(a)$  نشان داده می‌شوند. توجه کنید  $m_a$  تعداد یال‌های  $EVG(S)$  است که مجاور  $a$  هستند. نقطه‌ی پرس‌وجوی  $p$  توسط یک نقطه‌ی انتهایی  $a$  دیده می‌شود اگر و فقط اگر داخل یکی از مثلث‌های دید  $a$  قرار گیرد. فرض کنید  $VT_S$  مجموعه‌ی مثلث‌های دید تمامی نقاط انتهایی باشد. در این صورت تعداد نقاط انتهایی دیدپذیر مساوی تعداد مثلث‌هایی در  $VT_S$  خواهد بود که شامل  $p$  هستند. با استفاده از  $EVG(S)$  می‌توانیم  $VT_S$  را در زمان  $O(m \log m) = O(n^2 \log n)$  به دست آوریم و داریم  $|VT_S| = O(m) = O(n^2)$ . [۲۵].

**لم ۵.۳** فرض کنید  $\Delta$  مجموعه‌ای از  $n$  مثلث باشد. داده‌ساختاری با اندازه‌ی  $O(n^2)$  وجود دارد که با زمان پیش‌پردازش  $O(n^2 \log n)$  تعداد مثلث‌های شامل نقطه‌ی پرس‌وجوی  $p$  را در زمان  $O(\log n)$  بدست می‌آورد.

### ۱.۲.۳ الگوریتم

در این بخش الگوریتم محاسبه‌ی تقریبی  $ve_p$  را در حالتی که در قسمت قبل به جواب نرسیدیم، بیان می‌کنیم. در این حالت داریم  $m_p > \frac{1}{\delta} m^{\beta/2} \log m$ . در زمان پیش‌پردازش زیرمجموعه‌ی تصادفی

می‌شوند.  $RVT_1 \subset VT_S$  را انتخاب می‌کنیم به طوری که هر کدام از اعضای  $VT_S$  با احتمال  $\frac{1}{m^\beta}$  انتخاب

$$\text{لم ۶.۳} \quad E(|RVT_1|) = O(m^{1-\beta})$$

**اثبات.** فرض کنید  $VT_S = \{\Delta_1, \Delta_2, \dots, \Delta_{m'}\}$  که  $m' = O(m) = O(n^2)$  و  $X_i = 1$  اگر  $\Delta_i \in RVT_1$  و در غیراین صورت  $X_i = 0$ . خواهیم داشت:

$$E(|RVT_1|) = E(\sum_{i=1}^{m'} X_i) = \sum_{i=1}^{m'} E(X_i) = \sum_{i=1}^{m'} \frac{1}{m^\beta} = \frac{m'}{m^\beta} = O(m^{1-\beta}).$$

■

در زمان پیش‌پردازش تعداد  $m^{\beta/2}$  زیرمجموعه‌ی تصادفی  $RVT_1, \dots, RVT_{m^{\beta/2}}$  از  $VT_S$  را انتخاب می‌کنیم. با استفاده از لم ۵.۳، برای هر نقطه‌ی پرس‌وجوی داده شده‌ی  $p$ ، تعداد مثلث‌های شامل  $p$  در هر  $RVT_i$  که با  $(ve_p)_i$  نشان داده می‌شود در زمان پرس‌وجوی  $O(\log m)$  با زمان پیش‌پردازش  $O(m^{2-2\beta} \log m)$  و حافظه‌ی  $O(m^{2-2\beta})$  محاسبه می‌شود. سپس مقدار  $ve'_p = m^\beta \frac{\sum_{i=1}^{m^{\beta/2}} (ve_p)_i}{m^{\beta/2}}$  به‌عنوان مقدار تقریبی  $ve_p$  برگردانده می‌شود.

### ۲.۲.۳ تحلیل ضریب تقریب

در این بخش ضریب تقریب الگوریتم را محاسبه می‌کنیم. قرار دهید  $X_i = m^\beta (ve_p)_i$ ، در این صورت لم زیر را خواهیم داشت.

$$\text{لم ۷.۳} \quad E(X_i) = ve_p$$

**اثبات.** فرض کنید  $VT(p) = \{\Delta'_1, \Delta'_2, \dots, \Delta'_{ve_p}\} \subset VT_S$  مجموعه‌ی مثلث‌هایی باشد که شامل  $p$  هستند. قرار دهید  $1$  اگر  $\Delta'_j \in RVT_i$  و در غیراین صورت  $0$ . بنابراین  $(ve_p)_i = \sum_{j=1}^{ve_p} Y_j$  و  $E((ve_p)_i) = E(\sum_{j=1}^{ve_p} Y_j) = \frac{ve_p}{m^\beta}$

$$E(X_i) = E(m^\beta (ve_p)_i) = m^\beta E((ve_p)_i) = m^\beta \frac{ve_p}{m^\beta} = ve_p.$$

■

همچنین لم زیر نیز نتیجه می‌شود.

$$\text{لم ۸.۳} \quad E\left(\frac{\sum_{i=1}^{m^{\beta/2}} X_i}{m^{\beta/2}}\right) = ve_p$$

بنابراین  $X_1, X_2, \dots, X_{m^{\beta/2}}$  متغیرهای تصادفی هستند که  $E(X_i) = ve_p$ . طبق لم چبیشف<sup>۱</sup> داریم:

**لم ۹.۳** فرض کنید که  $X_1, X_2, \dots, X_n$  یک سری از متغیرهای تصادفی مستقل با توزیع یکسان و با امید ریاضی متناهی  $\mu = E(X_1) = E(X_2) = \dots$  باشند، در این صورت خواهیم داشت:

$$P\left(\left|\frac{X_1 + \dots + X_n}{n} - \mu\right| > \varepsilon\right) \leq \frac{\text{Var}(X)}{n\varepsilon^2}.$$

**لم ۱۰.۳** با احتمال حداقل  $1 - \frac{1}{\log m}$  داریم:

$$(1 - \delta)ve_p \leq ve'_p \leq (1 + \delta)ve_p.$$

**اثبات.** با استفاده از لم ۹.۳، قرار می‌دهیم  $\varepsilon_1 = \delta ve_p$ . در این جا  $\delta$  مقدار ضریب تقریب الگوریتم را تعیین می‌کند. واضح است که  $\frac{1}{m^\beta} = \frac{1}{m^\beta} (1 - \frac{1}{m^\beta}) \frac{1}{m^\beta}$ . پس خواهیم داشت:

$$\mathbb{P} = P(|ve'_p - ve_p| > \delta ve_p) \leq \frac{m^\beta ve_p}{m^{\beta/2} \delta^2 (ve_p)^2}.$$

می‌دانیم که  $ve_p \geq \frac{1}{\delta^2} m^{\beta/2} \log m$  پس

$$\mathbb{P} = P(|ve'_p - ve_p| > \delta ve_p) \leq \frac{\delta}{\log m} \leq \frac{1}{\log m}.$$

با احتمال حداقل  $1 - \mathbb{P}$  داریم:

$$(1 - \delta)ve_p \leq ve'_p \leq (1 + \delta)ve_p.$$

■ همچنین برای مقادیر  $m$  به اندازه‌ی کافی بزرگ، خواهیم داشت:  $\mathbb{P} \sim 0$ .

### ۳.۲.۳ تحلیل زمان و حافظه

در مرحله‌ی اول پرس‌وجو، الگوریتم [۵۳] را اجرا می‌کنیم. زمان پیش‌پردازش و حافظه‌ی مورد استفاده در این الگوریتم  $O(m \log m)$  و  $O(m)$  هستند. که برای یک نقطه‌ی پرس‌وجوی  $p$ ،  $VP_S(p)$  را در زمان  $O(|VP_S(p)| \log(n/|VP_S(p)|))$  محاسبه می‌کند. از آنجایی که ما این الگوریتم را حداکثر به تعداد  $\frac{1}{\delta^2} m^{\beta/2} \log m$  مرحله اجرا می‌کنیم، زمان پرس‌وجوی مرحله‌ی اول  $O(\frac{1}{\delta^2} m^{\beta/2} \log m)$  خواهد بود.

<sup>۱</sup>Chebyshev

طبق لم ۶.۳،  $E(|RVT_i|) = O(m^{1-\beta})$ ، با استفاده از لم ۵.۳ امید ریاضی زمان پیش‌پردازش و حافظه برای هر  $RVT_i$  مساوی  $O(m^{2-2\beta} \log m)$  و  $O(m^{2-2\beta})$  خواهد بود به طوری که در زمان  $O(\log m)$  می‌توانیم  $(ve_p)_i$  را محاسبه کنیم. بنابراین امید ریاضی زمان و حافظه‌ی مورد نیاز مساوی  $m^{\beta/2} O(m^{2-2\beta}) = O(m^{2-\frac{3}{2}\beta})$  و  $m^{\beta/2} O(m^{2-2\beta} \log m) = O(m^{2-\frac{3}{2}\beta} \log m)$  در مرحله‌ی دوم الگوریتم برای هر  $RVT_i$  مقدار  $(ve_p)_i$  در زمان  $O(\log m)$  محاسبه می‌شود. بنابراین زمان پرس‌وجو مساوی  $O(m^{\beta/2} \log m) + O(\frac{1}{\delta} m^{\beta/2} \log m)$  خواهد بود و لم زیر نتیجه می‌شود.

**لم ۱۱.۳** الگوریتمی وجود دارد که برای هر نقطه‌ی پرس‌وجوی  $p$ ، مقدار  $ve_p$  را در زمان پرس‌وجوی  $O(\frac{1}{\delta} m^{\beta/2} \log m)$  تقریب می‌زند. امید ریاضی زمان پیش‌پردازش و حافظه‌ی این الگوریتم به ترتیب  $O(m^{2-3\beta/2})$  و  $O(m^{2-3\beta/2} \log m)$  است و داریم  $(\frac{1}{4} \leq \beta \leq \frac{1}{2})$ . این الگوریتم در حالتی که  $ve_p < \frac{1}{\delta} m^{\beta/2} \log m$  مقدار دقیق  $ve_p$  را برمی‌گرداند و در غیر این صورت مقدار  $ve'_p$  را برمی‌گرداند به طوری که با احتمال حداقل  $1 - \frac{1}{\log m}$  داریم  $(1 + \delta)ve_p \leq ve'_p \leq (1 - \delta)ve_p$ .

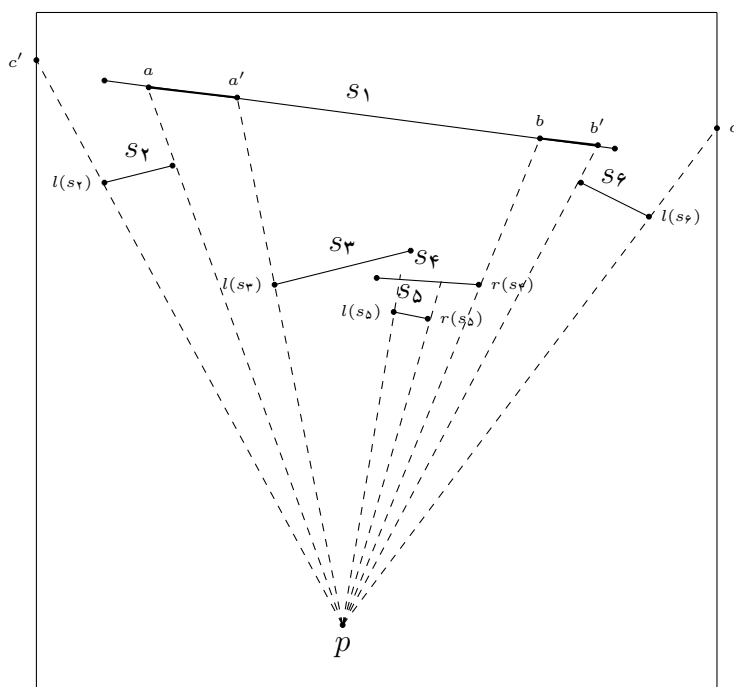
## ۳.۲ الگوریتم تقریبی برای محاسبه‌ی تعداد مولفه‌های همبندی

### $G(p)$ و اثبات قضیه‌ی ۴.۳

در این بخش الگوریتمی برای محاسبه‌ی تعداد مولفه‌های همبندی  $G(p)$  ارائه می‌کنیم. فرض کنید  $c$  یک مولفه باشد که  $p$  داخل هیچ‌کدام از وجه‌های آن قرار ندارد. به راحتی می‌توان دید که شعاعی وجود دارد که از  $p$  ساطع می‌شود و هیچ‌کدام از پاره‌خط‌های متناظر با راس‌های  $c$  را قطع نمی‌کند. شروع به جاروب این شعاع در جهت ساعتگرد می‌کنیم. فرض کنید  $l(c)$  (نقطه انتهایی سمت چپ  $c$ ) اولین نقطه انتهایی از پاره‌خطی از  $c$  باشد که توسط این شعاع قطع می‌شود و  $r(c)$  (نقطه انتهایی راست  $c$ ) آخرین نقطه انتهایی باشد (شکل ۳.۳). همان طوری که قبلاً هم گفته شد مربع شامل همه‌ی پاره‌خط‌ها،  $B$ ، بخشی از  $G(p)$  نیست ولی  $G(p)$  داخل آن قرار دارد.

**لم ۱۲.۳** برای هر مولفه‌ی  $c$  به جز مولفه‌ای که شامل  $p$  است تصویر  $l(c)$  و  $r(c)$  یا هر دو به یک پاره‌خط تعلق دارند و یا هر دو متعلق به  $B$  هستند.

**اثبات.** فرض کنید که  $pr(l(c))$  متعلق به پاره‌خط  $s \in S$  باشد. از آنجایی که  $l(s)$  سمت چپ  $l(c)$  قرار دارد،  $s$  نمی‌تواند بین پاره‌خط‌های متعلق به  $c$  باشد. ادعا می‌کنیم که  $r(s)$  سمت راست  $r(c)$  است. واضح است که اگر این ادعا درست باشد در این صورت اگر  $s' \in pr(r(c))$ ،  $l(s')$  سمت چپ



شکل ۳.۳:  $aa'$  و  $bb'$  بخش‌های دیدپذیر از پاره‌خط  $s_1$  هستند.  $B$  نیز یک بخش دیدپذیر از  $c$  تا  $c'$  دارد.  $G(p)$  دارای ۳ مولفه‌ی  $\{s_1, s_2, s_6\}$ ،  $\{s_3, s_4\}$  و  $\{s_5\}$  است.  $l(s_2)$ ،  $l(s_3)$  و  $l(s_5)$  به ترتیب نقاط انتهایی چپ این پاره‌خط‌ها و  $r(s_4)$ ،  $r(s_5)$  و  $r(s_6)$  هم به ترتیب نقاط انتهایی سمت راست این پاره‌خط‌ها هستند.

$l(c)$  خواهد بود. اگر  $s \neq s'$  این دو پاره‌خط باید همدیگر را قطع کنند که امکان‌پذیر نیست. همچنین این نتیجه می‌دهد که اگر  $pr(l(c))$  بر روی  $B$  باشد  $pr(r(c))$  نیز باید بر روی  $B$  قرار گیرد. اثبات ادعا با برهان خلف خواهد بود. فرض کنید که  $r(s)$  سمت چپ  $r(c)$  باشد. از آنجایی که  $r(s)$  توسط  $p$  دیدپذیر نیست در این صورت باید پاره‌خطی مثل  $s'$  وجود داشته باشد که  $r(s)$  را می‌پوشاند. از آنجایی که  $s$  در  $c$  قرار ندارد و  $s'$  و  $s$  نیز به هم وصلند،  $s'$  نمی‌تواند در  $c$  باشد. بنابراین  $l(s')$  سمت راست  $l(c)$  قرار دارد و دیدپذیر نیست. پس باید پاره‌خط  $s''$  وجود داشته باشد که  $l(c)$  را بپوشاند. به‌طور مشابه  $s''$  نیز نمی‌تواند در  $c$  باشد و  $l(s'')$  باید توسط پاره‌خط دیگری پوشش داده شود. این فرایند نمی‌تواند به‌طور نامحدود ادامه پیدا کند (چون تعداد پاره‌خط‌ها محدود است) و بنابراین به تناقض می‌رسیم. ■

فرض کنید  $s'_1, s'_2, s'_3$  و  $s'_4$  ضلع‌های تشکیل دهنده‌ی  $B$  هستند. طبق لم ۱۲.۳ می‌توانیم برای هر مولفه هم‌بندی  $G(p)$  یک جفت از بخش‌های دیدپذیر مجاور یک پاره‌خط و یا یک بخش دیدپذیر از  $B$  را نسبت دهیم. برای مثال در شکل ۳.۳،  $s_1$  دارای ۲ بخش دیدپذیر است که به مولفه‌ای نسبت داده شده‌است که از  $s_3$  و  $s_4$  تشکیل شده‌است. اگر بتوانیم تعداد بخش‌های دیدپذیر هر پاره‌خط و تعداد بخش‌های دیدپذیر  $B$  را به‌دست آوریم، در این صورت می‌توانیم مقدار دقیق  $C(G(p))$  را

محاسبه کنیم. چون هر جفت مجاور از بخش‌های دیدپذیر هر پاره‌خط و هر بخش دیدپذیر  $B$  به یک مولفه نسبت داده می‌شود. فرض کنید  $c'$  تعداد بخش‌های دیدپذیر مربع شامل همه‌ی پاره‌خط‌ها باشد. اگر  $c' > 0$ ، در این صورت  $p$  در وجه بیرونی قرار دارد و بنابراین اگر هر پاره‌خط  $c_i$ ،  $s_i$  بخش دیدپذیر داشته باشد در این صورت  $C(G(p)) = c' + \sum_{i=1}^n \max\{(c_i - 1), 0\}$  خواهد بود. برای مثال در شکل ۳.۳ داریم:  $c_1 = 2$ ،  $c_2 = 1$ ،  $c_3 = 1$ ،  $c_4 = 2$ ،  $c_5 = 1$  و  $c_6 = 1$  و همچنین  $c' = 1$  که نتیجه می‌دهد  $C(G(p)) = 3$ . اگر  $c' = 0$  در این صورت  $p$  داخل یک وجه درونی است و این وجه در مولفه‌ای قرار دارد که نقطه انتهایی چپ و راست ندارد و بنابراین در این حالت داریم  $C(G(p)) = 1 + \sum_{i=1}^n \max\{(c_i - 1), 0\}$ .

در ادامه الگوریتمی برای تقریب تعداد بخش‌های دیدپذیر هر پاره‌خط  $s_i \in S \cup \{s'_1, s'_2, s'_3, s'_4\}$  ارائه می‌دهیم.

### ۱.۳.۳ الگوریتم

طبق [۲۵]، منطقه دیدپذیر توسط هر پاره‌خط  $s_i \in S \cup \{s'_1, s'_2, s'_3, s'_4\}$  را می‌توانیم توسط  $O(m_{s_i})$  مثلث که با  $VT(s_i)$  نشان داده می‌شوند پوشش دهیم. در این جا  $|VT(s_i)| = O(m_{s_i})$  که  $m_{s_i}$  تعداد یال‌های  $EVG(S)$  است که مجاور با  $s_i$  هستند. توجه کنید که مثلث‌های دید  $s_i$  ممکن است همدیگر را قطع کنند. اگر مثلث‌های دید تمامی پاره‌خط‌ها را در نظر بگیریم در این صورت مجموعه‌ی  $VT_S = \{\Delta_1, \Delta_2, \dots\}$  از  $|VT_S| = O(m)$  مثلث خواهیم داشت.

می‌گوییم  $\Delta_i$  مرتبط با  $s_j$  است اگر و فقط اگر  $\Delta_i \in VT(s_j)$ . برای یک نقطه‌ی پرس‌وجوی داده‌شده‌ی  $p$ ،  $m_p''$ ، تعداد مثلث‌های  $VT_S$  که شامل  $p$  هستند بین  $m_p$  و  $2m_p$  قرار دارد و بنابراین  $m_p''$  یک جواب با ضریب تقریب ۲ برای مسأله‌ی شمارش به‌دست می‌دهد [۳۵]. از آنجایی که مثلث‌های دید یک پاره‌خط ممکن است همدیگر را قطع کنند، تعدادی از پاره‌خط‌ها چندین بار شمرده می‌شوند. در [۳۵] نشان داده‌شده‌است که هر پاره‌خط  $s_i$ ،  $c_i$  مرتبه شمرده می‌شود که  $c_i$  تعداد بخش‌های دیدپذیر  $s_i$  است. به عبارت دیگر  $c_i$  مثلث مرتبط با  $s_i$  در  $VT_S$  وجود دارند که شامل  $p$  هستند. روشی مشابه بخش قبل برای تقریب  $C(G(p))$  استفاده می‌کنیم. یک زیر مجموعه‌ی تصادفی  $RVT_1 \subset VT_S$  انتخاب می‌کنیم. به طوری که هر عضو  $VT_S$  با احتمال  $\frac{1}{m^\beta}$  انتخاب می‌شود. برای یک نقطه‌ی پرس‌وجوی داده شده فرض کنید  $c'_{i,1} \geq 1$  تعداد مثلث‌های متناظر با  $s_i$  در  $RVT_1$  باشد که شامل  $p$  هستند. مقدار  $C_1 = \sum_{i=1}^n (m^\beta c'_{i,1} - 1)$  را به عنوان مقدار تقریبی  $C(G(p))$  به‌دست آمده از  $RVT_1$  گزارش می‌کنیم. تعداد  $m^{\beta/2}$  زیرمجموعه‌ی تصادفی  $RVT_1, \dots, RVT_{m^{\beta/2}}$  از  $VT_S$  را انتخاب

می‌کنیم. فرض کنید  $p$  نقطه‌ی پرس و جوی داده شده باشد. برای هر  $RVT_j$ ،  $C_j = \sum_{i=1}^n (m^\beta c'_{i,j} - 1)$  را محاسبه می‌کنیم. در پایان  $C'_p = \frac{\sum_{j=1}^{m^{\beta/2}} C_j}{m^{\beta/2}}$  به‌عنوان مقدار تقریبی  $C(G(p))$  گزارش می‌شود.

### ۲.۳.۳ تحلیل ضریب تقریب

نشان می‌دهیم که اگر  $C(G(p)) > \frac{1}{\delta^2} m^{\beta/2} \log m$  با احتمال حداقل  $\frac{1}{\log m}$ ،  $C'_p$  یک مقدار تقریبی از  $C(G(p))$  با ضریب تقریب  $(1 + \delta)$  است.

$$\text{لم ۱۳.۳.} \quad E(C_j) = C(G(p))$$

$$\text{اثبات.} \quad E(C_j) = E(\sum_{i=1}^n m^\beta c'_{i,j} - 1) = \sum_{i=1}^n E(m^\beta c'_{i,j} - 1) =$$

$$\sum_{i=1}^n c_i - 1 = C(G(p)).$$

با استفاده از لم ۹.۳ خواهیم داشت:

$$\mathbb{P} = P\left(\left|\frac{C_1 + \dots + C_{m^{\beta/2}}}{m^{\beta/2}} - C(G(p))\right| > \delta C(G(p))\right) \leq \frac{\text{Var}(C_i)}{m^{\beta/2} \delta^2 C(G(p))^2}.$$

بنابراین  $C(G(p)) > \frac{1}{\delta^2} m^{\beta/2} \log m$  که از آنجایی  $\text{Var}(C_i) = m^{2\beta} C(G(p)) \left(\frac{1}{m^\beta}\right) \left(1 - \frac{1}{m^\beta}\right)$

$$\mathbb{P} = P\left(\left|\frac{C_1 + \dots + C_{m^{\beta/2}}}{m^{\beta/2}} - C(G(p))\right| > \delta C(G(p))\right) \leq \frac{1}{\log m}.$$

پس با احتمال حداقل  $1 - \mathbb{P}$  داریم:

$$(1 - \delta)C(G(p)) \leq C'_p \leq (1 + \delta)C(G(p)).$$

و برای مقادیر بزرگ  $m$  داریم:  $\mathbb{P} \sim 0$ .

### ۳.۳.۳ تحلیل زمان و حافظه‌ی مورد نیاز

با استفاده از لم ۵.۳ برای هر  $RVT_i$  داده‌ساختاری با زمان پیش‌پردازش و حافظه‌ی مورد انتظار  $O(m^{2-2\beta} \log m)$  و  $O(m^{2-2\beta})$  نیاز داریم. مقدار  $C_i$  را در زمان  $O(\log m)$  برای هر نقطه‌ی پرس و جوی  $p$  برمی‌گرداند. بنابر این امید ریاضی حافظه‌ی مورد نیاز برای تمامی  $m^{\beta/2}$  داده‌ساختار مساوی  $O(m^{2-2\beta+\beta/2} \log m)$  و امید ریاضی زمان پرس و جوی محاسبه‌ی  $C'_p$  مساوی  $O(m^{\beta/2} \log m)$  می‌شود. از این رو داریم:

لم ۱۴.۳  $C(G(p))$  را می‌توانیم در زمان  $O(\frac{1}{\delta^{\beta/2}} m^{\beta/2} \log m)$  تقریب بزنیم. امید ریاضی زمان پیش‌پردازش و حافظه‌ی مورد نیاز مساوی  $O(m^{2-3\beta/2})$  و  $O(m^{2-3\beta/2})$  خواهد بود. برای هر نقطه‌ی پرس‌وجوی  $p$ ، وقتی  $C(G(p)) > \frac{1}{\delta^{\beta/2}} m^{\beta/2} \log m$  این الگوریتم مقدار  $C'_p$  را با احتمال حداقل  $1 - \frac{1}{\log m}$  طوری برمی‌گرداند که  $(1 - \delta)C(G(p)) \leq C'_p \leq (1 + \delta)C(G(p))$ .

### ۴.۳.۳ اثبات قضیه ۴.۳

فرض کنید که داده‌ساختارهای [۵۳] و الگوریتم‌های لم‌های ۱۱.۳ و ۱۴.۳ را داریم. برای نقطه‌ی پرس‌وجوی  $p$ ، در ابتدا الگوریتم [۵۳] را  $\frac{1}{\delta^{\beta/2}} m^{\beta/2} \log m$  مرحله اجرا می‌کنیم. اگر  $VP_S(p)$  محاسبه شود در این صورت مقدار دقیق  $m_p$  در زمان  $O(\frac{1}{\delta^{\beta/2}} m^{\beta/2} \log m)$  محاسبه می‌شود. در غیر این صورت مقدار  $ve'_p$  و  $C'_p$  را در زمان  $O(\frac{1}{\delta^{\beta/2}} m^{\beta/2} \log m)$  محاسبه می‌کنیم در مرحله دوم خواهیم داشت  $m_p > \frac{1}{\delta^{\beta/2}} m^{\beta/2} \log m$ . از آنجایی که  $m_p \leq ve_p$  خواهیم داشت:  $ve_p > \frac{1}{\delta^{\beta/2}} m^{\beta/2} \log m$ . لم ۱۱.۳ نیز نتیجه می‌دهد:  $|ve'_p - ve_p| \leq \delta ve_p$ .

حال نشان می‌دهیم که اگر  $C'_p < (1 + \delta) \frac{1}{\delta^{\beta/2}} m^{\beta/2} \log m$ ، در این صورت با احتمال حداقل  $1 - \frac{1}{\log m}$  داریم:  $C(G(p)) < \frac{1+\delta}{1-\delta} \frac{1}{\delta^{\beta/2}} m^{\beta/2} \log m$ . با استفاده از لم ۹.۳ داریم:

$$P(|C(G(p)) - C'_p| > \delta C(G(p))) \leq \frac{m^{\beta/2}}{\delta^{\beta} C(G(p))}$$

$$P(C(G(p)) > \frac{C'_p}{1-\delta}) \leq \frac{m^{\beta/2}}{\delta^{\beta} C(G(p))}.$$

که نتیجه می‌دهد اگر  $C(G(p)) > \frac{1}{\delta^{\beta/2}} m^{\beta/2} \log m$  در این صورت با احتمال حداکثر  $\frac{1}{\log m}$  خواهیم داشت:  $C(G(p)) > \frac{C'_p}{1-\delta}$ . پس با احتمال حداقل  $1 - \frac{1}{\log m}$  داریم:

$$C(G(p)) \leq \frac{C'_p}{1-\delta} \leq \frac{1+\delta}{1-\delta} \frac{1}{\delta^{\beta/2}} m^{\beta/2} \log m.$$

از آنجایی که  $C(G(p)) \leq m_p$  و  $m_p > \frac{1}{\delta^{\beta/2}} m^{\beta/2} \log m$ ، داریم:  $C(G(p)) \leq \frac{1+\delta}{1-\delta} \delta m_p$ . می‌دانیم که  $ve_p = m_p + C(G(p))$  و با احتمال حداقل  $1 - \frac{1}{\log m}$  داریم:  $(1 - \delta)ve_p \leq ve'_p \leq (1 + \delta)ve_p$ . پس خواهیم داشت:

$$\frac{ve'_p}{1+\delta} \leq m_p + C(G(p)) \leq m_p + \frac{1+\delta}{1-\delta} \delta m_p.$$

که نتیجه می‌دهد

$$m_p \leq \frac{ve'_p}{1-\delta} \leq \frac{(1+\delta^2)(1+\delta)}{(1-\delta)^2} m_p.$$

قرار دهید  $1 + \delta^* = \frac{(1+\delta^2)(1+\delta)}{(1-\delta)^2}$ ، پس



$$m_p \leq \frac{ve'_p}{1-\delta} \leq (1 + \delta^*)m_p.$$

بنابراین  $\frac{ve'_p}{1-\delta}$  به عنوان مقدار تقریبی  $m_p$  گزارش می‌شود.

اگر  $C'_p > (1 + \delta)\frac{1}{\delta^2}m^{\beta/2} \log m$  طبق لم ۹.۳ داریم:

$$P(|C'_p - C(G(p))| \geq \frac{1}{\delta}m^{\beta/2} \log m) \leq \frac{m^{\beta/2}C(G(p))}{\frac{1}{\delta^2}m^{\beta} \log^2 m}.$$

پس  $P(C(G(p)) < C'_p - \frac{1}{\delta}m^{\beta/2} \log m) \leq \frac{m^{\beta/2}C(G(p))}{\frac{1}{\delta^2}m^{\beta} \log^2 m}$  می‌دانیم  $C'_p > (1 + \delta)\frac{1}{\delta^2}m^{\beta/2} \log m$ .

پس اگر  $C(G(p)) \leq \frac{1}{\delta^2}m^{\beta/2} \log m$  داریم  $P(C(G(p)) < \frac{1}{\delta^2}m^{\beta/2} \log m) \leq \frac{1}{\log m}$  که نتیجه

می‌گیریم با احتمال حداقل  $1 - \frac{1}{\log m}$  داریم  $C(G(p)) > \frac{1}{\delta^2}m^{\beta/2} \log m$  پس می‌توانیم از لم ۱۴.۳ استفاده کنیم.

$$\begin{aligned} m_p = ve_p - C(G(p)) &\leq \frac{ve'_p}{1-\delta} - \frac{C'_p}{1+\delta} \\ &\leq \frac{(1+\delta)ve_p}{1-\delta} - \frac{(1-\delta)C(G(p))}{1+\delta} \\ &\leq ve_p - C(G(p)) + \frac{2(\delta)ve_p}{1-\delta} + \frac{2\delta C(G(p))}{1+\delta}. \end{aligned}$$

می‌دانیم  $C(G(p)) \leq m_p$  و همچنین  $m_p \leq ve_p$  پس

$$\begin{aligned} &\leq m_p + \frac{2\delta m_p}{1-\delta} + \frac{\delta m_p}{1+\delta} \\ &\leq (1 + \frac{2\delta}{1-\delta} + \frac{\delta}{1+\delta})m_p. \end{aligned}$$

قرار دهید  $\delta^* = \frac{2\delta}{1-\delta} + \frac{\delta}{1+\delta}$ ، بنابراین

$$m_p \leq \frac{ve'_p}{1-\delta} - \frac{C'_p}{1+\delta} \leq (1 + \delta^*)m_p.$$

و  $\frac{ve'_p}{1-\delta} - \frac{C'_p}{1+\delta}$  به عنوان مقدار تقریبی  $m_p$  گزارش می‌شود. توجه کنید در صورتی که  $\delta$  به اندازه‌ی کافی

کوچک انتخاب شود می‌توان  $\delta^*$  را به میزان دلخواه کوچک کرد.

زمان پرس‌وجوی الگوریتم ما  $O(\frac{1}{\delta^2}m^{\beta/2} \log m)$  است که ارتباط  $\delta^*$  و  $\delta$  به این صورت است که

وقتی  $\delta$  از یک مقدار ثابت  $C$  کمتر باشد  $\delta^*$  حداکثر به اندازه‌ی یک ضریب ثابت خطی از  $\delta$  خواهد

بود و بنابراین زمان پرس‌وجو را می‌توان به شکل  $O(\frac{1}{\delta^2}m^{\beta/2} \log m)$  نمایش داد. برای حالت  $\delta > C$

چون  $\delta^{-3} < C^{-3}$ ، زمان پرس‌وجو به شکل  $O(m^{\beta/2} \log m)$  خواهد بود.

## ۴.۳ نتیجه‌گیری

در این فصل الگوریتم تصادفی برای تقریب مقدار جواب مسأله‌ی شمارش بیان کردیم. در این

الگوریتم به ازای هر نقطه‌ی پرس‌وجو گرافی مسطح تعریف می‌شود که تعداد وجه‌های آن گراف

معادل پاره‌خط‌های غیردیدپذیر است. با استفاده از فرمول اویلر برای گراف‌های مسطح می‌توان تعداد وجه‌ها را که وابسته با تعداد یال‌ها و راس‌ها و مولفه‌های همبندی گراف است، بدست آورد. از آنجایی که روشی قطعی برای بدست آوردن تعداد مولفه‌ها نداشتیم، روشی تصادفی برای تقریب تعداد مولفه‌ها ارائه دادیم و جواب مسأله را به‌طور تقریبی بدست آوردیم. البته ضریب تقریب و همچنین زمان اجرا و حافظه‌ی این الگوریتم در مقایسه با روش‌های پیشین را بهبود دادیم. مسأله‌ای که در آینده می‌توان بررسی کرد بدست آوردن تعداد دقیق مولفه‌های گراف بدست آمده در زمان مورد انتظار ما است.

## فصل ۴

# الگوریتم تصادفی دوم و یک الگوریتم دقیق برای مسأله‌ی شمارش

در این فصل الگوریتم تصادفی دیگری برای مسأله‌ی شمارش بیان می‌کنیم. اساس این الگوریتم نیز بر پایه‌ی نمونه‌گیری تصادفی است. بعد از بیان الگوریتم و تحلیل زمان اجرا، نتایج تجربی را که با استفاده از پیاده‌سازی الگوریتم بدست آمده است، بیان می‌کنیم. سپس الگوریتمی برای بدست آوردن مقدار دقیق  $m_p$  ارائه می‌شود. حافظه و زمان پرس و جوی این روش همانند روش ارائه شده در [۳۵] است. ولی زمان پیش‌پردازش بیشتر از [۳۵] است. توجه شود که در [۳۵] مقدار تقریبی  $m_p$  محاسبه می‌شود.

### ۱.۴ الگوریتم تصادفی

برای ارائه این الگوریتم ابتدا قضیه‌ی زیر را بیان می‌کنیم. اثبات این قضیه در [۱۱] آمده‌است.

**قضیه ۱.۴** با زمان پیش‌پردازش  $O(n^2)$ ، به ازای یک نقطه‌ی پرس‌وجو و یک پاره‌خط تصادفی که از بین پاره‌خط‌های مجموعه‌ی  $S$  انتخاب می‌شود می‌توان مسأله‌ی دیدپذیری را برای آن نقطه و پاره‌خط در زمان مورد انتظار  $O(\log n)$  پاسخ داد.

در ادامه با نمونه‌گیری تصادفی جواب مسأله‌ی شمارش را به طور تقریبی بدست می‌آوریم. برای بهبود زمان اجرا از قضیه‌ای که بیان کردیم استفاده می‌کنیم. مشابه فصل قبل ابتدا الگوریتم ارائه شده در [۵۳] را برای  $O_\epsilon(\sqrt{n})$  مرتبه اجرا می‌کنیم. اگر قبل از شمارش  $\sqrt{n}$  تعداد از پاره‌خط‌های دیدپذیر از

$p$ ، الگوریتم پایان یابد،  $VP_S(p)$  به طور کامل محاسبه شده است و  $|VP_S(p)| \leq \sqrt{n}$ ، پس می‌توانیم مقدار دقیق  $m_p$  را از  $VP_S(p)$  به دست آوریم. در غیر این صورت خواهیم داشت  $|VP_S(p)| > \sqrt{n}$ . در این حالت ابتدا یک زیرمجموعه‌ی تصادفی  $RS_1 \subset S$  را انتخاب می‌کنیم به طوری که هر پاره‌خط با احتمال  $\frac{1}{\sqrt{n}}$  در مجموعه‌ی  $RS_1 \subset S$  قرار می‌گیرد. سپس برای هر پاره‌خط  $s_i \in RS_1$  با استفاده از قضیه ۱.۴ بررسی می‌کنیم که آیا  $s_i$  و  $p$  در مجموعه‌ی  $S$  دیدپذیر هستند. فرض کنید  $X_1$  تعداد پاره‌خط‌های دیدپذیر از  $p$  در  $RS_1$  باشد (دیدپذیری بر اساس مجموعه‌ی  $S$  بررسی می‌شود). این الگوریتم را برای  $t$  زیرمجموعه‌ی تصادفی  $RS_i \subset S$  اجرا می‌کنیم. فرض کنید  $X_i$  تعداد پاره‌خط‌های دیدپذیر از  $p$  در  $RS_i$  باشد، مقدار  $m'_p = \frac{\sum_{i=1}^t \sqrt{n} X_i}{t}$  را به عنوان مقدار تقریبی  $m_p$  بر می‌گردانیم. با استفاده از ۹.۳ داریم:

لم ۲.۴ با احتمال نزدیک به ۱ خواهیم داشت:

$$(1 - \delta)m_p \leq \sqrt{n} \frac{X_1 + X_2 + \dots + X_t}{t} \leq (1 + \delta)m_p.$$

**اثبات.** در لم ۹.۳ قرار می‌دهیم  $\varepsilon = \delta m_p$  و  $t = \frac{1}{\delta^2}$ . واضح است که  $E(\sqrt{n}X_i) = m_p$  و  $Var(\sqrt{n}X_i) = n(m_p)(1 - \frac{1}{\sqrt{n}})\frac{1}{\sqrt{n}}$  بنابراین داریم:

$$\mathbb{P} = P(|\sqrt{n} \frac{X_1 + X_2 + \dots + X_t}{t} - m_p| > \delta m_p) \leq \frac{\sqrt{nm_p}}{m_p^2}.$$

از آنجایی که  $m_p > O_\varepsilon(\sqrt{n})$ ، بنابراین  $\mathbb{P} \sim 0$  که نتیجه می‌دهد با احتمال حداقل  $1 - \mathbb{P}$  خواهیم داشت:

$$(1 - \delta)m_p \leq m'_p \leq (1 + \delta)m_p.$$

■

## ۲.۴ تحلیل

در مرحله‌ی اول، الگوریتم ارائه شده در [۵۳] را برای  $O_\varepsilon(\sqrt{n})$  مرتبه اجرا می‌کنیم. در مرحله‌ی دوم طبق قضیه‌ی ۱.۴ در زمان مورد انتظار  $O(\log n)$  می‌توانیم برای هر پاره‌خط مسأله‌ی دیدپذیری را پاسخ دهیم. از آنجایی که  $O(\sqrt{n})$  پاره‌خط برای هر  $RS_i$  انتخاب می‌کنیم، زمان پرس‌وجو مساوی  $O(t\sqrt{n} \log n)$  خواهد بود. در نتیجه زمان پیش‌پردازش و حافظه طبق مطالب فصل قبل،  $O_\varepsilon(n^2)$  و  $O(n^2)$  خواهد بود. بنابراین لم زیر که نتیجه‌ی اصلی این فصل است، بدست می‌آید.

قضیه ۳.۴ با امید ریاضی زمان پیش‌پردازش و حافظه‌ی  $O_\epsilon(n^2)$  و  $O(n^2)$  می‌توان مسأله‌ی شمارش را در زمان مورد انتظار  $O_\epsilon(\frac{1}{\delta^2}\sqrt{n})$  پاسخ داد. این الگوریتم در صورتی که  $m_p < \sqrt{n}$  باشد مقدار دقیق جواب مسأله را بدست می‌آورد و در غیر این صورت  $m'_p$  را بر می‌گرداند به طوری که با احتمال نزدیک به ۱ خواهیم داشت:

$$(1 - \delta)m_p \leq m'_p \leq (1 + \delta)m_p.$$

### ۳.۴ نتایج تجربی

برای بررسی زمان اجرا، الگوریتم ارائه شده را پیاده‌سازی کرده‌ایم. در این بخش نتایج تجربی به دست آمده را بیان می‌کنیم. در ابتدا برای مسأله‌ی دیدپذیری میانگین زمان پرس‌وجو را برای تعداد پاره‌خط‌های متفاوت و نقاط پرس‌وجوی متفاوت به دست آورده‌ایم. طبق قضیه‌ی ۱.۴ امید ریاضی زمان اجرا به ازای هر نقطه ثابت و یک پاره‌خط تصادفی انتخاب شده مساوی  $O(\log n)$  است. نتایج تجربی نیز این قضیه را تایید می‌کنند. همچنین برای مسأله‌ی شمارش به ازای مقادیر مختلف  $n$ ،  $\delta$  و نقاط پرس و جوی تصادفی انتخاب شده، مقدار دقیق تعداد پاره‌خط‌های دیدپذیر و همچنین جواب به دست آمده از الگوریتم را محاسبه کرده‌ایم. نتایج در جدول ۱.۴ نشان داده شده‌اند. نتایج به دست آمده نشان می‌دهند که برای حالت  $m_p > \sqrt{n}$  جواب به دست آمده با الگوریتم ما نتایج قضیه ۱.۴ را تایید می‌کند.

$m'_p$	$m_p$	$t = \frac{1}{\delta^2}$	$\delta$	$n$
۵۷۰۰	۵۹۷۱	۱	۱	۱۰۰۰۰
۳۲۰۰	۲۹۸۵	۱	۱	۱۰۰۰۰
۶۲۰۰	۷۰۲۱	۱	۱	۱۰۰۰۰
۳۹۰۰	۳۹۷۳	۱	۱	۱۰۰۰۰
۵۷۰۰	۴۹۶۴	۴	۰,۵	۱۰۰۰۰
۴۶۰۰	۵۰۲۹	۴	۰,۵	۱۰۰۰۰
۴۴۰۰	۴۹۸۶	۴	۰,۵	۱۰۰۰۰
۶۱۵۰	۵۰۷۱	۴	۰,۵	۱۰۰۰۰
۴۶۷۵	۴۹۹۸	۱۶	۰,۲۵	۱۰۰۰۰
۴۲۶۹۰	۳۹۶۴۱	۱	۱	۱۰۰۰۰۰
۷۰۲۰۲	۸۰۰۷۰	۱	۱	۱۰۰۰۰۰
۱۷۳۹۲	۱۹۸۵۹	۱	۱	۱۰۰۰۰۰
۴۸۳۸۲	۵۰۰۲۱	۱	۱	۱۰۰۰۰۰
۵۱۰۷۰	۴۹۸۸۲	۴	۰,۵	۱۰۰۰۰۰
۵۰۷۵۴	۴۹۹۴۰	۴	۰,۵	۱۰۰۰۰۰
۵۶۶۰۴	۵۰۰۰۱	۴	۰,۵	۱۰۰۰۰۰
۴۶۱۶۹	۴۹۹۹۰	۴	۰,۵	۱۰۰۰۰۰
۴۹۶۴۷	۴۹۹۷۷	۱۶	۰,۲۵	۱۰۰۰۰۰
۴۰۹۰۰۰	۳۹۹۴۳۹	۱	۱	۱۰۰۰۰۰۰
۵۷۲۰۰۰	۶۰۰۴۷۵	۱	۱	۱۰۰۰۰۰۰
۷۱۲۰۰۰	۶۹۹۵۶۶	۱	۱	۱۰۰۰۰۰۰
۹۰۱۰۰۰	۹۰۰۴۱۸	۱	۱	۱۰۰۰۰۰۰
۵۰۹۰۰۰	۴۹۹۶۳۲	۴	۰,۵	۱۰۰۰۰۰۰
۴۹۱۰۰۰	۴۹۹۸۳۳	۴	۰,۵	۱۰۰۰۰۰۰
۴۹۹۰۰۰	۴۹۹۴۴۴	۴	۰,۵	۱۰۰۰۰۰۰
۵۰۱۵۰۰	۵۰۰۲۴۹	۴	۰,۵	۱۰۰۰۰۰۰
۵۱۲۲۵۰	۵۰۰۳۹۵	۱۶	۰,۲۵	۱۰۰۰۰۰۰

جدول ۱.۴: مقادیر  $m_p$  و  $m'_p$  برای مقادیر مختلف  $n$ ،  $\delta$  و  $t$ .

## ۴.۴ شمارش دقیق

طبق [۲۵] مناطق دیدپذیر پاره‌خط‌های مجموعه‌ی  $S$  را می‌توان با  $O(m)$  مثلث پوشاند و به ازای نقطه‌ی پرس‌وجوی داده شده  $p$ ، تعداد مثلث‌های شامل  $p$ ، جوابی با ضریب تقریب ۲ برای  $m_p$  بدست می‌دهد. اشاره شد که اگر به ازای هر پاره‌خط  $s_i$ ، مثلث‌های دید آن پاره‌خط را با رنگ  $c_i$  رنگ کنیم در این صورت تعداد مثلث‌های شامل نقطه  $p$  با رنگ‌های متمایز جواب دقیق مسأله را بدست می‌دهد. این مسأله حالت خاصی از مسأله‌ی جستجوی عمومی بازه است. حالت ساده‌تر این مسأله به این صورت بیان می‌شود که  $n$  نقطه‌ی رنگی داده شده‌اند. به ازای یک خط پرس‌وجوی داده شده، هدف بدست آوردن تعداد نقاط با رنگ‌های متمایز بالای آن خط است. زمان پیش‌پردازش و حافظه‌ی مورد نیاز این الگوریتم مشابه حالت معمولی مسأله است، ولی به زمان پرس‌وجوی مسأله مقدار  $t$  نیز اضافه می‌شود که  $t$  تعداد رنگ‌های متمایز است [۲۷]. واضح است در صورتی که  $t$  بزرگ باشد این روش کارایی ندارد. ما نیاز به الگوریتمی داریم که زمان پرس‌وجوی آن مستقل از تعداد رنگ‌ها باشد. برای این منظور الگوریتم جدیدی ارائه می‌دهیم.

## ۵.۴ الگوریتم

ناحیه‌هایی که از برخورد مثلث‌های دید به دست می‌آید را در نظر می‌گیریم. طبق مطالب فصل ۲ می‌دانیم که به ازای همه‌ی نقاط داخل یک بخش، تعداد مثلث‌های با رنگ متمایز شامل آن نقطه یکسان است. همچنین اختلاف ۲ بخش همسایه دقیقاً یک مثلث و حداکثر ۱ رنگ است. در الگوریتمی که ارائه می‌کنیم هر کدام از مثلث‌ها را با احتمال  $\frac{1}{m^\alpha}$  انتخاب می‌کنیم به طوری که  $0 \leq \alpha \leq 0.5$ . اگر ناحیه‌هایی که از برخورد مثلث‌های انتخاب شده، تشکیل شده است را در نظر بگیریم و صفحه به  $R$  ناحیه تقسیم شود، خواهیم داشت.

$$E(R) = O(m^{2-2\alpha}). \quad \text{لم ۴.۴}$$

**اثبات.** امید ریاضی تعداد پاره‌خط‌های انتخاب شده مساوی  $O(\frac{m}{m^\alpha})$  است بنابراین امید ریاضی تعداد ناحیه‌هایی که تشکیل می‌شود  $O(m^{2-2\alpha})$  است. ■

حال این  $R$  ناحیه و  $O(m)$  مثلث را در نظر بگیرید. امید ریاضی تعداد مثلث‌هایی که انتخاب نشده‌اند و یک ناحیه بخصوص از این  $R$  ناحیه را قطع می‌کنند مساوی  $O(m^\alpha)$  خواهد بود. چون با  $O(m)$  مثلث کل صفحه به  $O(m^2)$  ناحیه تقسیم می‌شود. از آنجایی که با انتخاب تصادفی مثلث‌ها

$R$  ناحیه ساخته‌ایم، بنابراین هر ناحیه از آن  $R$  ناحیه به طور متوسط شامل  $O(\frac{m^2}{R})$  تا از  $O(m^2)$  ناحیه خواهد بود. برای تشکیل  $\frac{m^2}{R}$  ناحیه نیاز به  $\frac{m}{\sqrt{R}}$  پاره‌خط داریم. پس امید ریاضی تعداد مثلث‌هایی که یک ناحیه از آن  $R$  را قطع می‌کنند مساوی  $O(m^\alpha)$  خواهد بود.

در الگوریتمی که ارائه می‌دهیم در زمان پیش‌پردازش به ازای هر ناحیه‌ی  $R_i$ ، یک نقطه‌ی دلخواه  $p_i$  از آن ناحیه انتخاب می‌کنیم. سپس جواب دقیق مسأله را برای  $p_i$  محاسبه و ذخیره می‌کنیم. در مرحله‌ی پیش‌پردازش داده‌ساختار درخت افراز را بر روی تمامی یال‌های مثلث‌ها می‌سازیم. هدف ما انجام پیش‌پردازش بر روی یال‌های مثلث‌ها است به‌طوری‌که به‌ازای یک پاره‌خط داده شده  $\overline{pp_i}$  یال‌هایی از مثلث‌ها که توسط  $\overline{pp_i}$  قطع می‌شوند را بدست آوریم.

در زمان پرس‌وجو به ازای  $p$  داده شده، ناحیه  $R_i$  شامل نقطه  $p$  را در زمان  $O(\log n)$  بدست می‌آوریم. سپس با استفاده از درخت‌افرازی که داریم تعداد پاره‌خط‌هایی که  $\overline{pp_i}$  را قطع می‌کنند بدست می‌آوریم. حافظه و زمان پیش‌پردازش درخت افراز  $O_\epsilon(k)$  و زمان پرس‌وجو از  $O(\frac{m}{\sqrt{k}} + t)$  خواهد بود. که  $t$  تعداد پاره‌خط‌هایی است که  $\overline{pp_i}$  را قطع می‌کنند، همچنین داریم  $m \leq k \leq m^2$ . مقدار  $k = R$  در نظر می‌گیریم و بنابراین زمان پرس‌وجو مساوی  $O(\frac{m}{\sqrt{R}} + t)$  خواهد بود. چون  $p_i$  و  $p$  در ناحیه  $R_i$  هستند و به طور متوسط حداکثر  $\frac{m}{\sqrt{R}}$  از مثلث‌ها  $R_i$  را قطع می‌کنند پس زمان پرس‌وجو مساوی  $O(\frac{m}{\sqrt{R}})$  خواهد بود.

جواب دقیق مسأله برای  $p_i$  در زمان پیش‌پردازش محاسبه شده‌است. تفاوت بین  $p_i$  و  $p$  توسط مثلث‌هایی که  $\overline{pp_i}$  را قطع می‌کنند مشخص می‌شود. حال پاره‌خط‌های متمایزی که پاره خط  $\overline{pp_i}$  را قطع می‌کنند بدست می‌آوریم. به ازای هر رنگ با استفاده از قضیه ۱.۴ تعیین می‌کنیم که آیا  $p_i$  و  $s_i$  و  $p$  دیدپذیر هستند یا نه. اگر  $s_i$  توسط  $p_i$  و  $p$  دیدپذیر بود و یا  $s_i$  توسط  $p_i$  و  $p$  دیدپذیر نبود کاری انجام نمی‌دهیم. اگر  $s_i$  توسط  $p$  دیدپذیر بود و توسط  $p_i$  دیدپذیر نبود به مقدار جواب  $p_i$  یکی را اضافه می‌کنیم. اگر  $s_i$  توسط  $p_i$  دیدپذیر بود و توسط  $p$  دیدپذیر نبود از مقدار جواب  $p_i$  یکی کم می‌کنیم. نهایتاً مقدار بدست آمده را به عنوان جواب گزارش می‌کنیم. واضح است که در این شمارش هر پاره‌خط دیدپذیری فقط یک بار شمارش می‌شو بنابراین جواب دقیق مسأله بدست می‌آید.

## ۶.۴ تحلیل حافظه و زمان

حافظه‌ی الگوریتم از  $O(R)$  خواهد بود چون  $O(R)$  حافظه برای نگهداری  $R$  ناحیه نیاز داریم و حافظه‌ی مورد نیاز قضیه ۵.۲ نیز  $O(R)$  است. برای الگوریتم قضیه ۱.۴ نیز  $O(n^2)$  حافظه نیاز داریم. زمان پرس‌وجو نیز مساوی  $O(\frac{m}{\sqrt{R}})$  می‌شود چون در زمان  $O(\log n)$  ناحیه  $R_i$  را پیدا می‌کنیم



و زمان پرس و جوی قضیه ۵.۲ مساوی  $O(\frac{m}{\sqrt{R}})$  است. برای هر کدام از  $O(\frac{m}{\sqrt{R}})$  از پاره‌خطها نیز  $O(\log n)$  زمان برای تعیین دیدپذیری  $p$  و  $p_i$  و  $s_i$  صرف می‌کنیم. پس کل زمان پرس و جوی مساوی  $O(\frac{m}{\sqrt{R}})$  می‌شود. زمان پیش‌پردازش  $O(nR^2)$  می‌شود. چون برای هر کدام از  $R_i$  ها  $O(n)$  زمان برای تعیین مقدار دقیق جواب مسأله برای  $p_i$  صرف می‌شود زمان پیش‌پردازش در این مرحله  $O(nR)$  است پس کل زمان پیش‌پردازش  $O(nR)$  می‌شود. بنابراین جواب دقیق مسأله را می‌توان با حافظه‌ی  $O(R)$  در زمان  $O(\frac{m}{\sqrt{R}})$  پاسخ داد. توجه شود که در این قسمت منظور از زمان و حافظه‌ی گفته شده، مقدارهای مورد انتظار آنها هستند. بنابراین قضیه زیر را خواهیم داشت

**قضیه ۵.۴** با زمان پیش‌پردازش و حافظه‌ی مورد انتظار  $O_\epsilon(nk)$  و  $O_\epsilon(k)$  می‌توان مسأله‌ی شمارش را در زمان پرس و جوی مورد انتظار  $O_\epsilon(\frac{m}{\sqrt{k}})$  به طور دقیق پاسخ داد ( $m \leq k \leq m^2$ ).

## ۷.۴ نتیجه‌گیری

در این فصل ابتدا الگوریتم تصادفی دیگری برای مسأله‌ی شمارش بیان کردیم. این الگوریتم مشابه روش فصل پیشین بود ولی تفاوت‌های اندکی نیز داشت. قابل ذکر است که زمان اجرای این الگوریتم وابسته به  $n$  است، در صورتیکه زمان اجرای الگوریتم فصل پیشین وابسته به  $m$  است. علاوه بر تحلیل ریاضی برای تحلیل تجربی، این الگوریتم را پیاده‌سازی و بر روی داده‌های تصادفی که تولید کرده بودیم نیز اجرا کردیم. نقطه‌ی قوت این الگوریتم پیاده‌سازی راحت و همین‌طور زمان اجرای مناسب آن است.

در رابطه با این الگوریتم و الگوریتم فصل پیشین باید به این نکته توجه کرد که به دلیل انتخاب تصادفی، مقدار مورد انتظار حافظه و زمان اجرا را محاسبه کردیم. قابل ذکر است که می‌توان به راحتی به‌طور قطعی نیز به این حافظه و زمان نیز رسید. برای این منظور کافی است به‌طور تصادفی انتخاب‌ها انجام شود ولی تعداد انتخاب‌ها همان مقدار مورد نظر ما باشد. در این حالت نیز جواب به‌دست آمده به‌صورت احتمالاتی خواهد بود.

در ادامه‌ی این فصل الگوریتمی برای محاسبه‌ی مقدار دقیق جواب مسأله‌ی شمارش بیان کردیم. زمان پرس و جوی این روش مشابه الگوریتم [۲۵] است. این الگوریتم بر خلاف روش‌های قبلی جواب دقیق مسأله را در همان حافظه و زمان پرس و جوی پاسخ می‌دهد. هر چند که زمان پیش‌پردازش این الگوریتم بیشتر از [۲۵] است. کاربردی بودن این الگوریتم را می‌توان به این صورت توجیه کرد که پیش‌پردازش فقط یک مرتبه انجام می‌شود و تنها چیزی که ذخیره می‌شود حافظه‌ی مورد نیاز است. در روش ارائه شده مسأله‌ی جستجوی عمومی بازه را در این حالت خاصی که برای مسأله‌ی ما پیش‌آمده

بود حل کردیم. از این ایده می‌توان برای حل حالت‌های مشابه و یا کلی‌تر نیز استفاده کرد. توجه داشته باشید که زمان پیش‌پردازش این روش با استفاده از ساده‌ترین الگوریتم‌هایی که وجود دارد بدست آمد. بدیهی است که می‌توان زمان پیش‌پردازش این روش را بهبود داد.

یکی از مسایلی که در آینده می‌توان بررسی کرد بهبود زمان پیش‌پردازش تا جایی است که مشابه روش [۳۵] باشد. به عبارتی با همان حافظه و زمان پیش‌پردازش مقدار دقیق جواب را بدست آوریم. به این نقطه باید توجه کرد که با در نظر گرفتن کران پایین مسأله‌ی هاپکرافت<sup>۱</sup> که در [۲۹] بیان شده است در [۳۵] اثبات شده است که این زمان به‌دست آمده توسط آنها نزدیک به زمان بهینه است. بنابراین الگوریتمی که بتواند مقدار دقیق مسأله را پاسخ دهد دارای پیچیدگی زمانی مشابه با زمانی که در [۳۵] ارائه شده است، خواهد بود.

---

<sup>۱</sup> Hopcroft's problem

## فصل ۵

# مسأله‌ی شمارش و نتایج تجربی در ۳ بعد

در این فصل مسایل مطرح شده را در فضای ۳ بعدی تعریف می‌کنیم. برخی قضیه‌های مطرح شده در فصل‌های قبل را به ۳ بعد تعمیم می‌دهیم. همچنین الگوریتم‌هایی که براساس فصل‌های قبلی هستند را ارائه می‌کنیم. برای بررسی کارایی این الگوریتم‌ها آنها را پیاده‌سازی و بر روی داده‌های واقعی اجرا و نتایج بدست آمده را نیز بیان می‌کنیم.

### ۱.۵ بیان مسأله‌ها در فضای ۳ بعدی

مسأله‌ی دیدپذیری و مسأله‌ی شمارش در فضای ۳ بعدی را به‌صورت زیر تعریف می‌کنیم:

**سؤال ۱.۵** مجموعه‌ی  $S$  از  $n$  مثلث در فضای ۳ بعدی داده شده است. می‌خواهیم به‌ازای نقطه‌ی پرس‌وجوی  $p$  و مثلث  $\delta \in S$  تعیین کنیم که آیا  $p$  و  $\delta \in S$  دیدپذیر هستند یا نه.

**سؤال ۲.۵** مجموعه‌ی  $S$  از  $n$  مثلث در فضای ۳ بعدی داده شده است. می‌خواهیم به‌ازای نقطه‌ی پرس‌وجوی  $p$  تعداد مثلث‌های دیدپذیر را به‌دست آوریم.

مشابه تعریف‌های پیشین مثلث  $\Delta$  و نقطه  $p$  را دیدپذیر می‌گوییم اگر و فقط اگر نقطه‌ی  $q$  از  $\Delta$  وجود داشته باشد که توسط  $p$  دیدپذیر باشد. همچنین مثلث دیدپذیر  $\Delta$  را *edge-visible* می‌گوییم اگر و فقط اگر نقطه‌ای روی یال‌ها یا راس‌های  $\Delta$  وجود داشته باشد که توسط  $p$  دیدپذیر باشد. در غیر این صورت  $\Delta$  را *mid-visible* می‌گوییم.

در [۱۱] قضیه‌ای اثبات شده است که نشان می‌دهد تعداد پاره‌خط‌های دیدپذیر حداکثر ۲ برابر تعداد نقاط انتهایی دیدپذیر است. در این‌جا تعمیم این قضیه را در فضای ۳ بعدی به این صورت بیان

می‌کنیم.

قضیه ۳.۵ تعداد مثلث‌های دیدپذیر حداکثر ۲ برابر تعداد مثلث‌های  $edge - visible$  است.

نتیجه ۴.۵ با توجه به قضیه‌ی ۳.۵ تعداد مثلث‌های  $edge - visible$  جوابی با ضریب تقریب ۲ برای مسأله‌ی شمارش بدست می‌دهد.

مسأله‌ی مشابه دیگری که در عمل بیشتر مطرح می‌شود به این صورت است:

**سؤال ۵.۵** مجموعه‌ی  $T$  از  $n$  مثلث که تشکیل یک زمینه<sup>۱</sup> می‌دهند داده شده است. منظور از زمینه مجموعه‌ای از مثلث‌ها (۲ بعدی) در فضای ۳ بعدی است که در یال‌هایشان اشتراک دارند و هر خط عمود بر صفحه‌ی  $x - y$  حداکثر در یک نقطه این مثلث‌ها را قطع می‌کند. می‌خواهیم به‌ازای نقطه‌ی پرس‌وجوی  $p$  تعیین کنیم که آیا مثلث داده شده‌ای توسط  $p$  دیده می‌شود و همینطور تعداد مثلث‌های دیدپذیر را به‌دست آوریم.

**تعریف ۶.۵** مجموعه‌ی تمام نقاطی که توسط  $p$  دیده می‌شوند را منطقه‌ی دیدپذیر  $p$  می‌نامیم و با  $VR(p)$  نشان می‌دهیم.

محاسبه‌ی منطقه‌ی دیدپذیر یک نقطه می‌تواند نیاز به زمان  $\Omega(n^2)$  داشته باشد [۲۰، ۲۲]، که  $n$  تعداد مثلث‌های موجود در  $T$  است. بنابراین ارائه‌ی الگوریتم‌های تقریبی که مقدار تقریبی از  $VR(p)$  را در زمان کمتری محاسبه می‌کنند مورد توجه است. در [۴۴] الگوریتم رادار ماندی برای محاسبه‌ی  $VR(p)$  ارائه شده است. آنها ۴ الگوریتم با نام‌های  $Fixed - radar - ECH$ ،  $ECH - Fixed$ ،  $like$  و  $Radar - like$  ارائه داده‌اند. نتایج تجربی آنها نشان می‌دهد که الگوریتم  $Radar - like$  سریعترین الگوریتم است. در ادامه الگوریتم‌های جدیدی برای این مسأله ارائه می‌دهیم که پایه‌ی آنها براساس نتایج فصل‌های پیشین است. همچنین با پیاده‌سازی این الگوریتم‌ها، نتایج بدست آمده را با الگوریتم‌های ارائه شده در [۴۴] مقایسه می‌کنیم.

## ۲.۵ مسأله‌ی دیدپذیری

ابتدا لم زیر را که بر اساس تعریف‌های فصل‌های پیشین هست، بیان می‌کنیم.

<sup>۱</sup>Terrain

لم ۷.۵ اگر مثلث‌های داده شده تشکیل یک زمینه بدهند در این صورت تمامی مثلث‌های دیدپذیر  $edge - visible$  خواهند بود.

بنابراین بر اساس لم ۷.۵ برای محاسبه‌ی تعداد مثلث‌های دیدپذیر کافی است فقط یال‌های مثلث‌ها را در نظر بگیریم و نیازی به بررسی نقاط روی سطح مثلث‌ها نداریم.

### ۱.۲.۵ الگوریتم ارائه شده برای مسأله‌ی دیدپذیری

برای هر مثلث  $\Delta_1$ ، از یکی از راس‌های آن، مثلاً  $a_1$  و یکی از یال‌هایی که  $a_1$  بر روی آن قرار دارد شروع می‌کنیم. اگر  $a_1$  و  $p$  دیدپذیر باشند، در این صورت  $\Delta_1$  دیدپذیر خواهد بود و الگوریتم پایان می‌یابد. در غیر این صورت مثلث  $\Delta_2$  ای که تصویرش بر روی  $a_1$  می‌افتد وجود دارد که  $a_1$  را می‌پوشاند.  $\Delta_2$  قسمتی از یالی که  $a_1$  بر روی آن قرار دارد را می‌پوشاند. برای قسمت باقیمانده اولین نقطه  $a_2$  بر روی آن یال را در نظر می‌گیریم که توسط  $\Delta_2$  پوشیده نمی‌شود. اگر  $a_2$  و  $p$  دیدپذیر باشند در این صورت  $\Delta_1$  و  $p$  دیدپذیر خواهند بود. در غیر این صورت یک شعاع از  $a_2$  به سمت  $p$  ساطع می‌کنیم و اولین مثلثی که قطع می‌کند را در نظر می‌گیریم. در ادامه الگوریتم را به همین ترتیب که بر روی  $\Delta_2$  اجرا کردیم ادامه می‌دهیم. اگر به انتهای یال رسیدیم در این صورت آن یال دیدپذیر نیست. به همین ترتیب الگوریتم را بر روی هر ۳ یال مثلث اجرا می‌کنیم.

زمان اجرای این الگوریتم برای هر نقطه‌ی پرس‌وجوی  $p$  و مثلث  $\Delta_1$  به تعداد شعاع‌های ساطع شده که مساوی تعداد مثلث‌های پوشاننده‌ی یال‌های  $\Delta_1$  است بستگی دارد. این عدد را با  $t_p(\Delta_1)$  نشان می‌دهیم. بنابراین زمان اجرای الگوریتم  $O(t_p(\Delta)f(n))$  است که  $f(n)$  زمان ساطع شدن هر شعاع است.

### ۲.۲.۵ نتایج تجربی برای مسأله‌ی قابلیت دید

در داده‌هایی که ما بررسی می‌کنیم به ازای هر نقطه مختصات  $(i, j)$  بر روی یک شبکه، ارتفاع آن نقطه مشخص شده است. همچنین شبکه‌ی داده شده مثلث‌بندی شده و نمایانگر یک زمینه است. برای هر ۴ نقطه‌ی  $x_1 = (i, j, k_1)$ ،  $x_2 = (i + 1, j, k_2)$ ،  $x_3 = (i, j + 1, k_3)$  و  $x_4 = (i + 1, j + 1, k_4)$  دو مثلث در نظر گرفته می‌شود.  $\Delta_1 = (x_1, x_2, x_4)$  و  $\Delta_2 = (x_1, x_3, x_4)$ . در الگوریتمی که اجرا می‌کنیم بر روی مثلث‌ها پیش‌پردازشی انجام نمی‌شود، بنابراین  $f(n) = O(\sqrt{n})$ . برای هر مجموعه داده تعدادی نقطه به‌طور تصادفی به عنوان نقطه‌ی پرس‌وجو انتخاب کرده‌ایم و الگوریتم؟؟ را برای

هر کدام از نقطه‌ها و تمام مثلث‌های زمینه اجرا کرده‌ایم. برای هر مثلث  $\Delta_i \in T$ ، مقدار  $t_p(\Delta_i)$  را محاسبه می‌کنیم. نتایج تجربی نشان می‌دهد که:

$$E(t_p(\Delta_i)) = \sum_{\Delta_i \in T}^n t_p(\Delta_i) / n = O(1).$$

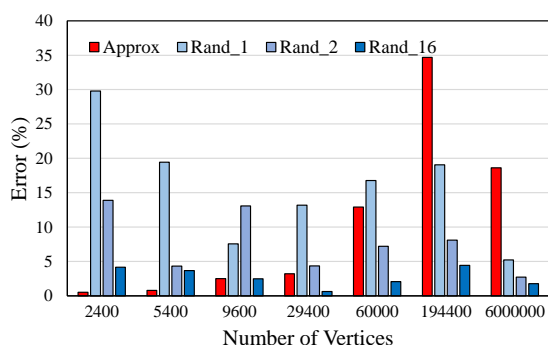
این نتیجه می‌دهد که میانگین تعداد مثلث‌هایی که یک مثلث تصادفی را می‌پوشانند به ازای یک نقطه‌ی تصادفی داده شده  $O(1)$  است. یعنی میانگین زمان اجرا برای مسأله‌ی دیدپذیری بین یک نقطه تصادفی و یک مثلث،  $O(f(n))$  است. جدول ۳.۵ میانگین  $t_p$  را برای هر کدام از مجموعه داده‌ها نشان می‌دهد. همچنین این نتایج نشان می‌دهد که میانگین  $t_p(\Delta)$  مستقل از اندازه‌ی مجموعه داده است.

تعداد مثلث‌ها	میانگین مثلث‌های پوشاننده
۲,۴۰۰	۱/۷۰
۲,۴۰۰	۱/۱۸
۲,۴۰۰	۱/۰۶
۵,۴۰۰	۱/۵۸
۵,۴۰۰	۱/۰۹
۵,۴۰۰	۱/۰۳
۹,۶۰۰	۱/۵۳
۹,۶۰۰	۱/۱۰
۹,۶۰۰	۱/۰۴
۲۹,۴۰۰	۱/۴۸
۲۹,۴۰۰	۱/۰۲
۲۹,۴۰۰	۱/۰۸
۶۰,۰۰۰	۱/۵۱
۶۰,۰۰۰	۱/۳۷
۶۰,۰۰۰	۱/۰۸

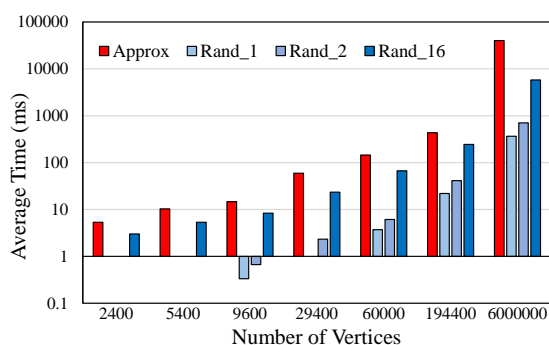
جدول ۱.۵: میانگین تعداد مثلث‌هایی که یک مثلث را می‌پوشانند برای یک نقطه‌ی تصادفی برای هر کدام از مجموعه داده‌ها.

## ۳.۵ مسأله‌ی شمارش

همانطور که گفتیم برای پیدا کردن جواب دقیق مسأله‌ی شمارش مثلث‌های دیدپذیر زمینه کافی است مثلث‌های *edge-visible* را بشماریم.

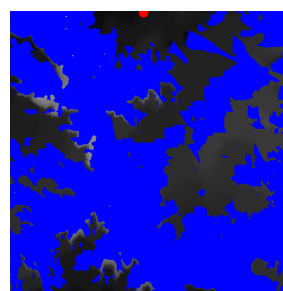
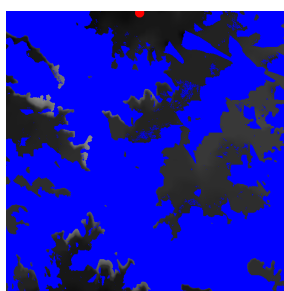
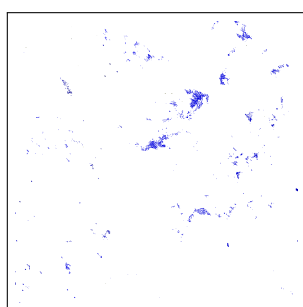


(ب) میانگین خطا



(آ) میانگین زمان اجرا

شکل ۱.۵: میانگین زمان اجرا و میانگین خطا برای الگوریتم‌های تصادفی و تقریبی.



(آ) منطقه‌ی قایل دبد تقریب زده (ب) منطقه‌ی دیدپذیر دقیق (ج) تقاضای ناحیه‌ی دیدپذیر شده دقیق و تقریبی

شکل ۲.۵: منطقه‌ی دیدپذیر نقطه‌ی پرس‌وجوی  $p(3/3, 242/5, 2089/5)$  (الف) تقریبی و (ب) دقیق. نقطه‌ی پرس‌وجو با رنگ قرمز نشان داده شده‌است.

### ۱.۳.۵ الگوریتم تقریبی برای مسأله‌ی شمارش

در این بخش الگوریتم تقریبی برای شمارش تعداد مثلث‌هایی که حداقل یکی از راس‌هایشان دیدپذیر است ارائه می‌دهیم. در این الگوریتم ابتدا شعاعی دلخواه از نقطه‌ی داده شده  $p$  به سمت زمینه ساطع می‌کنیم. واضح است که مثلث  $\Delta_1$  که توسط این شعاع قطع می‌شود توسط  $p$  دیدپذیر است. در مرحله‌ی بعدی شعاع‌هایی به سمت راس‌های  $\Delta_1$  ساطع می‌کنیم. در این صورت اولین مثلث‌هایی که توسط این شعاع‌ها قطع می‌شوند توسط  $p$  دیدپذیر هستند. به همین ترتیب الگوریتم را بر روی آن مثلث‌ها اجرا می‌کنیم و به طور تقریبی تعداد مثلث‌های دیدپذیر را به دست می‌آوریم (الگوریتم ۱).

### ۲.۳.۵ پیچیدگی زمانی

در الگوریتم ۱ هر مثلثی فقط یکبار وارد صف می‌شود. برای هر مثلث ۳ شعاع به سمت راس‌هایش ساطع می‌کنیم. در هر مرحله از ساطع کردن شعاع بررسی می‌کنیم که آیا مثلثی بین  $p$  و یک راس وجود

**Algorithm 1** Approximation algorithm for computing the visible triangles**Input:** $T$ : A 2D array of triangles. $e$ : A query point  $p$ .**Output:**The number of visible segments from  $p$ .**Method:**

- 1: Create empty Queue,  $bfsQueue$ .
- 2: Find triangle  $\Delta_1$  intersected by the ray emanating from  $p$  to the surface of terrain.
- 3: Add  $\Delta_1$  to  $bfsQueue$ .
- 4: **while**  $bfsQueue$  is not empty **do**
- 5:    $\Delta_t = bfsQueue.pop()$
- 6:   **if** At least one vertex of triangle  $\Delta_t$  is visible from  $p$  **then**
- 7:     Add three neighbors of  $\Delta_1$  to  $bfsQueue$ .
- 8:   **else**
- 9:     Find concealer triangles that cover vertices of triangle  $\Delta_t$ .
- 10:    Shoot rays from  $p$  to the vertices of concealer triangles
- 11:    Find hit points of shooting ray and the surface of the terrain.
- 12:    Add triangles corresponding to the hit points to  $bfsQueue$ .
- 13:   **end if**
- 14: **end while**

دارد یا نه. برای هر شعاع می‌خواهیم اولین مثلثی که توسط شعاعی که از  $p$  ساطع شده قطع می‌شود را بیابیم. به ازای هر شعاعی که ساطع می‌شود  $O(\sqrt{n})$  مثلث را بررسی می‌کنیم. بنابراین زمان اجرای الگوریتم  $O(\sqrt{nm_p})$  می‌شود که  $m_p$  تعداد مثلث‌های دیدپذیر است.

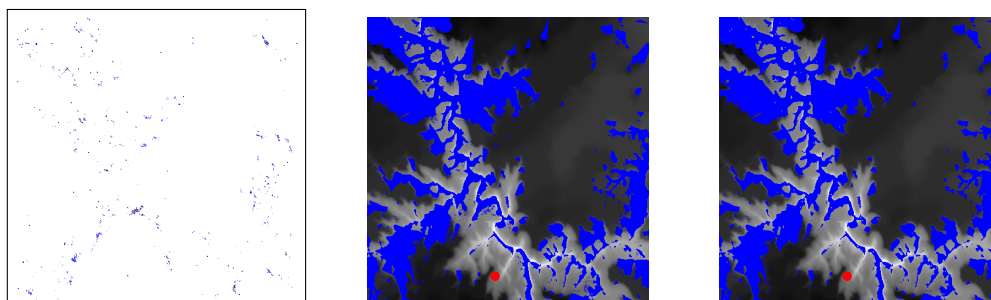
### ۳.۳.۵ الگوریتم تقریبی تصادفی برای مسأله‌ی شمارش

حال الگوریتم تصادفی برای تقریب جواب مسأله‌ی شمارش ارائه می‌دهیم. این الگوریتم بر اساس نمونه‌گیری تصادفی و مشابه روش‌های قبلی است. زمان اجرای این الگوریتم  $O(\frac{1}{\delta^2} \sqrt{n} f(n) \log n)$  است. که در اینجا  $\delta$  ضریب تقریب الگوریتم است. تحلیل زمان اجرا و ضریب تقریب و میزان خطای این الگوریتم همانند الگوریتم‌های فصل‌های قبل است که از لم ۹.۳ استفاده کرده بودیم.

### ۴.۳.۵ الگوریتم دقیق مسأله‌ی شمارش

با استفاده از الگوریتمی که برای تعیین دیدپذیری مثلث‌ها بیان کردیم می‌توانیم مسأله‌ی دیدپذیری را برای هر کدام از مثلث‌ها حل کنیم و در نتیجه مقدار دقیق پاره‌خط‌های دیدپذیر را بدست آوریم. زمان اجرای این الگوریتم مهم نیست و فقط برای بررسی کارایی الگوریتم تقریبی استفاده می‌شود.





(آ) منطقه‌ی قابل دبد تقریب زده (ب) منطقه‌ی دیدپذیر دقیق (ج) تقاضل ناحیه‌ی دیدپذیر شده دقیق و تقریبی

شکل ۳.۵: منطقه‌ی دیدپذیر نقطه‌ی پرس و جوی  $p(۴۶۸/۸, ۲۳۲/۵, ۳۲۲۸/۶)$  (الف) تقریبی و (ب) دقیق. نقطه‌ی پرس و جو با رنگ قرمز نشان داده شده است.

## ۴.۵ نتایج تجربی مسأله‌ی شمارش

الگوریتم تقریبی ارائه شده را بر روی ۳ مجموعه داده اجرا کرده‌ایم.

شکل ۲.۵ و ۳.۵ مقدار دقیق و تقریبی مناطق دیدپذیر ۲ نقطه‌ی پرس و جو را نشان می‌دهند. ما مقدار تقریبی ناحیه دیدپذیر هر نقطه را با استفاده از الگوریتم ۱ محاسبه می‌کنیم. سپس مقدار دقیق را محاسبه می‌کنیم. همان‌طور که دیده می‌شود مقدار تقریبی به مقدار دقیق نزدیک است. برای بررسی کارایی الگوریتم، تابع خطایی به این صورت تعریف می‌کنیم. اگر  $m'_p$  تعداد مثلث‌های دیدپذیر تقریب زده شده باشد در این صورت مقدار خطا  $\frac{(m_p - m'_p)}{m_p}$  است. برای هر مجموعه داده تعداد ۱۰۰۰ نقطه‌ی تصادفی با ارتفاع‌های مختلف انتخاب کرده‌ایم. سپس مقدار خطا را برای هر نقطه محاسبه کرده‌ایم. واضح است که با افزایش ارتفاع، تعداد مثلث‌های دیدپذیر و بنابراین زمان اجرای الگوریتم افزایش می‌یابد. جدول ۲.۵ متوسط زمان اجرا و همین‌طور متوسط خطا را برای هر مجموعه داده نشان می‌دهد.

ما نتایج خود را با نتایج [۴۴] مقایسه می‌کنیم. آنها ۴ الگوریتم ارائه کرده‌اند. ما نیز مجموعه داده‌ای مشابه مجموعه داده‌های آنها به کار برده‌ایم. آنها ۱۰ مجموعه داده را که هر کدام منطقه‌ی جغرافیایی خاصی را مشخص می‌کنند، استفاده کرده‌اند. هر زمینه‌ای به صورت اجتماع  $5,000$  -  $10,000$  مثلث است. برای هر زمینه‌ای نقاط مختلفی را به صورت تصادفی انتخاب کرده‌اند. برای هر نقطه‌ای هر کدام از آن ۴ الگوریتم را برای محاسبه‌ی منطقه‌ی دیدپذیر آن نقطه استفاده کرده‌اند. همچنین میزان خطا را نیز بر اساس تابع خطایی که تعریف کرده‌اند نیز اندازه گرفته‌اند.

تابع خطایی که آنها استفاده کرده‌اند به این صورت تعریف شده است. اگر  $R'_p$  مقدار تقریبی  $R_p$  که منطقه‌ی دیدپذیر توسط  $p$  است باشد در این صورت خطای نسبت داده شده، یای انحصاری  $R_p$

**Algorithm 2** Randomized Algorithm for VCP**Input:**Triangles of terrain  $T$ . $p$ : a query point. $t$ : number of execution iterations of randomized algorithm.**Output:** $counter$ : the number of triangles of terrain  $T$  visible from  $p$ **Method:**

```

1: set  $p$  to  $\frac{1}{\sqrt{n}}$  where  $n$  is number of triangles in terrain  $T$ .
2: set  $counter$  to 0.
3: loop
4:    $t$  iterations
5:   for each triangle  $\Delta$  of terrain  $T$  do
6:     select triangle  $\Delta$  with probability of  $p$ .
7:     use VTP algorithm to check whether triangle  $\Delta$  is visible from  $p$  or not.
8:     if  $\Delta$  is visible from  $p$  then
9:        $counter++$ 
10:    end if
11:  end for
12: end loop
13: return  $\frac{counter}{t \times p}$ 

```

و  $R'_p$  تقسیم بر کل ناحیه‌ی زمینه است.

مجموعه داده‌هایی که آنها استفاده کرده‌اند متشکل از ۱۰,۰۰۰ – ۵,۰۰۰ مثلث بوده‌است. ما نیز از مجموعه داده‌هایی متشکل از ۱۰,۰۰۰ مثلث استفاده کرده‌ایم. همانطور که در جدول ۳.۵ دیده می‌شود میانگین بهترین زمان اجرای الگوریتم آنها ۲۷۴ میلی ثانیه با میزان خطای ۰/۵ (با تابع خطای آنها) و میانگین بهترین زمان اجرای ما ۷۰ میلی ثانیه با خطای ۰/۵۵ (با استفاده از تابع خطای خودمان) است. اگر ما از تابع خطای آنها استفاده کنیم خطا ۰/۳۵ خواهد بود.

مقایسه‌ی سیستم‌هایی که الگوریتم‌ها بر روی آنها اجرا شده‌اند در جدول ۴.۵ آمده است.

[44]	Pentium 4	2.4GHz	Linux 8.1	Java 1.4
Our platform	Core i5	2.4GHz	Win10	Java 1.8

جدول ۴.۵: مقایسه‌ی سیستم‌ها

توجه کنید که زمان اجرای هر دو الگوریتم ارائه شده بهتر از [۴۴] است. مزیت الگوریتم اول در این است که می‌توانیم منطقه‌ی دیدپذیر  $p$  را با خطای کمتری نسبت به [۴۴] محاسبه کنیم. هر

خطا	زمان اجرا (ms)	تعداد مثلثها
۱/۳۹	۱۷	۲,۴۰۰
۰/۴۵	۱۴	۲,۴۰۰
۰/۴۱	۱۳	۲,۴۰۰
۲/۰۳	۴۴	۵,۴۰۰
۰/۸۹	۳۶	۵,۴۰۰
۰/۴۵	۲۸	۵,۴۰۰
۲/۲۸	۹۰	۹,۶۰۰
۱/۱۷	۸۰	۹,۶۰۰
۰/۹۰	۶۶	۹,۶۰۰
۳/۹۲	۳۵۵	۲۹,۴۰۰
۱/۷۸	۳۹۶	۲۹,۴۰۰
۲/۴۷	۳۶۵	۲۹,۴۰۰
۵/۲۸	۸۴۰	۶۰,۰۰۰
۳/۱۷	۸۷۰	۶۰,۰۰۰
۳/۷۰	۹۵۴	۶۰,۰۰۰

جدول ۲.۵: میانگین زمان اجرای الگوریتم به ازای هر کدام از مجموعه داده‌ها.

Error	1.00	0.75	0.5
Fixed ECH	597	1,0045	1,648
ECH	579	1,012	1,591
Fixed radar-like	112	192	301
Radar-like	101	168	274

جدول ۳.۵: نتایج [۴۴]. آنها تابع خطایی برای تقریب منطقه‌ی دیدپذیر یک نقطه‌ی داده شده ارائه داده‌اند. زمان اجرای الگوریتم آنها برای هر مقدار خطا داده شده است. بهترین الگوریتم، الگوریتم *Radar-like* است.

چند که زمان اجرای الگوریتم دوم خیلی بهتر از الگوریتم اول است ولی ما در این الگوریتم منطقه‌ی دیدپذیر را محاسبه نمی‌کنیم و فقط نسبت ناحیه‌ای که توسط  $p$  دیده می‌شود را محاسبه می‌کنیم.

## ۵.۵ نتیجه‌گیری

در این فصل مسأله‌ی دید و شمارش را در فضای ۳ بعدی تعریف کردیم و الگوریتم‌هایی بر اساس فصل‌های قبل ارائه دادیم. همچنین این الگوریتم‌ها را پیاده‌سازی و بر روی داده‌های واقعی اجرا کردیم. نکته‌ی قابل توجه زمان اجرای کم و مقدار خطای کم این الگوریتم‌ها در مقایسه با الگوریتم‌های پیشین بود. شایان ذکر است که به دلیل عدم دسترسی به داده‌هایی که در مقاله‌های مرجع ما استفاده شده بود ما نتوانستیم الگوریتم‌هایمان را بر روی آن داده‌ها اجرا کنیم و بنابراین الگوریتم‌ها را بر روی داده‌هایی مشابه از نظر اندازه اجرا کردیم. پیاده‌سازی دیگر الگوریتم‌های فصل‌های پیشین و همینطور بررسی

بیشتر مسأله‌ها از جمله تعمیم قضایای فصل‌های پیشین به ۳ بعد از مطالبی است که می‌توان در آینده در نظر گرفت.

## فصل ۶

### مدل احتمالاتی

در این فصل یک مدل تصادفی جدید از مسأله‌ی دید و مسأله‌ی شمارش تعریف می‌شود. فرض کنید  $\mathcal{S}$  مجموعه‌ای از  $n$  پاره‌خط نادقیق<sup>۱</sup> باشد. به بیان دقیق‌تر برای هر پاره‌خط  $s_i \in \mathcal{S}$  یک تابع توزیع احتمالی گسسته در نظر می‌گیریم به‌طوری‌که یک مجموعه  $\mathcal{D}_i = \{s_{i,1}, \dots, s_{i,m_i}\} \cup \{s_{i,0} = \perp\}$  از مکان‌های ممکن با احتمال‌های نسبت داده شده‌ی  $p_{i,j}$  داریم و  $\Pr(s_i = s_{i,j}) = p_{i,j}$  و  $\sum_j p_{i,j} = 1$ . علامت  $\perp$  به این معنی است که پاره‌خط  $s_i$  در  $\mathcal{S}$  وجود ندارد. در این جا مجموعه‌ی  $\mathcal{S}$  را می‌توان به صورت یک متغیر تصادفی دید چون شامل پاره‌خط‌های احتمالی است. متغیر تصادفی مقادیر خود را از یک فضای نمونه با اندازه‌ی  $\Pi_i(m_i + 1)$  با احتمال مساوی  $\Pi_{s \in \mathcal{S}} \Pr(s) \Pi_{s \notin \mathcal{S}} (1 - \Pr(s))$  می‌گیرد. فرض کنید که  $z = \max\{1 + m_i\}$ . در حالت خاص که  $z = 2$  نادقیقی در رابطه با وجود و عدم وجود پاره‌خط‌ها است، نه در رابطه با مکان آنها. براساس این مطالب حالت احتمالاتی مسأله‌های دیدپذیری و شمارش را تعریف می‌کنیم.

**سؤال ۱۰۶** مسأله‌ی دیدپذیری احتمالاتی: به ازای پاره‌خط داده شده‌ی  $s \in \mathcal{S}$  احتمال دیده شدنش توسط نقطه‌ی پرس‌وجوی  $q$  را محاسبه کنید.

**سؤال ۲۰۶** مسأله‌ی شمارش احتمالاتی: امید ریاضی تعداد پاره‌خط‌هایی را که توسط نقطه‌ی پرس‌وجوی  $q$  دیدپذیر هستند، محاسبه کنید.

در ادامه‌ی این فصل مسأله‌های عنوان شده را بررسی می‌کنیم.

---

<sup>۱</sup>Uncertain

## ۱.۶ مسأله‌ی دید احتمالاتی

همان‌طور که می‌دانیم مسأله‌ی شمارش تعداد تطابق‌ها در یک گراف ۲ بخشی از مسایل معروف  $\#P$ -complete است [۵۲]. در ابتدا مسأله‌ی شمارش تعداد تطابق‌های کامل یک گراف ۲ بخشی را به این دیدپذیری احتمالاتی کاهش می‌دهیم تا نشان دهیم مسأله‌ی دید احتمالاتی  $\#P$ -complete است.

فرض کنید می‌خواهیم تعداد تطابق‌های کامل گراف ۲ بخشی  $G = (U, V, E)$  را به دست آوریم. که  $U = \{u_1, \dots, u_n\}$  و  $V = \{v_1, \dots, v_n\}$  مجموعه‌ی راس‌ها و  $E$  مجموعه‌ی یال‌های  $G$  هستند. برای گراف دو بخشی داده شده یک نمونه از مسأله دیدپذیری احتمالاتی را به شکل زیر می‌سازیم به‌طوری‌که هر تطابق کامل به‌طور یکتا متناظر با یک نمونه از فضای نمونه‌ی پاره‌خط‌های نامعین است که در آن  $s$  توسط  $q$  دیده نمی‌شود. تعداد  $n$  بازه  $[i, i+1]$  بر روی محور  $x$  در نظر بگیرید. که  $i$  از ۰ تا  $n-1$  تغییر می‌کند. فرض کنید که بازه‌ی  $[i, i+1]$  متناظر با راس  $v_i$  است و با  $I(v_i)$  نشان می‌دهیم. برای هر راس  $u_i \in U$  یک پاره‌خط نادقیق  $D_i = \{I(v_j) | \{u_i, v_j\} \in E\}$  با توزیع یکنواخت تعریف می‌کنیم. توجه کنید که در این نمونه هر پاره‌خط نادقیق همواره وجود دارد. یک پاره‌خط نادقیق  $s$  با احتمال یک که نقاط انتهایی‌اش  $(0, -1)$  و  $(n, -1)$  است نیز در نظر می‌گیریم. نقطه‌ی  $q$  را بالای محور در نظر بگیرید. پاره‌خط  $s$  توسط  $q$  دیده نمی‌شود اگر و فقط اگر  $[0, n]$  کاملاً توسط پاره‌خط‌های نادقیق پوشیده شود. تعداد  $n$  پاره‌خط نادقیق وجود دارد و هر کدام دقیقاً یک واحد از  $[0, n]$  را می‌پوشانند. بنابراین هر پاره‌خط نادقیق دقیقاً باید یک واحد از بازه‌ها را بپوشانند. این شهود اصلی در تناظر یک به یک بین تطابق کامل و زیرمجموعه‌ی فضای نمونه که در آن  $s$  توسط  $q$  دیدپذیر نیست، است. بنابراین قضیه‌ی زیر را خواهیم داشت.

**قضیه ۳.۶** مسأله‌ی دیدپذیری احتمالاتی  $\#P$ -complete است.

در این بخش حالت  $z = 2$  را در نظر می‌گیریم. به عبارتی هر پاره‌خطی یا وجود ندارد یا فقط در یک مکان وجود دارد. بنابراین می‌توان فرض کرد که  $n$  پاره‌خط نادقیق  $s_1, \dots, s_n$  داریم و  $\Pr(s_i \in S) = p_i$  که نتیجه می‌دهد  $\Pr(s_i \notin S) = 1 - p_i$ . در ادامه نشان می‌دهیم که برای یک پاره‌خط داده شده  $s$  و نقطه‌ی  $q$  چگونه مقدار  $\Pr(q \text{ sees } s)$  را محاسبه کنیم. واضح است که اگر  $s \notin S$  باشد،  $q$  نمی‌تواند  $s$  را ببیند. پس  $\Pr(q \text{ sees } s) = \Pr(q \text{ sees } s | s \in S) \Pr(s \in S)$  بنابراین  $\Pr(q \text{ sees } s | s \in S)$  را باید محاسبه کنیم.

فرض کنید  $\Delta$  مثلثی باشد با راس  $q$  و یال  $s$ . هر پاره‌خط نادقیق که  $\Delta$  را قطع نمی‌کند تاثیری در محاسبه‌ی احتمال ندارد. بنابراین فقط پاره‌خط‌هایی را در نظر می‌گیریم که  $\Delta$  را قطع می‌کنند. تصویر این پاره‌خط‌ها را بر روی  $s$  تحت  $q$  در نظر بگیرید. در این صورت مسأله‌ای که حل می‌کنیم به این صورت خواهد بود.

• فرض کنید تعداد  $n$  بازه‌ی نادقیق  $I = \{I_1, \dots, I_n\}$  بر روی محور اعداد حقیقی داده شده است. هر بازه‌ی  $I_i$  با احتمال  $p_i$  وجود دارد. حال احتمال پوشیده شدن بازه‌ی  $[a, b]$  را که با  $pr([a, b] \text{ is covered})$  نشان می‌دهیم، به دست آورید.

به نظر می‌رسد که محاسبه‌ی احتمال خواسته شده به زمان  $\Theta(2^n)$  نیاز دارد چون اندازه‌ی فضای نمونه می‌تواند در بدترین حالت از  $\Theta(2^n)$  باشد. اما در ادامه نشان می‌دهیم که در زمان  $O(n \log n)$  می‌توان این محاسبات را انجام داد. برای سادگی می‌توان فرض کرد که بازه‌ها بر اساس نقاط انتهایی سمت راستشان مرتب شده‌اند. فرض کنید  $r(I_i)$  نقطه‌ی انتهایی سمت راست (چپ)  $I_i$  باشد. فرمول بازگشتی ارائه می‌دهیم. برای هر نقطه‌ی  $a' \in [a, b]$  فرض کنید  $sol(a')$  احتمال پوشیده شدن  $[a', b]$  باشد. بنابراین  $sol(a)$  احتمال پوشیده شدن  $[a, b]$  خواهد بود.  $S(a') = \{I'_1, \dots, I'_l\}$  را مجموعه‌ی تمام بازه‌هایی در نظر بگیرید که  $a'$  را می‌پوشانند و بر اساس نقطه‌ی انتهایی راستشان مرتب شده‌اند. بر اساس این تعریف‌ها خواهیم داشت:

لم ۴۰۶  $sol(b) = 1$  تعریف می‌کنیم. در این صورت خواهیم داشت:

$$sol(a') = \sum_{j=1}^l p'_j (\prod_{i'=1}^{j-1} (1 - p'_{i'})) sol(r(I'_j)).$$

**اثبات.** فرض کنید  $a' \in [a, b]$  بنابراین اگر  $[a', b]$  پوشیده شود در این صورت حداقل یکی از پاره‌خط‌های موجود در  $S(a')$  باید انتخاب شوند. تعداد  $l$  پاره‌خط وجود دارند که  $a'$  را می‌پوشانند. از آنجایی که پاره‌خط‌های  $S(a')$  بر اساس نقطه‌ی انتهایی سمت چپشان مرتب شده‌اند آنگاه احتمال این‌که  $I'_j$  اولین پاره‌خطی باشد که  $a'$  را می‌پوشاند مساوی  $p'_j \prod_{i'=1}^{j-1} (1 - p'_{i'})$  خواهد بود. به‌طور بازگشتی  $[a', b]$  با احتمال  $sol(r(I'_j))$  بنابراین خواهیم داشت:  $sol(a') = \sum_{j=1}^l p'_j (\prod_{i'=1}^{j-1} (1 - p'_{i'})) sol(r(I'_j))$ .

هرکدام از نقاط انتهایی بازه‌ها می‌توانند توسط  $O(n)$  بازه‌ی دیگر پوشیده شوند. در فرمول بازگشتی هر نقطه‌ی انتهایی حداکثر یکبار صدا زده می‌شود. برای هر  $sol(r(I'_j))$  باید مقدار  $\prod_{i'=1}^{j-1} (1 - p'_{i'})$  را محاسبه کنیم. از آنجایی پاره‌خط‌ها بر اساس نقاط انتهایی‌شان مرتب شده‌اند، برای هر  $sol(r(I'_j))$

مقدار  $\prod_{i'=1}^{j-2} (1-p_{i'})$  را در  $1-p_j$  ضرب می‌کنیم. بنابراین می‌توانیم  $sol(a)$  را در زمان  $O(n^2)$  محاسبه کنیم. در ادامه الگوریتم سریعتری را بیان می‌کنیم. برای پر کردن آرایه‌ی  $sol$ ، نقاط انتهایی را از راست به چپ جاروب می‌کنیم. نقاطی را که خط جاروب را قطع می‌کنند را در یک درخت جستجوی دودویی ذخیره می‌کنیم. همچنین در زمان پردازش مقدار اضافی دیگری را نیز در هر گره به صورتی که گفته می‌شود ذخیره می‌کنیم. در زمان پردازش یک نقطه‌ی انتهایی راست،  $r(I_i)$  مقدار  $sol(r(I_i))$  را محاسبه می‌کنیم که در این لحظه مساوی مجموع تمام گره‌های درخت است. این کار را می‌توان در زمان  $O(\log n)$  انجام داد. سپس به‌طور ضمنی تمامی گره‌ها را در  $(1-p_i)$  ضرب می‌کنیم. سپس  $r(I_i)$  را با مقدار  $p_i sol(r(I_i))$  به درخت اضافه می‌کنیم. این کار را نیز می‌توان در زمان  $O(\log n)$  انجام داد. تعداد کل نقاط انتهایی  $O(n)$  است و بنابراین زمان اجرای این الگوریتم  $O(n \log n)$  خواهد بود. پس قضیه‌ی زیر را خواهیم داشت.

**قضیه ۵.۶** در حالت  $z = 2$ ، مسأله‌ی دیدپذیری احتمالاتی را می‌توان در زمان  $O(n \log n)$  پاسخ داد.

حال روشی ارائه می‌دهیم که با استفاده از پیش‌پردازش بر روی پاره‌خطها بتوانیم مسأله را در زمان  $O(\log n)$  پاسخ دهیم. همانطور که قبلاً هم گفته شد فرض کنید تمامی پاره‌خطها داخل یک مربع  $B$  قرار دارند. در ابتدا هر جفت از نقاط انتهایی را به هم وصل می‌کنیم و این خط را ادامه می‌دهیم تا  $B$  را قطع کند. این خطها  $B$  را به  $O(n^4)$  ناحیه افراز می‌کنند. برای هر پاره‌خط  $s \in S$ ، جواب مسأله دید احتمالاتی برای تمامی نقاط موجود در یک ناحیه یکسان است. چون ترتیب ترکیباتی پاره‌خطهایی که  $s$  را می‌پوشانند برای تمامی نقاط یک ناحیه یکسان است. بنابراین در زمان پیش‌پردازش به ازای هر ناحیه  $r_i$  یک نقطه‌ی دلخواه  $q_i$  از آن ناحیه انتخاب می‌کنیم و مقدار  $\Pr(q_i \text{ sees } s)$  را در زمان  $O(n \log n)$  محاسبه می‌کنیم. بنابراین به ازای پاره‌خطهای داده شده  $S$  و پاره‌خط  $s \in S$ ، در زمان  $O(n^5 \log n)$  و با حافظه‌ی  $O(n^4)$  پیش‌پردازش انجام می‌دهیم به طوریکه به ازای هر نقطه‌ی پرس‌وجوی  $q$ ، می‌توانیم ناحیه‌ی  $r_i$  شامل  $q$  را در زمان  $O(\log n)$  بدست آوریم و مقدار  $\Pr(q_i \text{ sees } s) = \Pr(q \text{ sees } s)$  را محاسبه کنیم.

## ۲.۶ مسأله‌ی شمارش احتمالاتی

در این بخش مسأله‌ی شمارش احتمالاتی را بررسی می‌کنیم. ابتدا تعریفی اولیه بیان می‌کنیم. برای هر زیر مجموعه  $T \subset S$ ، فرض کنید  $m_q(T)$  تعداد پاره‌خطهایی هستند از مجموعه‌ی  $T$  که توسط  $q$  دیده می‌شوند. بنابراین مجموعه‌ی پاره‌خطهای دیدپذیر را می‌توان به این صورت نوشت.



$$E(m_q) = \sum_{T \subseteq S} \Pr(T) m_q(T),$$

که  $\Pr(T)$  احتمال این است که مجموعه‌ی انتخاب شده  $T$  باشد. با استفاده از خطی بودن امید ریاضی نیز می‌توان  $E(m_q)$  را محاسبه کرد.

$$E(m_q) = \sum_{i=1}^n \Pr(q \text{ sees } s_i).$$

برای حالت  $z = 2$ ، می‌توانیم از تساوی بالا و الگوریتم بخش قبل استفاده کنیم و  $E(m_q)$  را در زمان  $O(n^2 \log n)$  محاسبه کنیم. همچنین همانند بخش قبل با پیش‌پردازش پاره‌خط‌ها در زمان  $O(n^6 \log n)$  و حافظه‌ی  $O(n^4)$  می‌توانیم مسأله را در زمان  $O(\log n)$  پاسخ دهیم. توجه کنید که جواب دقیق مسأله را فقط برای حالت  $z = 2$  به دست می‌آوریم. حال نشان می‌دهیم که چگونه جواب تقریبی مسأله را برای حالت کلی در زمان بهتر به دست آوریم.

## ۱.۲.۶ الگوریتم تقریبی برای مسأله‌ی شمارش احتمالاتی

در این بخش الگوریتمی با ضریب تقریبی ۲ برای مسأله‌ی شمارش احتمالاتی بیان می‌کنیم. با توجه به [۱۱] اگر  $T$  مجموعه‌ی نمونه باشد و  $m_q(T)$  و  $ve_q(T)$  به ترتیب تعداد پاره‌خط‌های دیدپذیر و نقاط انتهایی دیدپذیر در  $T \subset S$  باشند خواهیم داشت:

$$m_q(T) \leq ve_q(T) \leq 2m_q(T).$$

پس می‌توانیم نتیجه بگیریم:

$$\sum_{T \subseteq S} \Pr(S = T) m_q(T) \leq \sum_{T \subseteq S} \Pr(S = T) ve_q(T) \leq \sum_{T \subseteq S} \Pr(S = T) 2m_q(T).$$

یا به عبارت دیگر،

$$E(m_q) \leq E(ve_q) \leq 2E(m_q).$$

بنابراین مقدار  $E(ve_q) = \sum_{i=1}^n \Pr(r(s_i) \text{ sees } q) + \Pr(l(s_i) \text{ sees } q)$  را محاسبه می‌کنیم.

$$\Pr(r(s_i) \text{ sees } q) = \sum_{j=1}^z p_{i,j} \Pr(r(s_{i,j}) \text{ sees } q).$$

فرض کنید مکان‌های ممکن  $s_k$  در  $D_k$  باشد که  $\overline{r(s_{i,j})q}$  را قطع می‌کنند. احتمال اینکه  $s_k$ ،  $\overline{r(s_{i,j})q}$  را قطع نکند مساوی  $(1 - p_{k,1'} - p_{k,2'} - \dots - p_{k,l'})$  است.

$$\Pr(q \text{ sees } r(s_i)) = \sum_{j=1}^z p_{i,j} p_{1'}^{i,j} \cdot p_{2'}^{i,j} \dots p_{l'}^{i,j}.$$

تعداد مکان‌های ممکن برای نقاط انتهایی  $2n$  است و  $P(q \text{ sees } r(s_i))$  را می‌توانیم در  $O(2n)$  به دست آوریم. بنابراین  $E(ve(q))$  در زمان  $O(n^2 z^2)$  محاسبه می‌شود.

برای حالت  $z = 2$  الگوریتم سریع‌تری را بیان می‌کنیم. فرض کنید  $a \in s_i$  یک نقطه‌ی انتهایی  $s_i$  و همچنین  $s'_1, s'_2, \dots, s'_k$  مجموعه‌ی پاره‌خط‌هایی باشد که  $\overline{aq}$  را قطع می‌کنند. از آنجایی که احتمال انتخاب پاره‌خط‌ها مستقل از یکدیگر هستند خواهیم داشت:

$$\Pr(q \text{ sees } a) = p_i \cdot (1 - p'_1)(1 - p'_2) \dots (1 - p'_k).$$

که نتیجه می‌دهد:

$$E(ve_p) = \sum_{a \in s_i} \Pr(q \text{ sees } a).$$

بنابراین برای هر نقطه‌ی انتهایی، پاره‌خط‌هایی که  $\overline{aq}$  را قطع می‌کنند را لازم داریم. با استفاده از قضیه ۵.۲ اگر  $n \leq k \leq n^2$  می‌توانیم در زمان  $O_\epsilon(k)$  بر روی پاره‌خط‌ها پیش‌پردازش انجام دهیم به‌طوری‌که برای هر پاره‌خط داده‌شده پاره‌خط‌هایی که آن را قطع می‌کنند در زمان  $O_\epsilon(n/\sqrt{k})$  به دست آوریم. با استفاده از قضیه ۵.۲ می‌توانیم  $\Pr(q \text{ sees } a)$  را در زمان  $O(n/\sqrt{k})$  به دست آوریم. پس برای  $2n$  نقطه‌ی انتهایی،  $E(ve_p)$  را می‌توانیم در زمان  $n \cdot O(n/\sqrt{k})$  محاسبه کنیم. اگر قرار دهیم  $k = n^{\frac{4}{3}}$  قضیه زیر نتیجه می‌شود.

**قضیه ۶.۶** مسأله‌ی شمارش احتمالاتی را در حالت  $z = 2$  می‌توان با ضریب تقریب ۲ در زمان  $O(n^{\frac{4}{3}})$  پاسخ داد.

## ۳.۶ نتیجه‌گیری

در این فصل مدلی احتمالاتی از مسأله‌های دید و شمارش را تعریف کردیم و نتایج بدست آمده در حل مسأله‌ها برای این مدل را ارائه کردیم. در حالت کلی ثابت کردیم که مسأله‌ی دید  $\#P - complete$  است. ولی برای حالتی که یک پاره‌خط ۲ مکان ممکن دارد و در هر حالت در یکی از مکان‌های ممکن قرار می‌گیرد سختی مسأله را بررسی نکرده‌ایم. توجه به این نکته ضروری است که مسأله‌ی شمارش تعداد تطابق‌های کامل برای گراف‌های ۲ بخشی ۳ منتظم نیز  $\#P - complete$  است [۲۱]. بنابراین تنها حالتی که باید بررسی شود بدست آوردن سختی مسأله در حالت ۲ مکان است. همچنین در رابطه با سختی مسأله‌ی شمارش نیز چیزی نگفته‌ایم. این نیز از مسایلی است که می‌تواند در آینده بررسی شود. توجه کنید که  $\#P - complete$  بودن مسأله‌ی شمارش احتمالاتی را نمی‌توان از  $\#P - complete$

بودن مسأله‌ی دید احتمالاتی نتیجه گرفت. مسأله‌ی دید احتمالاتی در زمان بهینه حل شده است زیرا می‌توان مسأله‌ی مرتب‌سازی به این مسأله کاهش داد. از مسایل دیگری که در ادامه‌ی این پروژه می‌توان در نظر گرفت تلاش برای بهبود زمان اجرا با پیش‌پردازش است.

## فصل ۷

# نتیجه‌گیری و کارهای آینده

در فصل پایانی تحقیق خلاصه‌ای از نتایج بدست آمده را بیان می‌کنیم. سپس ایده‌های استفاده شده و مسائلی که در آینده می‌توان بررسی کرد را به‌طور کلی مطرح می‌کنیم.

### ۱.۷ خلاصه‌ای از نتایج بدست آمده

در جدول ۱.۷ خلاصه‌ای از نتایج به‌دست آمده برای حل مسأله‌ی شمارش بیان و همچنین نتایج به‌دست آمده با بهترین روش‌های موجود پیشین مقایسه شده‌است. همانطور که دیده می‌شود بین زمان پیش‌پردازش و حافظه و زمان پرس‌وجوی الگوریتم‌های بیان شده مصالحه وجود دارد. برای تعیین مقدار مناسب زمان پرس‌وجو باید به تعداد پرس‌وجوها و همین‌طور میزان حافظه‌ی در دسترس توجه کرد. برای مقایسه‌ی کارایی الگوریتم بیان شده در فصل ۳ توجه کنید که اگر میزان حافظه،  $k$ ، را در [۲۵] مساوی  $O(m^{2-3\beta/2})$  در نظر بگیریم در این صورت زمان پرس‌وجو مساوی  $O_e(m^{3/4})$  خواهد بود. در صورتی‌که زمان اجرای الگوریتم فصل ۳ با همان مقدار حافظه مساوی  $O(1/\delta^3 m^{\beta/2} \log m)$  خواهد بود که اگر  $\delta$  را عدد ثابتی در نظر بگیریم زمان پرس‌وجو بهبود یافته است.

جدول ۱.۷: مقایسه‌ی نتایج ارائه شده در این تحقیق برای مسأله‌ی شمارش با روش‌های پیشین

ضریب تقریب	زمان پرس‌وجو	حافظه	زمان ساخت	مسأله‌ی شمارش
۲	$O_\epsilon(m/\sqrt{k})$	$O_\epsilon(k)$	$O_\epsilon(k)$	[۳۵]
۲	$O(n^4 \log(\sqrt{k}/n)/\sqrt{k})$	$O(k)$	$O(k \log(\sqrt{k}/n))$	[۴۵]
$1 + \delta$	$O(1/\delta^3 m^{\beta/2} \log m)$	$O(m^{2-3\beta/2})$	$O(m^{2-3\beta/2} \log m)$	فصل ۳
$1 + \delta$	$O(1/\delta \sqrt{n} \log n)$	$O(n^2 \log n)$	$O(n^2)$	فصل ۴
مقدار دقیق	$O_\epsilon(n^2/\sqrt{k})$	$O_\epsilon(k)$	$O_\epsilon(nk)$	فصل ۴

در ادامه، نتایجی هم در فضای ۳ بعدی بدست آورده بودیم که در جدول‌ها نشان داده شده‌اند. همچنین مدلی احتمالاتی از مسأله را تعریف کردیم و الگوریتمی با  $O(n \log n)$  در حالت خاص برای مسأله‌ی دید احتمالاتی ارائه کردیم. برای حالت کلی نیز ثابت کردیم مسأله  $\#P$ -complete است. همچنین روشی تقریبی برای مسأله‌ی شمارش احتمالاتی با زمان اجرای  $O(n^{4/3})$  در حالت خاص و  $O(z^2 n^2)$  در حالت کلی ارائه کردیم.

## ۲.۷ ایده‌های استفاده شده

در این قسمت ایده‌های استفاده شده را بیان می‌کنیم.

- ارائه‌ی الگوریتم‌های تصادفی و تحلیل زمان و حافظه‌ی مورد استفاده. استفاده از الگوریتم‌های تصادفی به همراه تحلیل درست امید ریاضی زمان و حافظه‌ی مورد استفاده معمولاً از ابزارهایی است که برای بهبود پیچیدگی زمانی و حافظه‌ی مورد نیاز حل مسأله‌ها استفاده می‌شود. در این تحقیق نیز چندین الگوریتم تصادفی ارائه و تحلیل شده‌اند که به بهبود زمان و حافظه مورد استفاده کمک کرده‌اند.
- ارائه‌ی الگوریتم‌های تقریبی و تصادفی. در برخی از مسایل بدست آوردن مقدار دقیق جواب مسأله مورد نیاز نیست. در این تحقیق نیز چندین الگوریتم تصادفی با زمان و حافظه‌ی بهبود یافته برای حل مسأله ارائه شده‌اند. تحلیل ضریب تقریب و محاسبه‌ی زمان و حافظه‌ی مورد نیاز نیز از مسایلی بوده است که بررسی شده‌اند.

- استفاده از ابزارهای ریاضی همانند نظریه گراف.
- مدلسازی مسأله به صورت یک مسأله‌ی ریاضی و تلاش برای حل مسأله با استفاده از ابزارهای ریاضی همانند نظریه گراف از ایده‌هایی است که برای بهبود ضریب تقریب الگوریتم تصادفی مورد استفاده قرار گرفته است.
- ترکیب الگوریتم‌های پیشین با الگوریتم‌های جدید.
- در برخی مواقع می‌توان با ترکیب الگوریتم‌ها به زمان و حافظه یا ضریب تقریب بهتری دست یافت. به عنوان مثال در برخی از الگوریتم‌های ارائه شده در ۲ مرحله جواب را بدست می‌آوریم. در قسمت اول تا زمان مشخصی از الگوریتم‌های پیشین استفاده می‌کنیم. چنانچه به جواب رسیدیم الگوریتم متوقف می‌شود. در غیراین صورت از الگوریتم ارائه شده در مرحله‌ی دوم استفاده می‌کنیم. اگر تا زمان مشخص به جواب برسیم مقدار دقیق مسأله در زمان دلخواه بدست می‌آید. در غیر این صورت ثابت می‌شود که جواب بدست آمده در مرحله‌ی دوم یک مقدار تقریبی از جواب اصلی است. برای تحلیل ضریب تقریب از این نکته استفاده می‌شود که مقدار جواب مسأله بزرگتر از یک مقدار خاص است.
- اجرای الگوریتم‌ها بر روی داده‌های واقعی.
- بیشتر الگوریتم‌های تصادفی را می‌توان به سادگی پیاده‌سازی کرد. تحلیل زمان و حافظه‌ی مورد نیاز از سختی‌های این الگوریتم‌ها است. در این تحقیق نیز برخی از الگوریتم‌ها را بر روی داده‌های واقعی اجرا کرده‌ایم. از این نتایج برای اثبات مجدد الگوریتم‌های ارائه شده استفاده کرده‌ایم (هرچند که اثبات ریاضی نیز داشته‌اند). در برخی موارد نیز که موفق به تحلیل ریاضی الگوریتم‌های تصادفی و تقریبی نشده‌ایم، نتایج تجربی به دست آمده نشان داده‌اند که الگوریتم‌های ارائه شده در زمان مناسب اجرا می‌شوند و خطای قابل قبولی دارند.

## ۳.۷ پیشنهادها برای ادامه‌ی کار

در این بخش مباحثی که در ادامه‌ی این پروژه می‌توان بررسی کرد را به‌طور کلی بیان می‌کنیم.

## ۱.۳.۷ ادامه‌ی پروژه براساس تکمیل و بهبود نتایج به‌دست آمده

موضوع کلی که به‌عنوان رساله‌ی دکتری در نظر گرفته شده‌است مسأله‌ی شمارش اشیا دیدپذیر و تعیین دیدپذیر بود اشیا نسبت به هم است که به‌صورت دقیق در فصل ۱ تعریف شده‌اند. نتایج موجود و نتایج جدیدی را که به‌دست آورده‌ایم، بیان کردیم. در هر فصل روش‌ها و ایده‌های جدیدی را که به‌کار برده‌ایم توضیح دادیم. مسایل جزئی‌تری را که در ادامه می‌توان بر روی آنها تمرکز کرد، به‌طور کامل در انتهای هر فصل توضیح داده‌ایم. بررسی و گسترش این روش‌ها در ادامه‌ی این تحقیق مدنظر قرار خواهد گرفت.

در فصل ۳ مسأله‌ی ۵.۱ را به‌صورت یک مسأله در نظریه‌ی گراف مدل‌سازی کردیم. اثبات کردیم که حل مسأله‌ی شمارش معادل با به‌دست آوردن تعداد مولفه‌های همبندی گراف خواهد بود. روشی تصادفی برای به‌دست آوردن مقدار تقریبی تعداد مولفه‌ها ارائه دادیم. در ادامه، هدف ارائه‌ی داده‌ساختاری است که با زمان موردنظر ما بتواند تعداد مولفه‌ها را به‌دست آورد.

همچنین گفتیم که در [۳۵] توانسته‌اند منطقه‌ی دیدپذیر هر پاره‌خط را به‌صورت اجتماعی از مثلث‌ها به‌دست آورند. سپس با انجام پیش‌پردازش بر روی این مثلث‌ها با استفاده از درخت افراز، در مرحله‌ی پرس‌وجو به‌ازای نقطه‌ی پرس‌وجوی  $p$  تعداد مثلث‌های شامل  $p$  را به‌دست می‌آورند. از آنجایی که مثلث‌های مربوط به یک پاره‌خط ممکن است باهم اشتراک داشته‌باشند با این روش برخی از پاره‌خط‌ها چندین بار شمرده می‌شوند. آنها ثابت کرده‌اند که تعداد مثلث‌های شامل نقطه‌ی  $p$  حداکثر ۲ برابر تعداد پاره‌خط‌های دیدپذیر است. در ادامه‌ی این تحقیق مسأله را به این صورت در نظر می‌گیریم

**سؤال ۱.۷** می‌خواهیم بر روی تعدادی مثلث که هرکدام دارای یک برچسب هستند و این برچسب‌ها ممکن است تکراری باشند، پیش‌پردازش انجام دهیم به‌طوری که به‌ازای نقطه‌ی پرس‌وجوی  $p$ ، تعداد برچسب‌های مجزا را که به مثلث‌های شامل  $p$  نسبت داده شده‌اند، به‌دست آوریم.

مسایل مشابه بسیاری در این زمینه وجود دارد که حل این مسأله منجر به حل این مسایل نیز خواهد شد (مراجعه شود به [۳۷]). در فصل ۴ مسأله را در حالت خاص مربوط به مسأله‌ی خودمان بررسی و حل کردیم.

## ۲.۳.۷ حل مسأله در حالت‌های خاص

در ادامه‌ی این تحقیق حالت‌های مختلف مسأله را نیز می‌توان در نظر گرفت. به‌عنوان مثال حالتی که در آن به جای یک نقطه‌ی پرس‌وجو، پاره‌خط وجود داشته باشد و یا نقطه پرس‌وجو به‌صورت متحرک

در نظر گرفته شود. هدف از این کار اعمال ایده‌های استفاده شده بر روی حالت‌های مختلف است. چون در برخی از موارد ایده‌های استفاده شده را می‌توان گسترش داد و برای حالت‌های دیگر مسأله و مسایل مشابه دیگر نیز استفاده کرد.

تعریف‌های مختلفی برای دیدپذیری در مقالات مختلف با مفاهیم گوناگون وجود دارد که حل مسایل با توجه به آن تعریف‌ها سختی‌های خاص خود را دارد. در ادامه می‌توان بررسی کرد که با استفاده از روش‌های جدیدی که در این گزارش آمده‌است آیا می‌توان راه‌حل‌های ساده‌تر و بهینه‌تری برای حل مسایل مشابه با تعریف‌های گوناگون ارائه داد؟

همچنین بررسی مسأله در حالتی که ورودی مسأله به جای پاره‌خط‌ها اشیایی با خصوصیات مشخص شده باشند نیز مدنظر قرار خواهد گرفت. به عنوان مثال همان‌طور که در فصل ۲ گفته شد، در [۲۸] ثابت شده‌است که با اعمال شرایط خاصی بر روی ورودی، به صورت قابل ملاحظه‌ای از پیچیدگی مسأله کاسته می‌شود. از آنجایی که در عمل در برخی حالت‌ها، ورودی مسأله‌ها دارای این شرایط خاص هستند، تمرکز بر روی این حالت‌ها قابل توجیه است.

### ۳.۳.۷ بررسی مسأله در فضاهای با بعد بزرگ‌تر از ۲

مسایل مربوط به دیدپذیری در فضاهای با بعد بزرگ‌تر از ۲ کاربرد و اهمیت بسیاری دارند. در فصل ۲ تعدادی از نتایج به دست آمده توسط افراد مختلف عنوان شد. در ادامه‌ی این تحقیق می‌توان مسایل در فضاهای با بعد بزرگ‌تر از ۲ را نیز بررسی کرد. چون ایده‌ها و روش‌های ارائه شده در فضای ۲ بعد در برخی مواقع قابل گسترش به فضاهای با بعد بزرگ‌تر از ۲ نیز هستند. به عنوان مثال همان‌طور که در فصل ۵ بیان شد، توانستیم قضیه‌ای را که در فضای ۲ بعدی ارائه شده بود به فضای ۳ بعدی تعمیم دهیم. از آنجایی که پیچیدگی مسأله‌ها در این حالت‌ها بیشتر می‌شود، ما به دنبال طراحی روش‌ها و الگوریتم‌هایی با زمان و حافظه‌ی مناسب خواهیم بود.

### ۴.۳.۷ مدل احتمالاتی

تعریف مدل احتمالی مسأله نیز در این تحقیق مورد بررسی قرار گرفت و الگوریتم‌هایی برای حل این مسایل مطرح شد. مسایلی که حل نشده بودند نیز عنوان شدند. در ادامه‌ی این تحقیق این مسایل حل نشده را نیز می‌توان بررسی کرد. از جمله این مسایل بررسی پیچیدگی محاسبه‌ی مسأله‌ی دید احتمالاتی در حالت ۲ مکان ممکن بود که توضیح دادیم. همچنین بررسی پیچیدگی مسأله‌ی شمارش احتمالاتی نیز از جمله مسایل باز است. مسأله‌ی دیگری که می‌توان به آن پرداخت تلاش برای بهبود زمان اجرای



الگوریتم‌های ارائه شده و ارائه‌ی روش‌هایی برای ایجاد مصالحه بین زمان اجرا و حافظه در حالت احتمالاتی است.

# فهرست مراجع

- [1] Abam, M., Alipour, S., Ghodsi, M., Mahdian, M.: Visibility Testing and Counting for Uncertain Segments EUROCG2016, (2016) [9](#)
- [2] Agarwal, P.K., Sharir, M.: Applications of a new space-partitioning technique. *Discrete and Computational Geometry* 9, 9–11 (1993) [15](#)
- [3] Agarwal, P.K., Kreveld, J.v.K.: Connected Component and Simple Polygon Intersection Searching. *Algorithmica* 15(6): 626–660 (1996) [18](#)
- [4] Agarwal, P.K., Erickson, J.: Geometric range searching and its relatives. In Chazelle, B., Goodman, J.E., Pollack, R. (eds) *Advances in Discrete and Computational Geometry*, Contemporary Mathematics, vol. 233, pp. 1–56. American Mathematical Society Press, Providence (1999) [15](#)
- [5] Agarwal, P.K.: Partitioning arrangements of lines, part I: An efficient deterministic algorithm. *Discrete and Computational Geometry*, 5, 449–483 (1990) [18](#)
- [6] Agarwal, p.k.: Range searching. In J. E. Goodman and J. O'Rourke, editors, *Handbook of Discrete and Computational Geometry*, 2nd edn., chapter 36, Chapman and Hall, CRC (2004) [15](#)
- [7] Agarwal, P.K.: Ray shooting and other applications of spanning trees with low stabbing number. *SIAM. Comput.*, 21(3), 540-570 (1992) [18](#)
- [8] Alipour, S., Ghodsi, M. and Jafari, A.: An Improved Constant-Factor Approximation Algorithm for Planar Visibility Counting Problem. *COCOON 2016*: 209-221(2016) [8](#), [9](#)
- [9] Alipour, S., Ghodsi, M., Zarei, A., and Pourreza, M.: Visibility testing and counting *Inf. Process. Lett.* 115(9): 649-654 (2015) [8](#), [9](#)
- [10] Alipour, S., Ghodsi, M., Gudukbay, U. and Golkari, M.: An Approximation Algorithm for Computing the Visibility Region of a Point on a Terrain and Visibility Testing *VISAPP* (3) 2014: 699-704 (2014) [9](#)
- [11] Alipour, S., Zarei, A: Visibility testing and counting. *Frontiers in Algorithmics and Algorithmic Aspects in Information and Management Lecture Notes in Computer Science*, 6681, 343–351 (2011) [13](#), [34](#), [42](#), [56](#)

- [12] Aronov, B., Guibas, L.J., Teichmann, M., Zhang, L.: Visibility queries and maintenance in simple polygons. *Discrete and Computational Geometry* 27, 461–483 (2002) [11](#), [12](#)
- [13] Aronov, B., Guibas, L.J, Teichmann, M. and Zhang, L.: Visibility queries in simple polygons and applications. In: *International Symposium on Algorithms and Computation*, pp. 357–366 (1998) [11](#)
- [14] Asano, T.: An efficient algorithm for finding the visibility polygon for a polygonal region with holes. *IEICE Transactions*, 557–589 (1985) [3](#)
- [15] Asano, T., Guibas, L.J., Hershberger, J., Imai, H.: Visibility of disjoint polygons. *Algorithmica* 1(1), 49–63 (1986) [12](#)
- [16] Ben-Moshe, B., Carmi, P., Katz, M. J.: Approximating the visible region of a point on a terrain. *Proc. algorithm engineering and experiments (ALENEX'04)*, 120–128 (2004) [13](#)
- [17] Bondy, J. A., Murty, U. S. R.: *Graph theory with applications* (Vol. 290). London: Macmillan (1976) [21](#)
- [18] Bose, P., Lubiw, A., Munro, J.I.: Efficient visibility queries in simple polygons. *Computational Geometry Theory and Applications* 23(7), 313–335 (2002) [11](#)
- [19] Chen, D., Wang, H.: Visibility and ray shooting queries in polygonal domains In F. Dehne, R. Solid-Oba, J.-R. Sack(Eds.) *Algorithms and data structures*, Vol. 8037 of *Lecture Notes in Computer Science*, Springer Berlin Heidelberg, 244-255 (2013) [11](#)
- [20] Cole, R., Sharir, M.: Visibility problems for polyhedral terrains. *Journal of Symbolic Computation* 7(1), 11–30 (1989) [43](#)
- [21] Dagum, P., Luby, M., Mihail, M., and Vazirani, U.: Polytopes, permanents and graphs with large factors. In *Foundations of Computer Science*, 29th Annual Symposium on (pp. 412-421). IEEE.(1988) [57](#)
- [22] Devai, F.: Quadratic bounds for hidden line elimination *Proceedings of the second annual symposium on Computational geometry*, 269–275, 1986 [43](#)
- [23] Chan, T. M.: Optimal partition trees. In: *SoCG '10 Proceedings of the 2010 annual symposium on Computational geometry*, pp. 1–10 (2010) [16](#)
- [24] Chazelle, B., Guibas, L.J., Lee, D. T.: The power of geometric duality. *BIT Numerical mathematics* 25(1), 76–90 (1985) [18](#)
- [25] Chazelle, B., Welz, E.: Quise-optimal range rearching in space of finite VC-Dimension. *Discrete and Computational Geometry* 4, 467–489 (1989) [15](#)
- [26] Chazelle, B., Sharir, M., Welz, e.: Quasi-optimal upper bounds for simplex range searching and new zone theorems In: *SCG '90 Proceedings of the sixth annual symposium on Computational geometry*, pp.23-33 (1990) [16](#)

- [27] De Berg, M. O., Cheong, M., Kreveld, V. and Overmars, M.: Computational Geometry Algorithms and Applications. Springer, third edition, (2008) , 14, 17
- [28] De Berg, M., Haverkort, H., Tsirogiannis, C. P.: Visibility maps of realistic terrains have linear smoothed complexity. In Proceedings of the 25th annual symposium on Computational geometry ACM, pp. 163–168 (2009) 13, 63
- [29] Erickson, J.: New lower bounds for Hopcroft’s problem. Discrete and Computational Geometry 16(4), 389–418 (1996) 41
- [30] Fischer, M., Hilbig, M., Jahn, C., auf der Heide, F.M., Ziegler, M.: Planar visibility counting. CoRR, abs/0810.0052 (2008) , 1, 5, 12
- [31] Fischer, M., Hilbig, M., Jahn, C., auf der Heide, F.M., Ziegler, M.: Planar visibility counting. In: Proceedings of the 25th European Workshop on Computational Geometry(EuroCG 2009), pp. 203–206 (2009) 12
- [32] Ghosh, S. K. and Mount, D.: An output sensitive algorithm for computing visibility graphs. SIAM Journal on Computing 20, 888–910 (1991) 4, 11
- [33] Ghosh, S. K.: Visibility algorithms in the plane. Cambridge university press, Cambridge (2007) 11
- [34] Gigus, Z., Canny, J., and Seidel, R.: Efficiently computing and representing aspect graphs of polyhedral objects. IEEE Trans. Pattern Anal. Mach. Intell., 13(6), 542–551 (1991) 7
- [35] Gudmundsson, J., Morin, P.: Planar visibility: testing and counting. In: Annual Symposium on Computational Geometry, pp. 77–86 (2010) , 8, 12, 13, 14, 24, 29, 34, 38, 40, 41, 59, 60, 62, 69
- [36] Heffernan, P.J., Mitchell, J. S. B.: An optimal algorithm for computing visibility in the plane. SIAM J. Comput. 24(1), 184–201 (1995)
- [37] Janardan, R., Lopez, M.: Generalized intersection searching problems. International Journal of Computational Geometry and Applications 3.01 39-69 (1993) 38, 62
- [38] LaValle, S.M.: Planning Algorithms. Cambridge University Press, (2006) 7
- [39] Matoutsek, J.: Construction of  $\epsilon$ -nets. Discrete and Computational Geometry 5, 427–448 (1990) 18
- [40] Matoutsek, J.: Efficient partition trees. Discrete and Computational Geometry 8, 315–334 (1992) 16, 17
- [41] Matoutsek, J.: Cutting hyperplane arrangements. Discrete and Computational Geometry 6, 385–406 (1991) 16
- [42] Moet, E., Knauer, C., Van Kreveld, M.: Visibility maps of segments and triangles in 3d. Computational Science and Its Applications-ICCSA 2006, 20–29 (2006) 13

- [43] Morini, E., Rocchi, F., Avizzano, A. C., Bergamasco, M.: Visibility Techniques Applied to Robotics. In: 19th IEEE International Symposium on Robot and Human Interactive Communication Principe di Piemonte - Viareggio, Italy, Sept, pp. 12–15, (2010) [1](#)
- [44] Ben-Moshe, .B, Carmi, P. and Katz, M. J.: Approximating the Visible Region of a Point on a Terrain *Geoinformatica*, 12(1), 21–36 (2008) , [43](#), [48](#), [49](#), [50](#)
- [45] Nouri, M. and Ghodsi, M.: Space/query-time tradeoff for computing the visibility polygon. *Computational Geometry*. 46(3), 371–381 (2013) [12](#), [60](#)
- [46] Nouri, M, Daneshpajouh, S., Alipour, S. and Ghodsi, M.: Weak visibility counting in simple polygons *J. Computational Applied Mathematics* 288: 215-222 (2015) [9](#)
- [47] Pocchiola, M., Vegter, G.: The visibility complex. *International Journal of Computational Geometry and Applications* 6(3), 279–308 (1996) [11](#), [12](#)
- [48] Richard, C., Sharir, M.: Visibility problems for polyhedral terrains. *Journal of Symbolic Computation* 7(1), 11–30 (1989) [13](#)
- [49] Riegler, H.: Point-visibility in computer games. *Computer Graphics Seminar. Computer Game Technology*, (2001) [1](#), [7](#)
- [50] Stiene, S., Hertzberg, J.: Virtual range scan for avoiding 3D obstacles using 2D tools. *Advanced Robotics*, 2009. ICAR 2009. International Conference on. IEEE, (2009) [7](#)
- [51] Suri, S., O'Rourke, J.: Worst-case optimal algorithms for constructing visibility polygons with holes. In: *Proceedings of the Second Annual Symposium on Computational Geometry (SCG 84)*, pp. 14–23 (1984) [3](#)
- [52] Valiant, L. G. The complexity of computing the permanent. *Theoretical computer science* 8(2):189–201 ,1979. [53](#)
- [53] Vegter, G.: The visibility diagram: A data structure for visibility problems and motion planning. In: Gilbert, J.R., Karlsson, R. (eds.) *SWAT(1990)*. LNCS, 447, pp. 97–110. Springer, Heidelberg (1990) [12](#), [24](#), [26](#), [31](#), [34](#), [35](#)
- [54] Wang, C. A., Zhu, B.: Three-dimensional weak visibility: Complexity and applications. *Theoretical computer science*, 234(1), 219–232, (2000) [13](#)
- [55] Welz, E.: Partition trees for triangle counting and other range searching problems. In: *SCG '88 Proceedings of the fourth annual symposium on Computational geometry*, pp. 22–33 (1988) [16](#)
- [56] Zarei, A., Ghodsi, M.: Efficient computation of query point visibility in polygons with holes. In: *Proceedings of the 21st Annual ACM Symposium on Computational Geometry (SCG 2005)* (2005) [11](#), [12](#)

## Abstract

Planar visibility computing is defined as determining the region of the plane that is visible from a specific observer. This concept has many applications in computer graphics, robotic and computer games. In certain visibility problems, counting the number of visible objects in an appropriate time is required. For obtaining a solution fast, current algorithms give an approximated count. In this thesis, we consider visibility testing problem and visibility counting problem.

For a given set  $S = \{s_1, s_2, \dots, s_n\}$  of non-intersecting segments and a query point  $p$  in the plane, the visibility testing problem checks the inter-visibility of  $p$  and a segment  $s_i \in S$  and the visibility counting problem counts the number of visible segments from  $p$ . We have introduced two approximation algorithms. In the first algorithm, we have a trade-off between space and query time and also a trade-off between approximation factor and query time. In the second algorithm, we have used random sampling method. The expected query time of this algorithm is better than the first algorithm in certain cases. Next, we have proposed a randomized algorithm that gives the exact solution for the visibility counting problem with the same time and space complexity of [35]. Then, we have considered the problems in 3D and have given algorithms to solve them. We have implemented these algorithms on real data sets. The results show that the time complexity and approximation factor of the proposed algorithms are effective and applicable in practice. At last, we have introduced a probabilistic model for these problems and proposed some solutions for them. In certain cases, we have proved that the probabilistic visibility testing problem is  $\#P$ -complete. Also, we have presented some approximation algorithms to solve the probabilistic visibility counting problem.

Keywords: 1-Computational geometry, 2-Visibility, 3-Approximation algorithms, 4-Randomized algorithms



Sharif University of Technology  
Computer engineering department

PhD Thesis

Topic

**Efficient algorithms for visibility testing  
of objects and counting**

By

Sharareh Alipour

Supervisor

Mohammad Ghodsi

Sep 2016